

МИНИСТЕРСТВО ГЕОЛОГИИ СССР

МИНИСТЕРСТВО ГЕОЛОГИИ РСФСР

ДАЛЬНЕВОСТОЧНОЕ ПРОИЗВОДСТВЕННОЕ ГЕОЛОГИЧЕСКОЕ ОБЪЕДИНЕНИЕ

Уч. № 041

Экз. № 6

ГОСУДАРСТВЕННАЯ  
ГЕОЛОГИЧЕСКАЯ  
КАРТА СССР

МАСШТАБ 1:200 000

СЕРИЯ СИХОТЭ-АЛИНСКАЯ

Лист М-53-XXX

Объяснительная записка

Составитель В.А.Дылович

Редактор В.И.Сухов

Утверждено Научно-редакционным советом Министерства СССР при ВСГЕИ  
15 мая 1981 г., протокол № 13

## О ГЛАВЛЕНИЕ

	Стр.
Введение . . . . .	5
Геологическая изученность . . . . .	7
Стратиграфия . . . . .	10
Интузивные образования . . . . .	47
Тектоника . . . . .	67
Геоморфология . . . . .	81
Полезные ископаемые . . . . .	84
Подземные воды . . . . .	94
Оценка перспектив района . . . . .	96
Литература . . . . .	99
Приложения . . . . .	104

## ВВЕДЕНИЕ

Территория листа М-53-XXX входит в Нанайский и им.Лазо районы Хабаровского края РСФСР и расположена в северо-западных отрогах хр.Сихотэ-Алиня между  $48^{\circ}40' - 49^{\circ}00'$ , с.ш. и  $137^{\circ}00' - 138^{\circ}00'$ , в.д. Это типичная гористая местность с интенсивно расчлененным рельефом и абсолютными высотами от 200-500 м на северо-западе до 1200-1400 м на юго-востоке района, где отдельные гольцовьес вершины достигают 1600 и более метров (г.Небоскреб в высокогорном массиве Тарлоки-Яни - 1723 м). На большей части территории водораздельные хребты имеют гильбообразный продольный профиль, узкие (5-50 м) гребни с остроконечными вершинами и глубокими седловинами. Круглзна склонов составляет  $20-35^{\circ}$ , относительные превышения достигают 600-700 м. Перевали через водоразделы для выюных ложицей часто недоступны. Лишь на западе районе распространены широкие плоские водоразделы, незаметно сливавшиеся с протяженными пологими ( $5-15^{\circ}$ ) склонами. Относительные превышения составляют здесь не более 200-300 м.

Речная сеть представлена р.Анной с ее левыми притоками - реками Тормасу, Поди, Мани, Моди, Бира и верхним течением р.Хор с притоками - р.Соли и р.Кадади. На крайнем западе берут начало реки Каргнанга, Бурга, Ута, впадающие в р.Амур. Все реки типично горные со значительными (от 3-6 до 12-20 м/км) продольными уклонами, обилием перекатов, глыб в русле и лесных заложков. Ширина рек составляет 20-30 м (р.Анна - до 100 м), средняя глубина - 1-1,5 м (до 3 м), скорость течения от 1 м/с на пlesах до 3-4 м/с на перекатах. В период затяжных дождей уровень рек поднимается на 2-3 м и даже мелкие ручьи превращаются в бурные потоки. По р.Анне возможно передвижение на моторных лодках.

Климат муссонный с частыми дождями в летнее время и с преобладанием солнечной погоды поздней осенью и зимой. Среднегодовое количество осадков составляет 700-900 мм с максимумом (до

400 м) в июле-августе. Максимальные температуры отмечаются в июле (до +35°C), минимальные — в январе (до -35...-40°C). Отрицательная среднегодовая температура (-30...-40°C) обуславливает наличие острогой многолетней мерзлоты. Глубина промерзания грунтов превышает 2 м. Оттаяние их к августу составляет 1-2 м.

Реки вскрываются к началу мая. Снег в долинах ставит к середине мая, а в высокогорье сохраняется до конца июня. Заморозки и первые снегопады отмечаются в середине сентября. Постоянный снежный покров ложится в конце октября — начале ноября. Глубина его в среднем составляет 0,5-1 м. Реки замерзают в декабре. Погодное значение маршрутных исследований возможно с середины мая по сентябрь включительно.

Весь район, за исключением горных вершин высокогорного массива Тардоки-Яни, покрыт тундроходимой тайгой. Преобладают представители охотской флоры: ель, пихта, реже лиственница, произрастающие на склонах гор. Реже наблюдаются реликты манжурской флоры: тополь, ильм, береза, клен, ясень, осина и др., распространенные преимущественно по долинам рек. Хорошо прогреваемые склоны заросли корейским кедром. В долине р.Ануй встречаются амурский бархат, липа, манчжурский орех, дуб. В нижнем течении р.Тормасу произрастает тис. На высотах с абсолютными отметками выше 1200-1300 м части заросли кедрового стланника. Леса имеют густой подлесок из орешника, клена, рододендрона, крушины, жостера. В бассейне нижнего течения р.Ануй, кроме того, произрастают аралия, элеутерококк, часто перевитые лимонником, виноградом, актинидией. Почвы в хвойных лесах покрыты мхами, а в лиственных и смешанных пойменных — травой. Лесные массивы района могут полностью удовлетворить потребности горной промышленности в крепком лесе, строительном материале и топливе. В тайге водятся лоси, изюбрь, медведи, кабаны, соболи, белки и др. Много рябчиков. Реки богаты ленком, хариусом. В р.Ануй нерестится кета. Обилие кровососущих насекомых затрудняет полевые работы. Имеются случаи заболеваний клещевым энцефалитом.

Сильная залесенность и лесные завалы обусловливают очень плохую проходимость. С залесенностью связана и плохая обнаженность. Коренные породы встречаются преимущественно на вершинах остроконечных гряд и у оснований склонов. Крупноглыбовый делювий, а на западе района интенсивная обводненность грунтов затрудняют проходку поверхностных горных выработок.

Экономически район освоен крайне слабо, особенно центральная и восточная его части, где находится лишь около полутора

десятков охотничих заселений. В северо-западной части территории на базе лесоразработок возникли поселки Арсеньево и Верх.Манома. В каждом поселке проживают 100-150 семей русских, украинцев и немцев. Лесоразработки проведены или ведутся в бассейнах рек Манома, Моди, Каргана, Бира, Тормасу, в связи с чем здесь расположены временные грунтовые дороги. В северо-западную часть района, используя дороги из г.Хабаровска (230-260 км), можно попасть автомобильным транспортом повышенной проходимости, а в поселки Арсеньево и Верх.Манома, кроме того, рейсовыми самолетами АН-2. В остальную же часть района транспортировка возможна только вертолетами. Для транспортировки внутри района можно использовать вычных лошадей. При работе в горах требуются подносчики. В настоящее время на всехrudопровлениях и месторождениях проводены лишь поисковые работы.

## ГЕОЛОГИЧЕСКАЯ ИЗУЧЕННОСТЬ

Первые сведения о геологии района были получены при проведении геологических маршрутов по р.Ануй Д.В.Ивановым в 1895г., Я.С.Эдельштейном в 1899 г. и Г.П.Боларовичем в 1931 г. Результаты маршрутных наблюдений были обобщены Г.П.Боларовичем /20/, составившим в 1934 г. первую геологическую карту Северного Сихотэ-Алиня масштаба 1:1 500 000. В 1941 г. в бассейнах рек Хор и Тормасу проводили геологическую съемку масштаба 1:500 000 С.Ф.Долиго /21/. Им в отложениях верхнего мела обнаружена иско-паемая флора, на основании которой эти отложения параллелизуются со свитой Канчаха, выделенной по р.Ануй /20/.

В период с 1949 по 1953 г. А.П.Глушковым /21, 22/, В.К.Елисеевым /31/, А.И.Половым /47/ почти вся территория листа была охвачена геологической съемкой масштаба 1:200 000. Несмотря на крайне слабую обоснованность стратиграфической схемы района и схемы магматизма, в результате проведения съемки были получены представления об основных чертах геологического строения района и определены перспективы его рудоносности. По результатам шлихового опробования выделено несколько ореолов касситерита, в пределах которых были рекомендованы для детальных поисков участки Савиний, Березовый, Томчи, Кадали, Перспективный.

Вслед за среднемасштабной съемкой проводились специализированные поисковые работы. В бассейнах верхних течений рек Союли и Томчи в 1954 г. под руководством В.Е.Прокучникова /48/ проведено шлиховое опробование аллювия в масштабе 1:25 000 и про-

ведены детальные поиски на участках Томчи, Перспективный, Кадади, которые рекомендовались для дальнейшего изучения на олово. Был выявлен также новый перспективный участок Верховья Сооли.

В этом же году О.Н.Набаковым /34/ проведены детальные поиски на участке Савиной, где им было обнаруженорудопроявление Бериллия и выявлен шлихтовой ореол кассiterита в долине руч.Културуку. На участках Томчи и Културуку в 1955 г. А.Н.Широкой /54/ были продолжены детальные поиски. Эти участки рекомендованы ею для дальнейших детальных работ. В 1956 г. С.Я.Лаптусом /38/ проведены поисковые работы масштаба 1:50 000 (поисковые маршруты с металлогеометрическим опробованием) в бассейнах рек Сооли, Кадади, Томчи и детальные поиски на участках Перспективный, Верховья Сооли и Кадади. На участке Перспективный им рекомендовано детализировать ореолы олова, а участкам Кадади и Верховья Сооли дана отрицательная оценка. В 1957 г. в бассейнах рек Яро и Томчи Л.И.Конченко /36/ были продолжены поисковые работы масштаба 1:50 000 (металлогеометрическая съемка и шлихтовое опробование аллювия) и детальные поиски на участке Томчи, перспективы которого не уточнились. Нижее течение р.Поди в этом же 1957 г. было охвачено комплексными геолого-геофизическими работами масштаба 1:100 000 (площадная металлогеометрическая съемка и опробование донных осадков) под руководством А.И.Мотора /42/. Эти работы подтвердили перспективность участков Савиной и Културуку.

В 1957 г. вся территория листа была охвачена комплексной аэромагнитной съемкой масштаба 1:200 000 /50/, в результате которой установлена общая картина распределения магнитного поля и выявлены главные аномальные зоны. Одновременно аэромагнитная съемка масштаба 1:25 000 проводилась в среднем течении р.Ануй /53/.

В 1958 г. А.В.Деминным /25/ осуществлены шлихтовое опробование, опробование донных осадков в масштабе 1:50 000 в нижнем течении р.Поди и детальные поиски на берегах на участке Савиной, который был рекомендован для доизучения. В 1959 г. этот же автор /26/ на краине северо-востоке площади листа проводили геологическую съемку масштаба 1:50 000, а И.А.Плотников /45/ продолжил поисково-разведочные работы на берегах на участке Савиной и установил его промышленную ценность.

В 1961 г. в верховых рек Ануй, Хор, Сооли и на праобразе реке р.Тормасу была произведена аэромагнитная съемка масштаба 1:50 000 под руководством Б.А.Головко /23/. Материалы съемки позволили выделить ряд аномальных зон, обусловленных магнитными

интрузиями, в том числе не вскрытыми эрозией. В 1964-1965 гг. Северный Сихотэ-Алинь был охвачен гравиметрической съемкой масштаба 1:1 000 000 /17/, а в 1966 г. составлена карта магнитного поля масштаба 1:200 000 /41/, куда полностью вошла территория листа.

С 1968 по 1975 г. на 2204 км<sup>2</sup> площади листа в бассейнах р.Тормасу и верхних течений рек Хор, Поди, Сооли проведены геологосъемочные и поисковые работы масштаба 1:50 000 под руководством В.А.Исполнова /32, 33/, Л.Н.Серебрякова /52/ и В.А.Дымовича /28/. В результате работ получены новые данные по стратиграфии имагматизму района, практически полностью изменившие представления о его геологическом строении. Найдки исключаемой фаций позволили обосновать верхнетриасовый, юрский, берриасский геохимических особенностях интрузивных пород, о характере металлогенической специализации разновозрастных магматических комплексов и закономерностях размещения рудопроявлений. В пределах выявления шлихтовых и литохимических ореолов олова, вольфрама, золота и других металлов проведены поисковые работы с помощью поверхностных горных выработок на многочисленных рудопроявлениях. Окончательная оценка большинства из этих рудопроявлений требует изучения их на глубину.

В 1970-1971 гг. под руководством С.В.Головко /24/ осуществлена вертолетная пятиканальная аэрогеофизическая съемка масштаба 1:50 000 в верховых рек Тормасу и Сооли. В 1971-1972 гг. юго-западная часть территории листа Э.А.Рейнлибом /49/ охвачена гравиметрической съемкой масштаба 1:200 000. Этими работами установлен характер распространения на глубине ряда магматических тел и подтверждены некоторые крупные разрывные структуры.

В 1974-1976 гг. вдоль профиля Лигово-Чинкентьевским, пегматитом глубинного сейсмозондирования /13/, позволившие в разрезе земной коры восемь слоев, глубинные разломы и уточнить тектоническую позицию крупных структур.

В 1975 г. северо-западная часть территории листа площадью 824 км<sup>2</sup> была охвачена геологической съемкой масштаба 1:200 000, проведенной под руководством С.П.Кузьменко /37/. Вопросам стратиграфии,магматизма, тектоники, истории геологического развития, металлогении и геоморфологии Северного Сихотэ-Алиня посвящены работы А.И.Савченко /51/, Э.П.Изюхникова /9, 10, 11/, Г.С.Ганешина /55/, Е.В.Бельтевева /1, 18/, И.А.Плотникова /46/, Е.П.Брудницкой и Л.Д.Третьяковой /19/.

В 1977-1978 гг. на территории, не покрытой крупномасштабной съемкой, автором /29/ с целью подготовки листа к изданию проведено геологическое дознужение масштаба 1:200 000. Впервые в районе на основании находок органических остатков выделены верхне-пермские отложения, выявлено перспективное рудопроявление золота (участок Болотистый), на котором с 1980 г. ведутся детальные поисковые работы. Обобщение материалов геологического дознужения, крупномасштабного картирования, всех видов геофизических и поисковых работ, дешифрирования аэрофотоснимков /29/ явилось основой для составления Государственной геологической карты, карты полезных ископаемых листа М-53-XXX и объяснительной записки к ним.

Государственная геологическая карта листа М-53-XXX увязана с картами соседних листов М-54-ХХХ /12/ и М-53-ХХХ. С картой листа М-53-ХХХ /15/ она частично не увязана. Расхождения выражаются в изменении представлений о возрасте геологических образований, основанном на более достоверных данных, полученных при кругломасштабном картировании и геологическом дознужении.

Спектральные, химические, пробирные, палеонтологические анализ, определения радиологического возраста пород произошли в Центральной лаборатории ПГО "Дальгеология". Фаунистические остатки определялись Е.П.Бруницкой, Б.Б.Назаровым, Т.В.Романук, Л.Б.Тихомировой, Л.Д.Третьяковой, фтора - М.М.Копман. Техническая работа по подготовке карт к изданию выполнена Н.К.Лопинцевой, В.Г.Суздальской.

## СТРАТИГРАФИЯ

Стратифицированные образования занимают около 80% территории листа и представлены осадочными, вулканогенно-осадочными, вулканогенными отложениями верхней (?) перми, мезозоя и кайнозоя, размещеными в четырех структурно-формационных зонах: Центрально-Сихотэ-Алинском антиклинарии, Восточно- и Западно-Сихотэ-Алинском синклинориях и Западно-Сихотэ-Алинской вулканогенной зоне. На незначительной площади обнажаются также верхнепротерозойские или нижнепалеозойские метаморфические породы. На листе впервые выделены верхнетриасовые толщи с собственными географическими названиями.

## ВЕРХНИЙ ПРОТЕРОЗОЙ ИЛИ НИЖНИЙ ПАЛЕОЗОЙ ( $PR_2:PZ_1$ )?

В бассейне среднего течения р.Ануй обнаружены метаморфические породы, слагающие овальный тектонический блок, вытянутый в северо-восточном направлении. На территории листа М-53-ХХХ попадает небольшая часть блока, сложенная толщей слоидных сланцев. Строение толщи довольно монотонное. Это плитчатые и плойчатые слоидные сланцы, которым присущи гранобластовые и лепидогранобластовые структуры с размером зерен 0,05-1,0 мм, редко до 3-5 мм. Породы отчетливо полосчаты за счет тонкого чередования (через 0,3-10 см) полос, содержащих переменные количества биотита (15-75%), мусcovита (5-25%), кварца (20-40%), альбита (0-10%), рудного минерала (1-5%) и единичные зерна апатита, циркона, иногда турмалина или кордиерита. Сланцы насыщены линзовидными обособлениями кварцевого и кварц-полевошпатового состава мощностью до 2 см и длиной до 10 см. Судя по характеру минеральных ассоциаций, метаморфизм пород происходил в условиях фации эпидотовых амфиболитов. Заметное увеличение степени метаморфизма отмечается при движении в восточном направлении, с приближением к так называемой Аюйской зоне мигматизации /39/. Видимая мощность толщи в пределах листа составляет более 600 м.

Возраст метаморфических образований бассейна р.Ануй дискуссионен. А.П.Глушков /22/ относил их к архею, а Н.Н.Воронцов /4/ - к протерозою. Позднее А.В.Демин /26/, А.И.Савченко /51/, Э.П.Изюк /10/, К.Ф.Килько /35/ приняли возраст этих образований палеозойским, причем К.Ф.Килько получены противоречивые результаты определения радиологического возраста метаморфических пород - от 73 до 388 млн. лет. М.В.Мартынюком /39/ установлено, что метаморфические образования прорывают кислыми интрузиями, имеющими возраст 468 и 433 млн. лет. Раннепалеозойские значения возраста получены им также для гранат-биотитовых кристаллических сланцев (417 млн. лет) и гнейсов (456 млн. лет) из зоны мигматизации. При этом показано, что постепенные изменения степени метаморфизма наблюдаются лишь в пределах полей развития слоидных сланцев, а на контакте их с заведомо мезозойскими отложениями отмечается переход степени метаморфизма. Таким образом, поскольку радиологические определения возраста, скорее всего, указывают на время метаморфизма город, то истинный возраст толщи может быть верхнепротерозойским или нижнепалеозойским.

## ПЕРСКАЯ СИСТЕМА

### Верхний отдел ( $P_2^?$ )

Верхнепермские отложения начинают видимый разрез морских геосинклинальных образований в районе. Обнажены они в трех тектонических блоках: в бассейне верхнего течения р.Поди, на правобережье р.Кадади и в среднем течении р.Тормасу. Основной объем отложений состоят подводно-оползневые брекчи. Это своеобразные породы, состоящие из алевролитовой массы с погруженными в нее беспорядочно ориентированными обломками песчаников, туфов, кремнистых и кремнисто-глинистых пород, алевролитов, андезитов, иногда спилитов и кварцитов, имевших угловатую или слабо окатанную форму и размер от 1-10 мм до 10-20 см (нередко до 0,5-2 м). Количество таких обломков изменяется от 5 до 60% общей породы. Включая переменное количество обломочного материала, подводно-оползневые брекчи переходят по простирации в алевролиты и туфроалевролиты. Последние наиболее широко развиты на левом берегу р.Поди. Среди подводно-оползневых брекций и алевролитов в основном в нижних и средних частях разреза распространены чешуйчатые, но непротяженные прослои песчаников. Мощность их варьирует от 5-35 м в бассейне р.Поди до 95-150 м в бассейнах рек Кадади и Тормасу. В бассейне р.Поди песчаники слагают также пачки (до 60 м) переслаивания с алевролитами при мощности прослоев от 0,5 до 50 см. В бассейне р.Кадади наблюдается пачка туфритов мощностью около 60 м. По простирации они сменяются туфрос песчаниками, затем полимиктовыми мелко-среднезернистыми песчаниками. По всему разрезу распространены кремнистые и кремнисто-глинистые породы, слагающие непротяженные прослои мощностью от 15 до 60-80 м и маломощные линзы. Наиболее протяженные слои (до 6 км) приурочены к низам толщи на левобережье р.Поди. В средней части разреза наблюдаются быстро выклинивающиеся горизонты спилитов, диабазов и их туфов мощностью до 10-50 м, редко до 80 м. В бассейне р.Тормасу среди песчаников встречаются единичные маломощные (до 3 м) линзы гравелитов, а на левом берегу р.Поди среди кремнисто-глинистых пород - известняков. Мощность верхнепермских (?) отложений, установленная при изучении разрезов, достигает 1000-1100 м.

На правобережье р.Кадади в алевролитах цемента подводно-оползневых брекций содержатся колонии шшаков, представителей отрядов (по определению Т.В.Романчука) Стуростомиды, Геростомиды, свидетельствующих о палеозойском возрасте имеющих отложений.

Далее к югу за пределами площади листа, в бассейне р.Кабули /З0/ и далее - в бассейнах рек Кафын и Чукен /16/ в аналогичных отложениях известны многочисленные верхнепермские органические остатки. Таким образом, возраст описанных отложений несомненно палеозойский, скорее всего верхнепермский.

## ТРИАСОВАЯ СИСТЕМА

### Верхний отдел

Ячинская толща (*Tschak*) узкой полосой прослеживается в северо-восточном направлении от р.Яки в бассейне среднего течения р.Мани, на юго-востоке согласно перекрывающейся Томинской толщей. Базальные горизонты ее не обнажены. В строении толщи принимают участие кремнистые породы, спилиты, диабазы, туфы, редко кремнисто-глинистые породы, алевролиты, песчаники, утилисто-глинистые сланцы.

Разрез толщи, составленный по горным выработкам вдоль долины р.Томчи, следующий (снизу вверх):

1. Кремнистые породы с единичными прослоями диабазов	• . . . .	60 м
2. Диабазы	• . . . .	30 "
3. Кремнистые породы с прослоями (5-10 м)	• . . . .	95 "
4. Песчаники полимиктовые мелко-, среднезернистые	• . . . .	40 "
5. Кремнистые породы	• . . . .	150 "
6. Алевролиты	• . . . .	50 "
7. Кремнисто-глинистые породы с прослоями алевролитов	• . . . .	30-50 "
8. Алевролиты и туфроалевролиты	• . . . .	75 "
9. Кремнисто-глинистые и кремнистые породы	• . . . .	35-40 "
10. Кремнисто-глинистые породы с прослоями (10-12 м) диабазов	• . . . .	45-50 "
II. Алевролиты с редкими прослоями (до 0,5 м)	• . . . .	50 "
12. Пачка переслаивания (через 1-1,5 см) кремнистых и кремнисто-глинистых пород	• . . . .	170-180 "
13. Пачка переслаивания (через 1-1,3 м) кремнистых, кремнисто-глинистых пород и утилисто-глинистых сланцев	• . . . .	60 "

По простиранию к северо-востоку в составе толщи значитель-  
но увеличивается количество основных эфузивов. Так, в бассейне  
р. Яро толща представлена почти исключительно спилитами, диабаза-  
ми и кремнистыми породами, слагающими в целом чередующиеся меж-  
ду собой пачки мощностью от 30 до 150 м. Кремнисто-глинистые  
породы и туфы встречаются здесь в виде редких малоомощных просло-  
ев, а алевролиты и песчаники практически отсутствуют, появляясь  
вновь далее к северо-востоку. Разрез крайней северо-восточной  
части толщи характеризуется резким преобладанием основных эфу-  
зивов, заметную роль среди которых играют туфы. Кремнистые поро-  
ды здесь имеют подчиненное значение. Крайне редко встречаются  
маломощные прослои алевролитов и кремнисто-глинистых пород. Мощ-  
ность толщи 900-950 м.

В бассейне р. Яро в кремнистых породах верхней части разре-  
за толщи обнаружены радиолярии: *Triticocapsa rizophila* Hinde, *Di-*  
*cocapsa ex gr. macroserpula* Rüst, *Dictyonitria ex gr. multicor-*  
*tata* Zittel, *Lithocapsa pyramidis* Rüst, *Stictocapsa cf. testa*  
*Rüst* и др. тетрахинского комплекса (верхний триас). Аналогичный  
комплекс радиолярий установлен в низах разреза согласно перекры-  
вающей томчинской толщи, верхние горизонты которой содержат фраг-  
менты (Рентактинус, Нолсогунчия, Налобия, Охутома), характерную  
для верхов карнийского - низов норийского ярусов /3/. Таким об-  
разом, якининская толща относится к карнийскому ярусу и скорее  
всего соответствует его средней части /19/.

Т о м ч и н с к а я т о л щ а ( $T_{3^{\prime}1}$ ) распространена к  
юго-востоку от якининской толщи, согласно наращиваая разрез верхне-сменяется  
триасовых отложений. В отличие от якининской толщи, в ее составе  
преобладают территиренные породы. Так, в бассейне среднего течения р. Яро на кремнистых породах якининской толщи при четком контакте  
затекают (снизу вверх).

1. Алевролиты . . . . .
2. Песчаники полимиктовые мелкозернистые с ред-  
кими линзами (15-90 см) алевролитов . . . . .
3. Кремнистые породы с линзами кремнисто-гли-  
нистых пород . . . . .
4. Алевролиты . . . . .
5. Песчаники полимиктовые мелкозернистые с ред-  
кими малоомощными прослоями алевролитов . . . . .
6. Алевролиты с включением обломков кремнистых  
пород, песчаников и основных эфузивов; прослон  
(8-10 м) песчаников, кремнистых пород и спилитов . . . . .

7. Спилиты . . . . .	15-30 м
8. Алевролиты, иногда туфравлевролиты с невы- держаными прослонами и линзами кремнистых пород,	
9. Песчаники полимиктовые, слюдистые мелко- спилитов, песчаников, подводно-оползневых брекций . . . . .	170-190 м
10. Алевролиты . . . . .	55 "
11. Песчаники полимиктовые, иногда слюдистые мелкозернистые с редкими линзами алевролитов . . . . .	20 "
12. Алевролиты с малоомощными (до 0,4 м) линзами подводно-оползневых брекций и кремнистых пород . . . . .	25-40 "
13. Подводно-оползневые брекции с алевролитовым компонентом и включениями (50%) обломков песчаников . . . . .	60 "
14. Песчаники полимиктовые мелкозернистые . . . . .	50 "
Общая мощность разреза 870-930 м.	30 "

К юго-западу от р. Яро в верхней части разреза увеличивается  
мощность горизонтов песчаников (в том числе и туфопесчаников),  
достигающая в бассейне р. Томчи 210 м. Здесь же появляются на-  
иболее мощные (30-65 м) и протяженные залежи спилитов, диабазов  
и их туфов. К северо-востоку песчаники, напротив, практически  
исчезают и встречаются лишь в виде единичных малоомощных (первые  
меры) прослоев среди алевролитов. Подводно-оползневые брекции,  
образующие в бассейне р. Яро довольно мощные залежи, по простира-  
нию, включая переменное количество обломков песчаников, кремни-  
стых, кремнисто-глинистых пород, спилитов, диабазов, радиально  
пребывающих отложений. В отличие от якининской толщи, в ее составе  
преобладают территиренные породы. Так, в бассейне среднего течения  
р. Яро на кремнистых породах якининской толщи при четком контакте  
затекают (снизу вверх).

1. Алевролиты . . . . . 145 м ии Л.Б. Тихомировой). В бассейне р. Яро в песчаниках верхней ча-  
сти разреза собраны /28, 33/ хороший сохранности *Pentactinus*  
*lalobia cf. austriaca Mojs.*, *Oxotoma cf. czekanowskii Teller*  
40 " др. (заключения Е.П. Брудницкой), на основании которых томчинская  
5. Песчаники полимиктовые мелкозернистые с ред-  
кими малоомощными прослоями алевролитов . . . . . 50-55 "

6. Алевролиты с включением обломков кремнистых  
пород, песчаников и основных эфузивов; прослон  
(8-10 м) песчаников, кремнистых пород и спилитов . . . . . 140-150" расположивается от среднего течения р. Соили до нижнего течения

Средняя часть пачки (300–450 м) наборот, как правило, сложена

р. Талже, имея тектоническую нижнюю границу. Пачка сложена гравелитами, конгломератами, седиментационными брекчиями, песчаниками и, в меньшей мере, алевролитами, подводно-оползневыми брекчиями, спилитами и увеличивается от 0,5 до 100 м к юго-западу и к северо-востоку от кремнистыми породами. Доминирующая роль (60–65%) принадлежит р. Томи, а также в бассейне р. Джокеми. Кремнистые породы и эфуру-трубобломочным породам – гравелитам на песчаном и алевролитово-известняковом основного состава встречаются здесь в виде радиальных линз мощностью, переходящим по простиранию в мелкогалечные конгломераты до 1–2 м, редко до 10–15 м. В верхней части пачки (600 м), или седиментационные брекции с обломками различной степени окатки в низах которой преобладают алевролиты, а в верхах песчаники, кремнистых, кремнисто-глинистых пород, глинистых сланцев, значительно вырастает роль эфуру-известняков, алевролитов, песчаников, основных, средних и кислых эфуру-известняков, алевролитов, спилитов, катализированных гранитов, кварца и полевого (до 75–100 м) залежи. Маломощные линзы гравелитов встречаются редко известняков, кремнистых, кремнисто-глинистых пород, часто слагающих мощные шарты. Подчиненное значение имеют различные по зернистости помидоры в междуречье Сичку – Яро среди песчаников, а известняков – мицтовые песчаники, а также алевролиты, слагающие прослои мощностью от 10–40 до 90–120 м в нижней и средней частях разреза. Альтерации среди песчаников. Мощность пачки, установленная путем кор- причем прослои алевролитов, переходящие в бассейне р. Томи в реликти частных разрезов, составляет 1050–1200 м. подводно-оползневые брекции, при незначительной вариации мощности, выдержаны на всем простирании пачки. Кремнистые породы и распространены в среднем течении р. Ачи, междуречье Поди – Тах- спилиты залегают в основном в виде небольших линз. В то же время, в верховых рек Томи, Соили, Яро и в бассейне р. Итула. мя в бассейне р. Талже спилиты слагают мощную (80 м) залежь, граница с подстилающими отложениями проводится по кровле горизонта пачки 2, которые резко сменяются согласно залегающим подводно-оползневыми брекциями /28/.

Пачка 2 ( $T_3 t_1^2$ ) обнажена на правобережье верхнего и нижнего течения р. Томасу, прослеживается от среднего течения р. Соили, ставят алевролиты и туфраверолиты, фациально переходящие в

в бассейн среднего течения р. Талже, налегая на пачку 1, и сносят водно-оползневые брекции с обломками песчаников, кремнистых, гает тектонический блок в верховых р. Мани. Она сложена песчано-кремнисто-глинистых пород, спилитов, диабазов (до 60–70% объема никами, алевролитами, аргиллитами, подводно-оползневыми брекчированными). Последние наиболее распространены в бассейнах рек Яро и кремнистыми, кремнисто-глинистыми породами, пластовыми телами Талже. Около 10% объема пачки составляют кремнистые и ассоциированные спилиты, диабазов, их туфов и редкими линзами гравелитов и гидролитов с ними кремнисто-глинистые породы, слагающие в различных известняков. Нижняя граница пачки проходит по подошве мощногалечных разрезов как маломощные линзы, так и прослеживающиеся на (60–75 м) горизонта алевролитов. В сидих случаях (бассейн р. Яро-8 км (бассейны рек Томи и Игула)) горизонты мощностью от отмечается постепенный переход (в интервале 3–4 м) гравелитов 5–20 до 120 м. Песчаники и туфопесчаники формируют отдельные на алевролитовом цементе пачки I через алевролиты с редкой галеритонами мощностью до 50–100 м в основном в средней части разреза и гравием в "чистые" алевролиты; в других (верховья р. Томи) – гравелиты на песчаном цементе через слой (4 м) круто-, т. первых метров до первых десятков метров пространственно тяготеют к полам распространения подводно-оползневых брекций, а затем мелкозернистых песчаников резко сменяются алевролитами и к полам распространения подводно-оползневых брекций, полужесткими.

Нижняя часть пачки мощностью 200–250 м представлена в оси наибольшее распространение в бассейнах рек Соили и Талже. Новом алевролитами, фациально переходящими в подводно-оползневую мощность пачки оценивается в 800–950 м. Восток Томасинской тяжи определен как верхненорийский вье брекции и редко в аргиллиты, среди которых почти нет гравийных. Возраст Томасинской тяжи определен как верхненорийский прослеживается горизонт (20–100 м) кремнистых пород. Крайне редко основанием многочисленных находок /28, 33/ *Monotis cf. основной* наблюдаются непротяженные залежи эфузивов основного состава (*Keys.*), *M. ochotica* (*Keys.*), *M. (Entomopteris) cf. scutifrons* мощность которых в бассейне р. Томи достигает 40 м, и маломощные (*Tellier*), *Holcothrius sp. indet.* (определения Е.П.Бруди, до 0,5 м, редко до 15 м) прослои мелкозернистых песчаников) в различных частях разреза пачек I и II.

## ТРИАСОВАЯ СИСТЕМА, ВЕРХНИЙ ОТДЕЛ - ИРСКАЯ СИСТЕМА, НИЖНИЙ ОТДЕЛ (?)

полимиктовые мелкозернистые песчаники с линзами гравелитов. Мощность пачки оценивается в 700–800 м.

Полинская толща распространена на водоразделах рек Ани, Поди и Мани, Талаке, Томчи, Союли и Кадди, Аны-синской толщи, учитывая согласное деление рек Ани, Поли и Мани, Талаке, Томчи, Союли и Кадди, Аны-синской толщи, отвечает самим верхам норийского яруса или ряту. и Манома. По литологическому составу она подразделена на две пачки.

Пачка 1 ( $T_3-J_1 \gamma d^1$ ) сложена песчаниками, алевролитами, полилитическим составу, характеру разреза и объему толща, проводно-оползневыми брекчиями, гравелитами, кремнистыми породами, лягет большое скопление с фаунистически охарактеризованного разреза горизонта диабазами. Нижняя граница пачки проходит по подошве мощного (110 м) горизонта песчаников, которые согласно залегают на кремне в возрасте палеонтологически обоснован как верхнетриасовый нижнестолбовский ярус /19/. В соответствии с этим возраст толщи принимается грубозернистым (среднезернистым) сложением в основании горизонта /29/.

Пачка на 60–70% представлена средне-, мелко-, редко крупнозернистыми полимиктовыми песчаниками и в меньшей мере (до 30%) алевролитами, слагающими в различных частях разреза прослои мощностью от 25 до 160 м. В верховых р. Союли мощность горизонта алевролитов в верхах разреза пачки достигает 200–210 м. Подвод-напльных структур, в бассейнах рек Хор, Кадди и на правобережье но-оползневые брекции, ассоциируя с алевролитами, наблюдаются р. Поли, начинает видимый разрез Восточно-Сихотэ-Алинского района преимущественно в бассейне р. Игула. Гравелиты распространены в Калинории (рис. 1).

Верховых р. Игула, в бассейне р. Талаке и на водоразделе Поли-Мани, где слагают прослой мощностью от 5 до 30 м и протяженностью кремнисто-глинистыми породами с линзами и редкими пластами алевролитов, песчаников, спилитов, диабазов, их туфов, известняков. 0,5–2,5 км среди песчаников средней части разреза. Кремнистые города тяготеют в основном к берегам пачки, слагая маломощные города. Наибольшую мощность и ширину выхода на дневную поверхность под- (до 15 м) линзы преимущественно в составе алевролитовых горизонтах смыта имеется на левом борту долины р. Хор, где обнажаются (снизу вверх):

виде 5–6-метровых залежей в нижней части пачки лишь в истоках р. Поли. Общая мощность пачки, установленная путем сопоставления частных разрезов, достигает 950–1000 м.

Пачка 2 ( $T_3-J_1 \gamma d^2$ ) отчетливо выделяется по преобладанию кремнистых пород, которые слагают, как правило, мощные (от 30–нистые с единичными прослойками алевролитов

до 130–160 м, реже более метров) выдержаные горизонты, содержащие маломощные (до 1 м) линзы алевролитов и кремнисто-глинистых пород. В средней и верхней частях разреза они разделены довольно мощными (10–20 м) прослойками кремнисто-глинистых пород. Алевролиты, образующие по всему разрезу горизонты мощностью 0–35 м, по простиранию сменяются подводно-оползневыми брекциями на таком же алевролитовом цементе с многочисленными обломками кремнистых пород и песчаников. В верховых рек Союли и Поли заметно увеличивается с северо-востока на юго-запад. Это увеличивается количество таких горизонтов, здесь же появляются залежи основного состава в единичных линзах отмечаются на правом

Нижняя граница возраста пачки, учитывая согласное наращивание ее фаунистически охарактеризованного разреза горизонта диабазами, отвечает самим верхам норийского яруса или ряту. Значительная мощность (до 1800 м) отложения позволяет предположить, что накопление осадков продолжалось и в юрское время. По

падно-Сихотэ-Алинском синклиниории Северного Сихотэ-Алиня, где Нерский /19/. В соответствии с этим возраст толщи принимается палеонтологически обоснован как верхнетриасовый нижнестолбовский ярус /19/. В соответствии с этим возраст толщи принимается падно-Сихотэ-Алинском синклиниории Северного Сихотэ-Алиня, где

## ТРИАСОВАЯ СИСТЕМА, ВЕРХНИЙ ОТДЕЛ – ИРСКАЯ СИСТЕМА

### ИДИОМОРФИЗАЦИЯ

Джуарская свита, обнажающаяся в ядрах антиклинальных структур, в бассейнах рек Хор, Кадди и на правобережье р. Поли, начинает видимый разрез Восточно-Сихотэ-Алинского района.

Нижняя подсвита ( $T_3-J_4 d^2_1$ ) представлена кремнистами, реже

ролитами, песчаниками, спилитами, диабазами, их туфами, известняками. Наибольшую мощность и ширину выхода на дневную поверхность под- (снизу вверх):

1. Кремнисто-глинистые породы . . . . . 270–300 м
2. Кремнистые породы . . . . . 180–190 "
3. Кремнисто-глинистые породы . . . . . 25–30 "
4. Песчаники полимиктовые мелко-среднезернистые . . . . .
5. Алевролиты . . . . . 140–150 "
6. Кремнисто-глинистые породы . . . . . 60–70 "
7. Кремнистые породы . . . . . 25–30 "

Общая мощность разреза составляет 950–1020 м.

В других местах эрозией вскрыты лишь самые верхние подсвиты, состоящие из кремнистых пород с редкими маломощными (от 5 см

Индекс	Ярус	Отдел	Система
			Мощность в м
			<b>ХАРАКТЕРИСТИКА ПОРОД</b>
			Песчаники, редко алевролиты, линзы гравелитов, седиментационных фракций
K <sub>1</sub> V	ВАЛАНЖИНСКИЙ	НИЖНИЙ	350-800
K <sub>2</sub> K	БОЛЕЕ 900		
T <sub>3</sub> -J <sub>2</sub> Z <sub>1</sub>	до 350		
T <sub>3</sub> -J <sub>2</sub> Z <sub>2</sub>	БОЛЕЕ 1000		
СВ			

**ТРИАСОВАЯ И ЮРСКАЯ**

**ВЕРХНИЙ ТРИАС-ЮРА**

**ЮРСКАЯ**

**МЕЛОВАЯ**

**ВЕРХНИЙ**

**НИЖНИЙ**

**АЛЕВРОЛИТЫ, ПЕСЧАНИКИ, РИТМИЧНО ПЕРЕСЛАННЫЕ АЛЕВРОЛИТЫ И ПЕСЧАНИКИ, ЛИНЗЫ ГРАВЕЛИТОВ, СЕДИМЕНТАЦИОННЫХ ФРАКЦИЙ**

**Песчаники, редко алевролиты, линзы гравелитов, седиментационных фракций**

**Алевролиты, песчаники, ритмично пересланы алевролитами, седиментационными фракциями гравелитов, кремнистыми и кремнисто-глинистыми породами, спилитами, диабазами, их туфами с видами *Fusulina Fischeriana*, *B. tenuis*, *B. brevibratulicidae*, *Lan.*, *B. sc. russensis*, *Reticul. B. trivalvis*, *Tretet. Kug.*, известняков**

**Верхне-джаурская подсвита. Кремнисто-глинистые, реже кремнистые породы, алевролиты, песчаники, спилиты, диабазы, их туфы**

**Нижнеджаурская подсвита. Кремнистые, реже кремнисто-глинистые породы, линзы жажды, редкие пластины алевролитов, песчаников, спилитов, диабазов, их туфов, известняков**

Примечание. Стратиграфическая колонка изображает разрез Восточно-Сихотэ-Алинского синклиниория

**Нижний - средний отделы**

**Хунгарийская свита ( $J_1-2$ )** узкой (1-1,5 км) полосой прослеживается в северо-восточном направлении от долины р.Дро по водораздельным пространствам ее правых притоков на протяжении 12 км. Обнажаясь в тектоническом блоке, на северо-западе свита с угловым несогласием перекрывает отложения берриасского яруса. В строении свиты принимают участие алевролиты, песчаники, туфы основного состава, редко спилиты. На правом берегу долины р.Дро она имеет следующий разрез (снизу вверх):

борту р.Хор и слагают мощную залежь в бассейне р.Прав.Лоди. Здесь же в междууречье Хор - Кадади наблюдаются прослои алевролитов мощностью до 40 м. Единичные линзы известняков протяженностью 200-250 м и мощностью до 30 м встречаются на правом берегу долины р.Хор и в истоках р.Прав.Лоди. Видимая мощность подсвиты в бассейнах рек Поди и Кадади не превышает 300-400 м, а в междууречье Андай - Хор составляет более 1000 м.

**Верхняя подсвита ( $J_3-J_2$ )** менее распространена. Нижняя граница подсвиты проводится по подошве мощной пачки кремнисто-глинистых пород, залегающих на кремнистых породах нижней подсвиты. Согласное залегание подсвит установлено во многих местах в обнажениях по рекам Андай и Уджаки /55/ восточнее территории листа, где между ними фиксируется постепенный контакт.

Отличается верхнеджаурская подсвита от нижней фациальной устойчивостью и представлена в основном кремнисто-глинистыми породами. Кремнистые породы редки и слагают мало мощные (до 15 м) пласты в среднем течении р.Поди. Здесь же в средней части разреза залегают единичные линзы (до 20 м) алевролитов с тонкими прослойками полимитовых мелкозернистых песчаников. Еще реже встречаются линзовидные залежи эфузивов основного состава, которые отмечены лишь в верховых р.Лев.Поди и на правом берегу долины р.Поди, в ее среднем течении. По мощности подсвита не выдержана и в бассейнах рек Хор и Кадади быстро выклинивается. Максимальная же ее мощность в пределах района достигает 350 м.

Верхнетриасово-юрский возраст джаурской свиты обоснован на площади соседнего листа М-54-ХХ /39/ многочисленными находками остатков фораминифер и радиолярий.

**ЮРСКАЯ СИСТЕМА****Рис.1. Стратиграфическая колонка**



Толща представлена монотонными плохо отсортированными (мелко-, средне-, до крупногалечных валунистых) конгломератами с линзами и меломонтиями (до 1-5, редко 10 см) прослоями гравелитов, песчаников полимиктовых, редко алевролитов. Конгломераты состоят из гальки (65-80%) размером 1-5 см, реже 5-10 см с примесью немногочисленного гравия (5%), валунов в количестве от единичных до 10-15% объема породы и песчаного заполнителя (15-20%). Окатаанность валуно-галечного материала хорошая, гравийного - средняя и плохая. Обломки представлены песчаниками мелко-, редко средне- и крупнозернистыми, редко (5-15%) алевролитами, кремнистыми и кремнисто-глинистыми породами, иногда кварцем, кварцитами, кальцинированными гранитами, спилитами, турами основного состава известниками. Характерно, что валуны и крупная галька образованы исключительно песчаниками. Толща практически не претерпевает изменений по простиранию, хотя к северо-востоку в ее составе увеличивается количество и мощность линз песчаников и алевролитов. Мощность толщи 400 м.

Толща алевролитов ( $K_1 b^2$ ) согласно залегает на толще конгломератов. Распространена она в бассейне р. Тормасу, в верховых р. Картанга и руч. Болотистый, узвах р. Ута, а также на водоразделе Тормасу - Антар и сложена преимущественно алевролитами, аргиллитами, редко песчаниками с линзами гравелито и невыделанными пластами туфов андезитов, андезитов, туфом. Нижняя граница толщи проводится по кровле последнего горизонта конгломератов, на которых, как установлено в канавах в междуручье Тормасу - Яро /28/, залегает слой песчаников мощностью от 5 см до 1,5-3 м, постепенно через более мелкозернистые разности переходящих в алевролиты. Средне-мелкогалечные конгломераты к контакту постепенно становятся мелкогалечными гравелистами, сменяясь иногда гравелитами с худшей окатанностью обломков.

В междуручье Тормасу - Яро толща имеет следующее строение (снизу вверх):

1. Пачка переслаивания (через 0,5-4 м) алевролитов слоистых и песчаников полимиктовых алеврости-	20 м
2. Алевролиты аргиллитистые, аргиллиты	55 "
3. Песчаники полимиктовые и кварц-полевошпатовые мелкозернистые	7-10"
4. Алевролиты с прослоями песчаников мелкозернистых алевролистых	130 "

ко-, средне-, до крупногалечных валунистых) конгломератами с линзами и меломонтиями (до 1-5, редко 10 см) прослоями гравелитов, песчаников полимиктовых, редко алевролитов. Конгломераты состоят из гальки (65-80%) размером 1-5 см, реже 5-10 см с примесью немногочисленного гравия (5%), валунов в количестве от единичных до 10-15% объема породы и песчаного заполнителя (15-20%). Окатаанность валуно-галечного материала хорошая, гравийного - средняя и плохая. Обломки представлены песчаниками мелко-, редко средне- и крупнозернистыми, редко (5-15%) алевролитами, кремнистыми и кремнисто-глинистыми породами, иногда кварцем, кварцитами, кальцинированными гранитами, спилитами, турами основного состава известниками. Характерно, что валуны и крупная галька образованы исключительно песчаниками. Толща практически не претерпевает изменений по простиранию, хотя к северо-востоку в ее составе увеличивается количество и мощность (до нескольких десятков метров) прослоев песчаников. Далее же на северо-восток, в бассейнах рек Джекеми и Мани, песчаники, напротив, слагают единичные меломонтиевые линзы, и разрез практически нацелен предварительно нарезе р. Тормасу около 350 м.

На западе района нижние горизонты толщи можно наблюдать лишь в верховых рек Картанга и Ута. В остальных же местах низы толщи не обнажаются. Так, в бассейне р. Тухала ее разрез начинает довольно мощная (более 100 м) пачка песчаников, коррелирующихся с наиболее мощным прослоем песчаников в средней части разреза на правобережье р. Тормасу. На песчаниках залегает пачка (45-65 м) переслаивающихся через 0,5-1 м алевролитов и песчаников, различно переходящая к северу в пачку песчаников с частями меломонтиями прослоями алевролитов. Завершает разрез толщи мощная (400 м) пачка монотонных алевролитов. К югу от р. Тухала роль песчаников резко уменьшается, а алевролиты становятся аргиллитами и уже в верховых р. Тормасу плавноющую роль приобретают аргиллиты и, кроме того, туф-алевролиты. Здесь же в средней части разреза толщи широко развиты андезиты, их туры и туфы, слагающие пласти мощностью до 200 м. Линзы гравелитов наблюдается только в бассейне р. Тухала в верхней части разреза. Суммарная мощность толщи 600 м.

Беррийский возраст толщи конгломератов и толщи алевролитов при их непрерывном разрезе и несогласном залегании толщи конгломератов на норийских и тоарско-байосских отложениях определяется находками в средней части разреза толщи алевролитов Согбис-ла амагасиргансис Kob. et Szuz., Buchia sp. Indet. (спред. Л.Д. Третьяковой), характерных для самых нижних слоев нижнего мела серии Тегори Японии. Кроме того, в аналогичных отложениях бассейна р. Йеримин /43/ наряду с указанным видом установлены Риангудуа ст. речекина (Оро), известные в беррийском ярусе Русской платформы.

#### Залангинский ярус ( $K_1 u$ )

Песчаники, редко алевролиты, линзы гравелитов, седиментационных брекций, конгломератов, туфов андезитов установлены по

5. Алевролиты, аргиллиты алевролистые . . . . . более 120 м  
Общая мощность разреза более 335 м.

К северо-востоку, на правобережье р. Тормасу, в составе тол-

щи заметно увеличивается количество и мощность (до нескольких десятков метров) прослоев песчаников. Далее же на северо-восток, в бассейнах рек Джекеми и Мани, песчаники, напротив, слагают единичные меломонтиевые линзы, и разрез практически нацелен пред-

ставлен монотонным массивными алевролитами иногда с пластами туфов андезитов мощностью до 100 м. Мощность толщи на правобережье р. Тормасу около 350 м.

На западе района нижние горизонты толщи можно наблюдать лишь в верховых рек Картанга и Ута. В остальных же местах низы толщи не обнажаются. Так, в бассейне р. Тухала ее разрез начинает довольно мощная (более 100 м) пачка песчаников, коррелирующихся с наиболее мощным прослоем песчаников в средней части разреза на правобережье р. Тормасу. На песчаниках залегает пачка (45-65 м) переслаивающихся через 0,5-1 м алевролитов и песчаников, различно переходящая к северу в пачку песчаников с частями меломонтиями прослоями алевролитов. Завершает разрез толщи мощная (400 м) пачка монотонных алевролитов. К югу от р. Тухала роль песчаников резко уменьшается, а алевролиты становятся аргиллитами и уже в верховых р. Тормасу плавноющую роль приобретают аргиллиты и, кроме того, туф-алевролиты. Здесь же в средней части разреза толщи широко развиты андезиты, их туры и туфы, слагающие пласти мощностью до 200 м. Линзы гравелитов наблюдаются только в бассейне р. Тухала в верхней части разреза. Суммарная мощность толщи 600 м.

Беррийский возраст толщи конгломератов и толщи алевролитов при их непрерывном разрезе и несогласном залегании толщи конгломератов на норийских и тоарско-байосских отложениях определяется находками в средней части разреза толщи алевролитов Согбис-ла амагасиргансис Kob. et Szuz., Buchia sp. Indet. (спред. Л.Д. Третьяковой), характерных для самых нижних слоев нижнего мела серии Тегори Японии. Кроме того, в аналогичных отложениях бассейна р. Йеримин /43/ наряду с указанным видом установлены Риангудуа ст. речекина (Оро), известные в беррийском ярусе Русской платформы.

левобережье р. Торнасу, в верховьях рек Нартанга, Бурга и руч. Болотистый – в Западно-Сихотэ-Алинском синклиниории и в бассейнах рек Поди, Хар, Кацади – в Восточно-Сихотэ-Алинском синклиниории (частично распространяясь в краевые части Центрально-Сихотэ-Алинского антиклиниория). В Западно-Сихотэ-Алинском синклиниории валанжинские песчаники согласно залегают на тонкие алевролиты берриаса /28/. В Восточно-Сихотэ-Алинском синклиниории толща залегает на разных горизонтах подстилающих отложений, но значительная разница в углах падения пород (50–55°) наблюдается /32/, лишь на контакте с джуастской свитой. На контакте с верхнепротивником залегают обломками образование на водоразделе рек Айи – Поди установлено, что мелко-среднезернистые песчаники валанжина с гравийными обломками алевролитов у контакта через маломощную (1–1,5 м) пачку перекрывающихся алевролитов и песчаников без видимого углового несогласия залегают на алевролитах титон – берриаса. Несколько же восточнее территории листа /52/ на переслаивающихся алевролитах и песчаниках титон – берриаса залегает горизонт гравелитов, а разница в азимутах простирания пород составляет около 15°.

Песчаники представлены мелко-, средне- и крупнозернистыми полимиктовыми, реже кварц-полевошпатовыми разностями. Характерной особенностью их является наличие редких включений неокатанических обломков алевролитов размером до 1 см. Прослои алевролитов имеют мощность от 1,5–15 до 60 м и протяженность 0,5–4 км. Наиболее мелкие и протяженные из них приурочиваются к верхним частям разреза. Линзы гравелитов и седиментационных брекций, переходящих по простирации в крупнозернистые песчаники с включением редких обломков, распространены в Восточно-Сихотэ-Алинском синклиниории в основании, реже в средней части разреза и имеют мощность до 2–10 м. Конгломераты встречаются лишь в бассейне р. Тухала. В гальке и гравии, кроме кремнистых пород и алевролитов, наблюдаются песчаники, диабазы, спилиты, микрокварциты, катаклизированные гранитоиды. Залежи туфов андезитов распространены в истоках р. Картанга. Мощность валанжинского яруса 350–400 м, достигает иногда в Восточно-Сихотэ-Алинском синклиниории 800 м.

Возраст толщи песчаников при согласном залегании на отложениях берриасского яруса Западно-Сихотэ-Алинского синклиниория, базируется на нахождении в средней части разреза толщи в бассейне р. Айи за пределами площасти листа /40/ остатков *Vischia crassicollis* Keys., *V. crassicollis* var. *gracilis* Loh., *V. sublaevis* Keys. и др., характерных для валанжина.

### В е р х н и й о т д е л

**С а м а р г и н с к а я с в и т а** ( $K_{2,3}$ ), субгоризонтально залегая на сложно дислокированных отложениях нижнего мела и верхнего триаса, распространена на водораздельных пространствах бассейнов рек Айи, Торнасу, Мани и обнажена также в урезах рек Бурга, Хар, Гола. Отложения свиты представлены однообразными темно-серыми и черными андезитами, содержащими редкие залежи туфов андезитов мощностью от 15 до 100 м и протяженностью до 1–2 км. Приурочены такие залежи преимущественно к средним частям разреза свиты. В основании свиты в бассейне р. Картанга находитесь горизонт лавобрекций мощностью 50–100 м.

Андезиты по химическому составу близки к андезитам по Р.Дэли (табл. I). Порфировые выделения в них (30–40% объема породы) представлены кристаллами (0,5–10 мм) андезина # 35–40 и редко псевдоморфозами кальцита, хлорита с эпидотом и рудным минералом по роговой обманке. Основная масса гипалопилитовая, участками пилотакситовая. Аксессорные минералы: магнетит, ильменит, апатит. Глыбы андезитов преимущественно псевдогипсовые, реже псамитовые с обломками (30–70%) андезитов и кристаллов плагиоклаза, цементированных перекристаллизованным пепловым материалом. В лавобрекциях обломки (80–90% объема породы) образованы ороговикованными песчаниками, алевролитами, редко андезитами. Они имеют размер до 1,5 см и сцеплены андезитовой лавой с гипалопилитовой структурой.

Максимальная мощность свиты, установленная по разности абсолютных отметок подошвы и кровли, 450–500 м. Верхнемеловой возраст свиты базируется на радиологическом возрасте (74 млн. лет) самых андезитов и комагматичных с ними интрузий диоритовых порфиритов (~70 млн. лет). Принадлежность ее к самаргинской свите определена, как и на площасти соседнего листа М-53-XIX /15/, по сходству состава пород.

### Дватский ярус (d)

**С в и т а К а н д а х 3** ( $K_{2,4}$ ) прослеживается узкой (2–4 км) полосой по обоим бортам долин рек Торнасу и Союз, выпадая гравен в зоне Центрального Сихотэ-Алинского шва. Сложена свита контгломератами, гравелитами, песчаниками, андезитами, их туфами, редко алевролитами, траханделезитами, андезито-базальтами, аргиллитами, туфитами, утилистыми аргиллитами. Осадочные

Таблица I

## Химический состав

## математических пород

# пробы	Порода	Геоло- гиче- ский возраст	Место взятия пробы			Содержание окислов, вес. %											
				SiO <sub>2</sub>	TiO <sub>2</sub>	Al <sub>2</sub> O <sub>3</sub>	Fe <sub>2</sub> O <sub>3</sub>	FeO	MnO	MgO	CaO	Na <sub>2</sub> O	K <sub>2</sub> O	H <sub>2</sub> O	П.п.п.	Σ	
I	2	3	4	5	6	7	8	9	10	II	12	13	14	15	16	17	
396	Андрезит	K <sub>2</sub> ,jm	Истоки р.Моди	60,02	1,04	16,52	3,44	2,99	0,11	2,92	5,65	3,84	2,47	0,70	0,31	100,01	
719	Туф андезита	K <sub>2</sub> ,jm	р.Тормасу	64,08	1,03	15,66	2,43	4,03	0,11	1,39	3,48	2,08	3,13	0,85	1,23	99,50	
K-471	Андрезито-базальт	K <sub>2</sub> ,fz	Там же	54,04	1,30	15,73	5,00	2,81	0,09	4,63	4,90	3,69	2,83	2,54	2,12	99,67	
1860	Трахиандезит	K <sub>2</sub> ,fz	"	55,12	1,53	20,28	2,43	4,37	0,21	1,11	4,22	4,94	2,78	2,01	0,51	99,51	
2944	Андрезит	P <sub>2</sub> ,fz	р.Амой	60,20	1,00	15,37	3,30	2,75	0,10	3,23	5,56	3,36	2,87	1,45	0,58	99,77	
683	Туф андезита	P <sub>2</sub> ,fz	Там же	63,02	0,79	14,90	3,51	1,07	0,09	2,35	3,64	4,01	2,05	1,77	2,39	99,59	
391	Андрезит	P <sub>2</sub> ,fz	р.Бира	59,95	0,82	14,59	4,98	1,02	0,12	2,59	5,55	3,11	2,75	1,72	2,36	99,56	
2370	Андрезит	P <sub>2</sub> ,fz	р.Сооли	59,86	0,89	15,49	3,33	2,80	0,11	2,96	5,09	2,70	2,60	3,98	0,49	100,30	
1863А	Андрезит	P <sub>2</sub> ,fz	р.Моди	59,37	0,92	16,08	3,71	2,62	0,14	2,95	5,64	3,80	3,51	0,86	0,48	100,08	
1862А	Андрезито-базальт	P <sub>2</sub> ,fz	Там же	53,41	1,64	16,08	4,10	5,17	0,11	5,13	7,92	3,37	0,91	0,92	1,01	99,77	
1505	Базальт	N <sub>1</sub> ,fz	р.Сооли	50,57	2,36	15,61	4,67	5,50	0,11	6,22	7,33	3,53	2,60	1,36	0,71	100,57	
2919	Базальт	N <sub>1</sub> ,fz	р.Тормасу	50,84	1,55	15,34	2,31	8,39	0,07	7,27	7,77	3,62	1,27	1,14	0,50	100,07	
406	Базальт	P <sub>1</sub> ,fz	р.Амой	49,86	1,80	14,74	4,02	7,87	0,14	7,27	7,88	3,31	1,51	1,25	0,42	100,07	
1298-1	Диабаз	P <sub>1</sub> ,T <sub>3</sub>	р.Яро	46,91	2,53	11,32	6,25	6,12	0,08	8,50	7,66	3,57	0,60	0,00	6,33	99,87	
1509	Базальт	αβK <sub>1</sub>	р.Томки	50,96	2,18	15,60	2,32	6,53	0,13	4,22	9,44	4,39	1,20	0,00	3,01	99,98	
1340-1	Диабаз	P <sub>1</sub> ,T <sub>3</sub>	р.Яро	46,64	1,30	16,40	3,18	7,48	0,18	7,27	8,57	2,83	0,60	3,36	2,02	99,83	
1652-1	Перидотит	αK <sub>1</sub>	Там же	39,39	1,60	5,68	8,59	6,26	0,17	27,10	5,27	0,40	0,24	0,00	6,02	100,72	
1286	Габбро	vK <sub>1</sub>	р.Яро	46,31	2,03	6,74	3,34	7,30	0,05	12,06	13,78	1,55	0,25	0,00	6,79	100,20	
P-47	Габбро	vK <sub>1</sub>	р.Томки	46,19	3,70	12,68	8,32	5,81	0,17	7,30	11,07	3,20	0,86	0,23	0,75	100,28	
C-2	Габбро	vK <sub>1</sub>	Там же	50,37	2,37	10,49	3,52	6,92	0,14	9,18	11,64	2,71	0,68	1,33	0,46	99,81	
1619-1	Гранит	vK <sub>1</sub>	"	69,18	0,33	14,94	1,47	2,23	0,04	1,00	1,17	4,02	4,45	1,12	0,42	100,37	
1779	Гранит	vK <sub>1</sub>	р.Талаке	69,49	0,49	15,28	0,78	2,57	0,05	1,30	2,56	4,00	3,18	0,64	0,18	100,52	
1067	Гранит	v <sub>1</sub> K <sub>1</sub>	р.Кадади	72,88	0,35	14,37	0,00	2,34	0,07	0,79	0,99	3,20	4,37	0,71	0,26	100,33	
190	Гранит	v <sub>2</sub> K <sub>1</sub>	Богбасийский массив	67,71	0,56	15,53	0,82	0,08	1,43	1,68	3,50	3,69	1,05	0,74	0,74	99,70	

Продолжение табл. I

I	2	3	4	5	6	7	8	9	10	11	12	13	14	15	16	17
						7	8	9	10	11	12	13	14	15	16	17
1351-3	Габбро	vK <sub>2</sub>	r.Пухала	50,91	1,20	15,56	6,80	3,70	0,18	4,90	9,60	2,75	0,80	0,00	3,47	99,87
1361-I	Габбро	vK <sub>2</sub>	Там же	45,06	1,64	14,71	8,12	4,73	0,15	6,31	14,38	1,95	1,01	0,00	1,95	100,01
P-3636	Габбро	vK <sub>2</sub>	r.Поди	52,87	1,56	18,12	4,16	5,31	0,18	4,61	7,41	3,28	2,20	0,10	0,39	100,19
P-01720	Диорит	δK <sub>2</sub>	Там же	53,40	1,24	19,44	0,69	7,04	0,14	3,79	7,55	3,18	2,36	0,25	0,45	99,53
361	Диоритовый порфирит	δπK <sub>2</sub>	Тухалинский массив	57,33	0,51	17,09	2,95	3,59	0,09	4,23	6,00	3,50	1,74	1,60	0,89	99,52
1352-1	Диоритовый порфирит	γδK <sub>2</sub>	р.Пухала	61,01	0,90	16,14	2,46	3,31	0,10	3,52	5,52	3,57	1,92	1,19	0,49	100,13
1160	Гранодиорит	γ <sub>1</sub> K <sub>2</sub>	Быстринский массив	66,59	0,81	15,29	0,59	3,59	0,07	1,45	4,00	3,00	3,33	0,54	1,04	100,34
48	Гранодиорит	γ <sub>1</sub> K <sub>2</sub>	Верховье р.Анды	63,00	0,61	16,70	0,13	4,71	0,14	2,27	5,09	3,57	2,66	0,48	0,00	99,36
C-I	Гранодиорит	γ <sub>1</sub> K <sub>2</sub>	Тормасинский массив	64,85	0,95	14,96	2,11	2,64	0,04	1,91	3,60	3,94	3,18	0,75	0,59	99,52
596	Гранит	γ <sub>1</sub> P <sub>1</sub>	р.Интула	74,87	0,14	13,20	0,26	1,26	0,04	0,26	0,95	3,84	4,74	0,48	0,09	100,13
1110	Гранит	γ <sub>1</sub> P <sub>1</sub>	Быстринский массив	74,54	0,14	13,21	0,52	1,21	0,03	0,26	1,03	3,78	4,22	0,54	0,06	99,54
46	Гранит	γ <sub>1</sub> P <sub>1</sub>	Верховье р.Анды	74,30	0,16	12,34	0,09	2,04	0,07	0,26	1,43	3,43	4,83	0,52	0,00	99,47
4640	Гранит	γ <sub>1</sub> P <sub>1</sub>	Там же	75,49	0,21	12,32	0,21	1,26	0,03	0,26	0,96	3,35	5,02	0,42	0,00	99,53
2272	Гранит	γ <sub>1</sub> P <sub>1</sub>	Верховье р.Союли	74,59	0,21	13,20	0,38	1,56	0,04	0,59	1,49	2,91	4,00	0,49	0,14	99,60
1252	Гранит	γ <sub>2</sub> P <sub>1</sub>	Быстринский массив	77,29	0,03	11,93	0,60	0,79	0,01	0,15	0,50	2,96	4,94	0,31	0,05	99,56
I-I	Гранит	γ <sub>2</sub> P <sub>1</sub>	р.Союли	77,05	0,10	12,15	0,50	1,03	0,55	0,32	0,63	3,42	4,42	0,36	0,01	100,55
K-838	Базальт	ρA <sub>2</sub>	р.Амур	52,34	1,21	16,27	2,15	6,08	0,07	5,73	10,22	3,43	0,75	1,84	0,35	100,44
682-2	Трахибазальт	τβP <sub>2</sub>	Там же	49,30	1,18	16,46	6,09	3,89	0,13	5,88	6,12	4,92	1,30	2,78	1,64	99,69
165	Габбро-диоритовый порфирит	γδπP <sub>2</sub>	р.Тораксу	55,26	0,76	15,24	3,64	4,54	0,14	5,94	5,72	2,92	2,90	2,29	0,39	99,74
2296-I	Кварцевый диорит	qδP <sub>2</sub>	р.Амур	51,82	1,03	16,92	1,41	6,75	0,22	6,92	8,24	3,20	0,67	2,08	0,27	99,53
1923а	Гранодиорит	qδP <sub>2</sub>	Тухалинский массив	65,63	0,73	15,10	1,89	2,52	0,07	2,11	3,76	3,64	3,25	0,44	0,44	99,58
683	Кварцевый диоритовый порфирит	qδπP <sub>2</sub>	р.Союли	58,46	1,06	16,99	1,95	3,63	0,11	2,95	4,53	4,08	3,19	1,87	1,59	100,41
870	Кварцевый сиенит	qεP <sub>2</sub>	р.Тораксу	61,52	0,93	15,60	1,94	3,17	0,10	1,81	3,40	4,01	4,73	1,63	0,87	99,71

Продолжение табл. I

I	2	3	4	5	6
568	Трахилларит	$\lambda P_2$	р. Тормасу	65,45	0,34
1466	Гранит	$r-rP_2$	там же	76,60	0,06
1478	Гранит	$r-rP_2$	"	77,57	0,15
162	Гранит	$rP_2$	"	77,19	0,16

Числовые характеристики

7	8	9	10	11	12	13	14	15	16	17
17,70	2,00	1,00	0,02	0,50	0,98	5,91	5,12	0,45	0,17	99,64
12,33	0,60	0,40	0,07	0,25	0,40	4,11	4,46	0,00	0,05	99,33
11,99	0,92	0,26	0,02	0,10	0,44	3,71	4,26	0,28	0,01	99,71
12,48	0,81	0,54	0,02	0,13	0,66	3,60	4,32	0,34	0,13	100,38

по А.Н.Завариджому

# пробы	a	c	b	s	a'	c'
396	12,2	5,1	12,8	69,9	0,0	14,5
719	9,2	4,3	11,9	74,6	28,7	0,0
K-471	12,8	4,6	17,2	65,4	0,0	9,4
1860	15,8	5,4	10,9	67,8	19,2	0,0
2944	11,7	4,6	13,4	70,3	0,0	17,0
683	12,1	4,2	9,2	74,6	0,0	3,9
391	11,3	4,5	12,6	71,6	0,0	19,8
2370	10,2	5,8	11,9	72,2	0,0	6,0
1863A	13,5	4,1	13,7	68,7	0,0	20,8
1862A	8,9	6,5	21,4	63,2	0,0	15,4
1505	11,6	4,7	24,2	59,6	0,0	17,6
2919	9,7	5,3	26,2	58,7	0,0	15,5
406	9,4	5,1	27,6	57,8	0,0	16,0
1298-I	8,8	3,2	32,0	56,0	0,0	19,3
1340-I	11,6	4,8	22,6	60,9	0,0	30,4
1509	7,4	8,0	27,0	57,6	0,0	11,6
1652-I	1,1	2,8	55,3	40,8	0,0	5,2
1286	3,6	2,5	42,2	51,7	0,0	31,0
P-47	8,1	4,2	33,4	54,3	0,0	26,6
C-2	3,4	34,0	56,1	0,0	29,6	

# пробы	a	c	b	s	a'	c'
396	12,2	5,1	12,8	69,9	0,0	14,5
719	9,2	4,3	11,9	74,6	28,7	0,0
K-471	12,8	4,6	17,2	65,4	0,0	9,4
1860	15,8	5,4	10,9	67,8	19,2	0,0
2944	11,7	4,6	13,4	70,3	0,0	17,0
683	12,1	4,2	9,2	74,6	0,0	3,9
391	11,3	4,5	12,6	71,6	0,0	19,8
2370	10,2	5,8	11,9	72,2	0,0	6,0
1863A	13,5	4,1	13,7	68,7	0,0	20,8
1862A	8,9	6,5	21,4	63,2	0,0	15,4
1505	11,6	4,7	24,2	59,6	0,0	17,6
2919	9,7	5,3	26,2	58,7	0,0	15,5
406	9,4	5,1	27,6	57,8	0,0	16,0
1298-I	8,8	3,2	32,0	56,0	0,0	19,3
1340-I	11,6	4,8	22,6	60,9	0,0	30,4
1509	7,4	8,0	27,0	57,6	0,0	11,6
1652-I	1,1	2,8	55,3	40,8	0,0	5,2
1286	3,6	2,5	42,2	51,7	0,0	31,0
P-47	8,1	4,2	33,4	54,3	0,0	26,6
C-2	3,4	34,0	56,1	0,0	29,6	

Продолжение табл. I

# пробы	a	c	b	s	a'	c'	r'	t'	m'	n	φ	t	a:c	q
1619-1	14,9	1,4	6,8	76,9	26,7	0,0	49,0	24,3	57,9	18,1	0,4	10,7	22,6	
1779	13,1	3,1	6,0	77,8	13,2	0,0	51,1	35,7	65,7	10,8	0,5	4,3	26,2	
1067	12,8	1,1	6,8	79,3	48,8	0,0	32,3	18,9	2,7	0,0	0,4	11,1	32,0	
190	12,8	2,0	9,4	75,8	38,0	0,0	36,8	25,2	59,0	7,3	0,6	6,4	24,0	
1351-3	2,5	7,1	23,7	61,6	0,0	21,5	41,9	36,6	83,9	25,6	1,7	1,1	1,0	
1361-1	5,9	7,1	33,4	53,6	0,0	32,1	35,3	32,6	74,6	21,2	2,7	0,8	-11,6	
P-3636	11,1	7,4	20,0	61,5	0,0	11,1	47,2	41,7	70,0	19,0	2,4	1,5	-6,6	
P-017206	11,0	8,2	16,0	64,8	0,0	9,4	48,5	42,1	68,0	3,6	1,7	1,3	-0,6	
361	10,6	6,6	14,7	68,1	0,0	6,9	42,5	50,6	75,3	17,8	0,7	1,6	8,4	
1352-1	10,8	5,6	12,7	71,0	0,0	9,8	42,6	47,5	73,9	16,8	1,1	1,9	14,9	
1160	11,5	4,6	6,8	77,1	0,0	5,1	58,7	36,2	57,8	7,4	0,9	2,5	26,5	
48	11,9	5,4	9,6	73,2	0,0	9,2	50,0	40,8	67,1	1,4	0,8	2,2	17,1	
C-1	13,3	3,4	8,6	74,7	0,0	11,7	50,6	37,7	65,3	21,0	1,1	3,9	19,4	
596	14,8	1,1	1,9	82,2	2,0	0,0	75,2	22,7	55,2	11,5	0,1	13,3	33,8	
1110	14,0	1,2	2,7	82,1	26,5	0,0	57,8	15,7	57,6	15,8	0,1	11,5	35,0	
46	14,1	1,0	3,2	81,8	0,0	23,0	63,5	13,4	51,9	38,3	0,2	14,8	34,5	
4640	14,1	0,9	2,0	83,0	0,0	11,7	67,2	21,1	50,3	6,1	0,3	15,9	36,7	
2272	11,7	1,8	4,5	82,0	37,7	0,0	40,6	21,7	47,0	0,1	0,002	6,5	38,8	
1252	13,1	0,6	2,5	83,9	41,5	0,0	48,8	9,7	47,7	19,7	0,0	22,5	41,1	
H-1	13,3	0,7	2,7	83,4	28,4	0,0	52,0	19,4	54,0	15,3	0,1	18,2	39,5	
K-838	8,7	6,6	23,5	61,1	0,0	25,2	33,0	41,7	87,4	7,9	1,7	1,3	-1,8	
682-2	13,2	4,8	22,6	59,3	0,0	12,8	41,5	45,7	85,2	23,9	1,8	2,7	-12,7	
165	10,8	5,0	20,0	64,3	0,0	10,5	38,4	51,1	60,5	15,8	1,0	2,2	2,1	
2296-1	8,2	7,5	22,8	61,4	0,0	12,2	35,2	52,7	87,9	5,4	1,5	1,1	-1,2	
1923 <sup>a</sup>	12,7	3,9	8,3	75,1	0,0	7,6	49,2	43,2	63,0	19,5	0,8	3,2	20,8	
683	14,1	4,7	11,5	69,7	0,0	8,4	46,8	44,8	66,0	14,9	1,3	3,0	6,4	

Продолжение табл. I

проба	a	c	b	s	a'	c'	f'	m'	n	φ	t	a:c	q
870	15,7	2,6	9,5	71,9	0,0	16,4	50,9	32,7	56,3	17,7	1,1	6,0	9,2
568	20,3	1,2	4,4	74,1	20,0	0,0	60,8	19,2	63,7	38,8	0,4	17,1	6,5
1466	14,8	0,5	1,3	83,3	1,7	0,0	68,2	30,1	58,3	36,4	0,1	31,9	36,5
1478	13,7	0,5	1,8	84,1	34,5	0,0	56,5	9,1	57,0	42,2	0,1	26,2	40,3
162	13,5	0,8	2,2	83,5	38,9	0,0	51,8	9,3	55,9	29,3	0,2	17,7	39,3

породы свиты слабо диагенезированы и этим хорошо отличаются от пород другого возраста. Разрез ее резко изменчив и характеризуется невыдержанностью отдельных пачек по простираннию. Конгломераты и гравелиты наиболее распространены в центральной части района, где они слагают мощные (более 250 м) пачки преимущественно в основании разреза. Породы отличаются плохой сортировкой обломочного материала, имевшего различную степень окатанности. Гравий, галька и валуны представлены гранитами, гранит-порфирами, андезитами (схожими с самаргинскими), дакитами, липаритами, алевролитами и песчаниками, в меньшей мере диоритами, гранодиоритами, кремнистыми породами, иногда габбродиарами. Песчаники полимиктовые, кварц-полевошпатовые, складистые от алевритистых до крупнозернистых пространственно ассоциируют с конгломератами и гравелитами, слагая как мало мощные быстро выклинивающиеся линзы, так и прослеживающиеся на 3-4 км прослои мощностью до 30 м. Алевролиты наиболее широко развиты лишь в среднем течении р. Тормасу, встречаясь в различных частях разреза. Слагают они прослои (20-45 м) либо пачки переслаивания с песчаниками при мощности слоев тех и других 50 см. Алевритистые аргиллиты и туфриты наблюдаются в виде маломощных линз среди алевролитов. Эффузивы широко распространены в среднем и нижнем течении р. Тормасу, на водоразделе Тормасу - Соили, в бассейне р. Соили и пр. Титически отсутствуют в верхнем течении р. Тормасу. Слагают они довольно мощные (до 80 м) пласти, приуроченные в основном к верхним, реже средним частям разреза свиты и представлены преимущественно коричневато- или зеленовато-серыми афировыми и пирровыми андезитами. Вкрапленники (0,6-4,5 мм) составляют 10-20% объема породы и состоят из андезина № 40-45 и приоксена, часто замещенных карбонатом, хлоритом, иногда эпидотом и анальцином. Основная масса обладает гиалоплилитовой, интерсертальной, микролитовой или пилотакситовой структурами. Акцессорные минералы магнетит, ильменит и апатит. Часто наблюдаются миндалины (0,5-5 мм), сложенные халицедоном, карбонатами, хлоритом и анальцим. Андезито-базальты и трахиандезиты петрографически практически неотличимы от андезитов и устанавливаются по результатам химического анализа (см. табл. I). Глыбы андезитов отличаются пестрой окраской и состоят из переменного количества алевролитсамитовых псевдо-псаммитовых и псевдо-псаммитовых обломков, представленных андезитами, плагиоклазами, вулканическим стеклом среднего состава, редко биотитом, хлоритом, мусковитом, алевролитами, песчаниками, кремнистыми породами и кварцем, сцепментированными тонкостальми (0,1-0,5 мм) плагиоклаза № 45-50 выполнены стеклом или

пелевыми перекристаллизованными частицами. Углистые аргиллиты, слагающие маломощные (до 5 см) линзы среди песчаников, установлены лишь в горных выработках по левобережью р. Тухала. Видимая мощность свиты более 600 м. В песчаниках на левобережье р. Тормасу близи устья р. Томчи собраны /27, ЗЗ/: Taxodium dubium (Sternb.) Neer, Metasequoia disticha (Neer) Miki., Trochodendroides cf. arctica (Neer) Berry и др., характерные для датского и палеоценового ярусов. М.М. Кошман, производившая определения, учитывая отсутствие в этих сбоях сержковидных расщепов *Alnus*, *Betula*, характерных для третичных флор, считает возраст вышележащих отложений датским.

#### ПАЛЕОГЕНОВАЯ СИСТЕМА

##### Ф о ч е н

К у з н е ц о в с к а я с в и т а ( $P_{2} f_{2}$ ) распространена на западе района в бассейнах рек Аюй, Караганга, Ута, Соили и представлена андезитами, их туфами, андезито-базальтами. В центре свиты имеет слабо наклонное ( $5-15^{\circ}$ , на левобережье р. Аюй – до  $30-40^{\circ}$ ) залегание, обусловленное извилинием лав на поникающейся в сторону долины р. Аюй поверхность палеорельефа. Контакты же с подстилающими образованиями в большинстве случаев осложнены разрывами или занечены эрозионными интрузиями.

Андезиты, составляющие основной объем свиты, по химическому составу в одних случаях (см. табл. I) близки к средним андезитам по Р.Дэли, в других – приближаются к трахиандезитам и представляют собой массивные, реже флюидальные породы, отличающиеся от андезитов верхнего мела зеленовато-серыми или красновато-коричневыми оттенками цвета и наличием вкрашенников приоксена. Глыбы андезитов псаммитовые или псевдо- псаммитовые с переменным количеством обломков андезитов, плагиоклазов, приоксено и стекла слагают прослеживающиеся на несколько километров и имеющие мощность до 100 м залежи преимущественно в средней части свиты. Наиболее широко они распространены на левом берегу р. Аюй, в истоках рек Бурга и Ута. Андезито-базальты наблюдаются в виде мощных (до 50 м) горизонтов, непосредственно подстилающих залежи туфов, и непротяженных линз, встречающихся преимущественно в низах разреза. Это темно-серые миндалекаменные породы с интерсертальной структурой. Промежутки между лейстами (0,1-0,5 мм) выполнены стеклом или

продуктами его девитрификации - хлоритом, эпидотом, карбонатом, лейкоксеноем с рассеянной рудной пылью. Отмечаются единичные зерна пироксена. Минералы представлены кальцитом, эпидотом, хлоритом или халцедоном. По химическому составу андезито-базальты отличаются пониженным содержанием натрия.

Максимальная мощность свиты 400-500 м. Заданный возраст ее определяется радиологическими данными (табл.2).

### Олигопен

**Бирофельдская свита** ( $P_3 f_4 f$ ) подстилает базальты кизинской свиты на склонах водораздела рек Сооли, Якчи и Тормасу. Это монотонные отложения без выраженных прослоев. Галька (60-70% объема отложений) и редкие валуны размером до 40 см образованы практически всеми более древними породами, встречающимися в районе, и имеют хорошую окатанность. Суглинки и слепечаный заполнитель отличается характерным светло-желтовато-серым цветом. Мощность отложений не превышает 80 м. Возраст отложений принимается олигопеновым (?) в связи с тем, что они залегают на пенепенизированной поверхности и перекрываются базальтами кизинской свиты.

### Нижненовая система

#### Миоцен

**Кизинская свита** ( $N_1 f_2$ ) представлена покровами базальтов, широко распространенными в западной части территории листа. На незначительной площади они сохранились также в бассейнах верхних течений рек Амий и Прав. Поди. В междуручьях Сооли - Тормасу - Ута и Амий - Манома покровы, занимают в целом наиболее высокие гипсометрические уровни, залегают субгоризонтально или слабо наклонены (до 5°) на северо-запад. В бассейнах рек Моди и Караганта, изливаясь в условиях расщлененного рельефа, базальты наблюдаются на бортах долин водотоков.

Базальты представляют собой темно-серые массивные или полистые (в кровле потоков) породы с микротрещиновой интрасертальной структурой, состоящие из андезин-лабрадора (50-55%), оливина (5-20%), моноклинного, редко ромбического пироксена (20-30%), частично замещенного по трещинам идигритом и гидроокислами железа, девитрифицированного хлоритизированного стекла (до 5-10%),

Таблица 2

Результаты определения радиологического возраста пород

Номер пробы		Место взятия пробы	Геологический возраст	Порода	Возраст, млн. лет	K, %	$\text{Ar}^{40}, 10^{-9} \text{г}/\text{г}$	$\frac{\text{Ar}^{40}}{\text{K}}$
на карте	исходный	3	4	5	6	7	8	9
I	2							
1	396	Истоки р.Моди	$K_2^{jm}$	Андезит	74	2,01	10,15	0,00415
2	2370	р.Сооли	$P_2^{f_2}$	То же	57	1,96	7,65	0,0032
3	391	р.Бира	$P_2^{f_2}$	"	55	2,60	9,86	0,0031
4	2944	р.Амий	$P_2^{f_2}$	"	43	2,34	6,95	0,00243
5	683	р.Амий	$P_2^{f_2}$	Туф андезита	34	1,82	4,2	0,0018
6	P-643I	р.Поди	$N_1^{f_2}$	Базальт	28	2,50	4,84	0,00159
7	406	р.Амий	$N_1^{f_2}$	То же	18	1,34	1,84	0,001
8	2919	р.Тормасу	$N_1^{f_2}$	"	17	1,00	1,17	0,00096
9	2395	р.Сооли	$N_1^{f_2}$	"	13	1,93	1,64	0,0007
10	I580-I	Верховье р.Тормасу	$N_1^{f_2}$	"	12	1,82	1,4	0,00065
11	2377	р.Яро	$\beta^T_3$	Диабаз	188	1,47	19,7	0,011
12	I509	Верховье р.Тормасу	$\alpha\beta K_1$	Базальт	121	0,56	4,7	0,00695
13	2979	р.Сооли	$\alpha\beta K_1$	Андезит	119	1,11	9,15	0,00677

Продолжение табл.2

I	2	3	4	5	6	7	8	9
14	I077-2	Верховье р.Яро	vK <sub>1</sub>	Габбро То же	I38 I36	1,57 0,72	15,4 6,83	0,008 0,0078
15	P-47	р.Томчи	vK <sub>1</sub>	"	I29	0,94	8,58	0,00745
16	I302	р.Яро	vK <sub>1</sub>	"	I23	0,60	5,15	0,00705
17	C-2	р.Томчи	vK <sub>1</sub>	"	II2	3,63	28,3	0,0064
18	I067	р.Кадаци	I <sub>1</sub> K <sub>1</sub>	Гранит	I03	2,32	16,7	0,0059
19	I779	р.Талюке	I <sub>1</sub> K <sub>1</sub>	То же	98	3,19	22,12	0,00568
20	I90	Богбасинский массив	I <sub>2</sub> K <sub>1</sub>	"	96	2,57	I7,2	0,0055
21	P-3434	Тардоки-Янинский массив	I <sub>2</sub> K <sub>1</sub>	"				
22	I352-I	р.Тухала	δπK <sub>2</sub>	Диоритовый порфирит	81	1,93	10,8	0,0046
23	361	Тухалинский массив	δπK <sub>2</sub>	То же	70	1,93	9,45	0,00401
24	I810	Тухалинский массив	γδK <sub>2</sub>	Гранодиорит	83	2,12	I2,18	0,00472
25	48	Верховье р.Ануй	γδK <sub>2</sub>	То же	78	Св.нет	Св.нет	Св.нет
26	I160	Быстринский массив	γδK <sub>2</sub>	"	74	2,49	I2,72	0,00418
27	I998	Верховье р.Томчи	γδK <sub>2</sub>	"	70	4,50	21,78	0,00397
28	596	р.Ингула	I <sub>1</sub> P <sub>1</sub>	Гранит	81	4,15	23,2	0,0046
29	I110	Быстринский массив	I <sub>1</sub> P <sub>1</sub>	То же	77	3,46	I8,7	0,0044

Продолжение табл.2

I	2	3	4	5	6	7	8	9
30	46	Верховье р.Ануй	I <sub>1</sub> P <sub>1</sub>	Гранит	72	Св.нет	Св.нет	Св.нет
31	2272	Верховье р.Сооли	I <sub>1</sub> P <sub>1</sub>	То же	70	3,93	I9,2	0,004
32	4640	Верховье р.Ануй	I <sub>1</sub> P <sub>1</sub>	"	68,5	Св.нет	Св.нет	Св.нет
33	2428	Богбасинский массив	I <sub>1</sub> P <sub>1</sub>	"	67	2,95	I3,7	0,0038
34	I252	Быстринский массив	I <sub>2</sub> P <sub>1</sub>	"	72	3,68	I8,4	0,0041
35	И-1	р.Сооли	I <sub>2</sub> P <sub>1</sub>	"	63	3,50	I5,2	0,00355
36	P-3638	р.Поди	I <sub>1</sub> P <sub>1</sub>	Гранит-порфир	78	4,35	23,2	0,0044
37	2325	Быстринский массив	δP <sub>1</sub>	Диоритовый порфирит	83	I,10	6,4	0,00475
38	K-838	р.Ануй	βP <sub>2</sub>	Базальт	62	0,86	6,5	0,00347
39	682-2	р.Ануй	τβP <sub>2</sub>	Трахибазальт	56	I,26	5,0	0,00324
40	I65	р.Тормасу	vδP <sub>2</sub>	Габбро-диоритовый порфирит	40	2,09	5,82	0,00227
41	I923 <sup>a</sup>	Тухалинский массив	qδP <sub>2</sub>	Гранодиорит	60	2,83	I1,75	0,0034
42	683	р.Сооли	qδπP <sub>2</sub>	Кварцевый диоритовый порфирит	58	2,71	I4,7	0,00445
43	2296-I	р.Ануй	qδP <sub>2</sub>	Кварцевый диорит	51	0,63	2,25	0,0029

Продолжение табл.2

I	2	3	4	5	6	7	8	9
44	870	р.Тормасу	qEP <sub>2</sub>	Кварцевый сиенит	39	2,41	6,5	0,00221
45	3453	Истоки р.Бира	λP <sub>2</sub>	Липарит	60	3,15	13,1	0,00342
46	568	р.Тормасу	λP <sub>2</sub>	Трахилипарит	39	3,26	8,52	0,0021
47	1466	р.Тормасу	т-тP <sub>2</sub>	Гранит	65	3,46	16,45	0,0039
48	1478	р.Тормасу	т-тP <sub>2</sub>	То же	60	3,22	13,00	0,0038
49	3199	р.Тормасу	т-тP <sub>2</sub>	"	55	3,86	14,4	0,00306
50	162	р.Тормасу	тP <sub>2</sub>	"	53	3,53	9,83	0,00229

магнетита (до 2-3%) и единичных зерен апатита. Поры в базальтах частично заполнены анальцином или халцедоновидным кварцем. Мощность базальтовых покровов изменяется от 80 до 200 м. Радиогеологический возраст 12-28 млн. лет (см.табл.2), а также (в отлике от скользких по составу базальтов совгаванской свиты) повышенная плотность пород (см.табл.1) и наличие минеральных выполнений пор уверенно указывают на принадлежность их к кизинской свите миоценового возраста.

П л и о ц е н

Приамурская свита ( $N_{24}$ ), представленная глинами, галечниками с валунами, песками, суглинками, гравийниками, установлена в междуречье Ани - Манома на крайнем северо-западе листа. Обобщенный послойный разрез свиты, изученный скважиной в 2,5 км к северу от пос.Зерх. Манома /37/, выглядит следующим образом (сверху вниз):

1. Гравийники с песком . . . . .
  2. Галечники с линзами песчано-глинистого материала . . . . .
  3. Галечники с суглинком . . . . .
  4. Галечники с валунами . . . . .
  5. Галечники мелко- и крупногалечные . . . . .
  6. Глины с примесью песка, гальки и редких валунов . . . . .
  7. Глины . . . . .
  8. Суглинки с редкой галькой . . . . .
  9. Галечники с валунами . . . . .
- Далее перебраны базальты кизинской свиты. Обломочный материал хорошо, реже плохо окатан и состоит из разнообразных пород, встречающихся в районе, в том числе и базальтов кизинской свиты. Глины представлены каолинитом с примесью гидрослюды и реже - монтмориллонитом. Пески полимиттовые и гравийковые. Мощность свиты в пределах территории листа 40-50 м. Плиоценовый возраст отложений определяет содержавшийся в них спорово-пыльцевой комплекс /37/: Betulaceae, Sauria, Carylus, Cerpinus, Tilia, Taxodiaceae, Cupressaceae, Ranunculaceae, Ericaceae, Compositae, Tsuga, Picea, Pinus.

## ЧЕТВЕРТИЧНАЯ СИСТЕМА

### СРЕДНЕЕ ЗВЕНО (Q<sub>III</sub>)

Среднее звено сохранилось в долинах рек Аюй, Тормасу и Сооли, где оно представлено аллювиальными галечниками с валунами, супесью и лиззами суглинков, слагающими аккумулятивный чехол второй надпойменной террасы высотой 15-35 м. Мощность отложений в редких случаях достигает 20-25 м. В долине р. Тормасу в них обнаружен комплекс спор и пыльцы, который отражает расщительность хвойно-широколиственного леса. Присутствие таких растений как *Rhododendron*, *Hippophae*, *Saxifraga*, *Quercus dentata*, *Betula oldosiana* позволяет сопоставить его с аналогичным комплексом из отложений, содержащих кости Елки *Elkia tigrofasciata* среднечетвертичного возраста.

### ВЕРХНЕЕ ЗВЕНО (Q<sub>III</sub>)

Верхнее звено представлено двумя генетическими типами образований: аллювиальным и ледниковым. Аллювиальные отложения распространены в долинах крупных водотоков, слагая аккумулятивный чехол первой надпойменной террасы высотой 8-10 м. Представлен аллювий галечниками с валунами, среди которых наблюдаются непротяженные линзы мощностью от 0,1 до 1,5 м суглинков, песков и глины. Максимальная мощность отложений не превышает 10 м. Столово-пильцевые комплексы из этих отложений /28, 33/ отражают расщительность хвойно-берескового леса с участием ольхи и свойственны для периода позднечетвертичного похолода.

Ледниковые отложения - глыбы гранитов, несущие следы ледниковой обработки, щебни и супеси - распространены ограниченно в пределах высокогорного массива Тардки-Яни. Слагают они донную морену и многочисленные конечные и боковые моренные валы. Мощность отложений, судя по высоте моренных холмов и величине русел, превышает 10-15 м. Свежесть ледниковых форм позволяет всем исследователям говорить о позднечетвертичном возрасте горно-долинного оледенения на Северном Сихотэ-Алине. Вместе с тем Г.С.Ганшин /5/, Л.Н.Серебряков /52/ и другие геологи допускают наличие здесь и более древних, среднечетвертичных морен.

### ВЕРХНЕЕ И СОВРЕМЕННОЕ ЗВЕНИЯ (Q<sub>III+IV</sub>)

Верхнее и современное звенья слагают предгорные делювиально-проливальные шлейфы по берегам долин рек Сооли, Тормасу, Поди, Хор, образованные щебнями с отломками и дресвой, супесями, суглинками. Мощность шлейфов достигает 10-15 м. Формирование шлейфов началось в позднечетвертичное время, о чем свидетельствует налегание их на поверхности среднечетвертичных и позднечетвертичных террас, и продолжается в настоящее время, поэтому их возраст принимается позднечетвертичным и современным.

### СОВРЕМЕННОЕ ЗВЕНО (Q<sub>IV</sub>)

Современное звено - это отложения низкой, высокой поймы и русел водотоков, в составе которых преобладают галечники с валунами и гравием, валуники, а в старинных балках низкой поймы отмечаются пески, супеси и илы. В крупных реках окатанность обломочного материала хорошая, а в истоках галечники сменяются щебнем и глыбами, поступающими со склонов. Мощность современного аллювия непостоянна и достигает в некоторых местах 15-20 м. На отдельных же участках реки протекают практически по коренным породам. В отложениях поймы повсеместно содержатся столово-пильцевые комплексы, близкие к современным. Русловые балки формируются и в настоящее время.

Четвертичные рыхлые образования представлены также элювиальными, делювиальными и аллювиально-делювиальными щебнисто-глыбовыми отложениями с суглинковым заполнителем, почти сплошным чехлом покрывающим склоны и водоразделы. Мощность их изменяется от 0,2-0,5 м - на водоразделах до 3-4 м, иногда более метров - в основании склонов. В устьях ложбин широко развиты конусы выноса, сложенные щебнисто-глыбово-суглинистым материалом. Их мощность достигает 10 м.

## ИНТРУЗИВНЫЕ ОБРАЗОВАНИЯ

### РАННЕЛЕДОЗОЙСКИЕ ИНТРУЗИИ

Граниты, гранодиориты гнейсы - в идные ( $γ_{PZ_1}$ ) образуют согласную, падающую в северо-вост-

точном направлении небольшую ( $1,5 \text{ км}^2$ ) интрузию на левом борту долины р.Анды у восточной границы площади листа. Интрузия окаймлена полосчатыми мигматитами, которые постепенно сменяются слоистыми сланцами верхнего протерозоя или нижнего палеозоя.

Породы имеют мелко- или среднезернистую структуру. Им свойственна отчетливо выраженная протомагматическая гнейсовидность, сочетающаяся с интенсивным катаклизом, миллиметровой и бластозом. Граниты состоят из кварца (3%), кислого плагиоклаза (50-55%), мусковитизированного и хлоритизированного биотита (1-10%) и незначительного количества калиевого полевого шпата (3-5%), то есть соответствуют по составу плагиогранитам. В гранодиоритах содержание калиевого полевого шпата (10-15%) и биотита (10-15%) заметно выше. Из акцессорных минералов отмечен лишь апатит.

Граниты и гранодиориты резко отличаются от меловых и палеогеновых гранитоидов Северного Сихотэ-Алдня по преобладанию натрия над калием /39/. В обнажении по р.Анды, близ устья р.Гобили, установлено /39/, что они прорваны массивными среднезернистыми гранитами раннемелового возраста. Радиологические данные для гнейсовых гранитов (443 млн. лет) и гранодиоритов (488 млн. лет) свидетельствуют об их раннепалеозойском возрасте /39/.

## ПОЗДНЕТРИАСОВЫЕ ИНТРУЗИИ

**Субвулканические дайбы ( $\beta' T_3$ ), дайки-диабазы ( $\beta' T_3$ ) локализуются среди верхнетриасовых структурных центров подводного вулканизма.**

Трещинная интрузия с лейкообразными аplitами протягивается с перерывом почти на 40 км от водораздела рек Ячи и Томчи в долину р.Мани, имея тектонический северо-западный контакт и эруптивный юго-восточный. Оба контакта наклонены на юго-восток под углами 55-70°. На глубине, по данным магнитометрических работ /23, 28, 33/, они близки к вертикальным либо круто погружаясь к осевой части интрузии (бассейн р.Яро) или на юго-восток (бассейн рек Томчи и Мани). Силообразная интрузия в верхних языках правых притоков р.Яро, по геофизическим данным /23, 49/, полого погружается в юго-западном и северо-восточном направлениях и имеет мощность около 2,5 км. Шток диабазовплощадью около 0,2 км<sup>2</sup> установлен в междууречье Сичку - Яро. Кроме того, субвуликанические диабазы выделены на правом берегу р.Анды против

устья р.Мани и фиксируется по данным аэромагнитной съемки /23/ под стратифицированными образованиями в верховьях р.Мани к северо-западу и юго-востоку от трещинной интрузии. Диабазы контролируют зоны разломов северо-восточного направления в бассейнах рек Яки, Томчи, Яро. Наиболее крупные из них имеют мощность около 200 м и протяженность 1-1,5 км.

Диабазы представляют собой зеленовато-серые мелкозернистые в центральных и скрытоクリстилические, практически неотличимые от стратифицированных разностей - в эндоконтактовых зонах породы диабазовой структуры, состоящие из альбитизированного и серпентинизированного плагиоклаза (35-40%), моноклинного пироксена (45-50%), магнетита (5-10%), вторичных хлорита и эпидота (0-15%) и редких кристаллов апатита. Характерно появление к кровле интрузий диабазов с миндалекаменными текстурами и порфировыми структурами. Миндалины представлены кальцитом и хлоритом. В эндоконтактовых частях иногда наблюдаются эруптивные брекчи, состоящие из обломков диабазов псевдогипсоватой размерности, спементированных магматическим материалом того же состава. По химическому составу (см.табл. I) породы близки к спилитам.

Тесная ассоциация диабазов с проявлением позднетриасового геосинклинального вулканизма, а также радиологические данные - 188 млн. лет (см.табл.2) позволяют рассматривать их в качестве субвуликанических тел позднетриасового возраста.

## РАЙНЕМОЕВЫЕ ИНТРУЗИИ

**Субвулканические андезито-базальты ( $\alpha' K_1$ ), дайки-базальты ( $\alpha' K_1$ ), андезиты ( $\alpha' K_1$ ), дайки-базальты ( $\alpha' K_1$ ), андезиты ( $\alpha' K_1$ ) размещаются преимущественно в зоне Центрального Сихотэ-Алднского шва, образуя протяженные, вытянутые в северо-восточном и субмеридиональном направлениях кругоподобные (под давлением взрывомагнитных стемок) трещинные тела. Кроме того, интрузии базальтов протяженностью 3 км при ширине до 250 м и несколько даек обнажаются в зонах северо-восточных разломов в верховьях рек Хор и Поди. Контактовые воздействия интрузий выражаются в слабом ороговиковании и окварцевании имеющих отложений. Андезито-базальты, переходящими в базальты, сложены интрузии в верхнем течении р.Тормасу и на правобережье р.Соджи. Это темно-серые, зеленовато-серые породы с гиалопилитовой или**

интересергательной структурами основной массы и вкраплениками (20-25%) плагиоклаза № 55-60, моноклинного и ромбического пироксена, редко оливина размером 0,3-3 мм. Базальты отличаются повышенным содержанием пироксена и наличием миндалин, представленных хлоритом и кремнеземом. Андезиты слагают в основном иллюризии и дайки на левобережье р.Сооли. Порфировые выделения в них представлены андезином № 30-45 и опалитизированной уралитовой роговой обманкой. Основная масса микролитовая. Породы насыщены мелкой силью магнетита и довольно интенсивно изменены вторичными процессами, проявленными в соссюритизации и серилизации плагиоклазов, замещении пироксенов уралитовой роговой обманкой, а вулканического стекла - хлоритом.

Субвуликанические интрузии андезито-базальтов и андезитов ассоциируют с проявлением геосинклинального вулканизма среднего состава в бермас-валанжинское время, метаморфизуются позднемеловыми гранодиоритами и имеют радиологический возраст 119-121 млн. лет (см.табл.2). На основании этих данных их возраст принимается раннемеловым.

Дайки и пироксениты и перидотиты (см.) представляют в районе первую фазу раннемеловых интрузий, выделяемых на Северном Сихотэ-Алине под названием хунгарийской интрузивной серии /II/. Наиболее крупная дайка пирокситов установлена среди верхнепермских (?) отложений на правом берегу долины р.Тормасу. Она четко фиксируется аномальными значениями магнитного поля при наземной магнитометрии /28/, как кругопадающее тело мощностью 150-200 м, протягивающееся в северо-восточном направлении более чем на 2 км. В других местах (водоупады Мань - Джеками, правобережье р.Кадади) дайки пирокситов имеют протяженность не более 1 км при мощности до первых десятков метров. Пирокситы представляют собой крупно-кристаллические породы, состоящие исключительно из моноклинного пироксена, частично замещенного амфиболом.

Перидотиты слагают единственный дайку в верхнем течении р.Синчу среди субвуликанических диабазов по зднего тягаса. Она прослежена в северо-восточном направлении на 1 км и имеет мощность не более 200 м, кругло падая на юго-восток. Перидотиты хорошо сопоставляются с амфиболовыми перидотитами по р.Дэли и состоят из оливина (65%), моноклинного пироксена (10-15%), бальтийской роговой обманки (10-15%), магнетита (10%), представляющей собой мелко- и среднезернистые породы с панициром-зернистой структурой (см.табл.1).

Габбро мелко- и среднезернистые ( $\text{I}_{\text{K}}$ ), дайки габброродиотиты ( $\text{II}_{\text{K}}$ ) отнесены ко второй фазе хунгарийской интрузивной серии. Большинство интрузий представляют собой типично трещинные тела площадью от 0,2 до 5 км<sup>2</sup>, прорванные к зонам разрывов, опирающихся Центрально-Сихотэ-Алинский щов. Группируются они совместно с дайками преимущественно в виде цепочек северо-восточного направления, протягивающихся от р.Сооли в бассейн р.Лев.Талаке и имеет круговые (50-700) северо-западные, редко юго-восточные падения контактов. Ороговикование имеющих отложения отмечается на расстоянии 25-40 м от контактов интрузий и в большинстве случаев маскируется интенсивно проявленным катаклизом. В свою очередь габбро прорываются гранитами последующей фазы. Наиболее мощные (100-200 м) и протяженные (1-1,5 км) дайки закартированы среди субвуликанических диабазов позднего триаса. Большинство же даек имеет мощность от первых до нескольких десятков метров и протяженность в первые сотни метров.

Среди габбро различаются пироксеновые, пироксен-амфиболовые и амфиболовые разности. Это темно-серые или зеленовато-серые мелкозернистые, иногда до среднезернистых породы с габброродиотитовой структурой. Пироксеновые габбро состоят из плагиоклаза (45-50%), авигита (45-50%), ильменита (5-7%) и апатита (до 1-3%). В пироксен-амфиболовых габбро наряду с пироксеном (10-15%) наблюдается периклично-магматическая роговая обманка (30%). В амфиболовых габбро темноцветный минерал представлен исключительно роговой обманкой, содержание которой колеблется от 10 до 85%. Габбро обычно в различной степени катаклизированы, при этом в них нередко появляется метасоматический кварц; пироксен частично замещается амфиболом совместно с хлоритом, по плагиоклазу развивается серпентит, соссюрит и карбонаты. В габбро, находящихся в зоне контактового воздействия палиоценовых интрузий, наблюдается перекристаллизация темноцветных минералов. Химические анализы габбро показывают значительные колебания в составе, что связано с неравномерным распределением породообразующих минералов и интенсивно проявленным катаклизом (см.табл.1). В целом же в петрохимическом отношении они близки к среднему составу габбро хунгарийской серии /44/.

Граниты, гранодиориты биотитовые среднезернистые ( $\text{I}_{\text{K}}$ ), дайки граниты среднезернистые ( $\text{II}_{\text{K}}$ ) отнесены к третьей фазе хунгарийской серии. Ими

сложены Тардоки-Джинский массив, штоки площадью от 0,4 до 9,0 км<sup>2</sup> в междууречье Хор - Калади и на правобережье р. Талыке и цепочки трещинных интрузий, прослеживающихся совместно с габбро предшествующей фазы ячей зон разломов северо-восточного направления. Тардоки-Джинский массив, большей своей частью размешенный за пределами площади листа, представляет собой батолитообразную интрузию. Его контакты полого (20-40°) погружаются в сторону вышедшими отложениями, которые ороговикованы на расстояние до 2 км от контактов. Общее куполовобразное строение массива подчеркивается концентрической ориентировкой трещин отдельности и конфигурацией приуроченной к нему отрицательной аномалии силы тяжести /17/. Штоки, судя по поведению границ в реальном и ореолам контактного метаморфизма, имеют более крутие падения контактов. Контакты трещинных интрузий в большинстве случаев тектонические. В связи с широко проявленным протокаталазом в самих гранитах, катаклазом и рассланцеванием вмещающих отложений ороговикованые породы плохо картируются. Тем не менее, в верховых р. про они отмечаются на расстояниях 200-250 м от контактов трещинных интрузий. Изученные в горных выработках контакты этих интрузий круто (70-85°) падают на северо-запад. Дайки среднезернистых гранитов имеют мощность от 1 до 50 м, длину 500-800 м и группируются преимущественно вблизи трещинных интрузий.

Сложенны интрузии преимущественно среднезернистыми, реже крупнозернистыми или порфироидными биотитовыми гранитами, которые участками сменяются гранодиоритами. В Тардоки-Джинском массиве характерно повсеместное присутствие ксенолитов роговиков, кристаллических сланцев, гнейсов, кварцитов и молочно-белого кварца. В трещинных интрузиях на контактах с габбро отмечаются ксенолиты последних. Граниты и гранодиориты имеют качественно идентичный минеральный состав и глиниоморфозернистую структуру. Состоит они из пластиоклаза № 28-32 (30-40%), калиевого полевого шпата (20-30%) и красно-бурового биотита (5-25%). Аксессорные минералы - циркон, апатит, монацит, ильменит, иногда ортит, турмалин. Характерно присутствие граната и кордиерита. От других гранитов района породы резко отличаются перенасыщенностью глиноzemом (см.табл.1).

Граниты д. в. у. д. н. и. е. м. е. л. к. о. з. е. р. - Н и с т ы е ( $1K_1$ ), д а й к и г р а н и т о в м е л к о - з е р н и с т ы х ( $1K_1$ ) представляют заключительную фазу ран-

немелового интрузивного цикла. Мелкозернистыми гранитами сложена большая часть крупного многофазного Болбасинского массива в междууречье Ануй - Мани и ряд мелких интрузий и даек среди поля ороговикованных пород в восточной эксконконтактовой части этого массива. Выделены они также в составе интрузии среднезернистых гранитов на правобережье р. Талыке и слагают дайку в пределах Тардоки-Джинского массива. Мощность даек 10-20 м, протяженность - до 1-1,5 км. В Болбасинском массиве двуслюдянные граниты имеют матрасевидную отдельность. Пластовые трещины отдаляются (через 0,2-0,5 м) залегают горизонтально или полого (3-10°) наклонены на восток.

Граниты двуслюдянные мелкозернистые представляют собой массивные серые меланократовые породы с глиниоморфозернистой структурой, часто с элементами пойкилитовой и монигритовой. Составляют они из зонального плагиоклаза (30-40%), калиевого полевого шпата (25-30%), кварца (25-35%), биотита характерного оливково-рыжего цвета (7-10%) и мусковита (2-4%). Характерным акцессорным минералом является кордиерит, отмечается также циркон, апатит, ильменит. Наблюдается тенденция к увеличению содержания (до 5%) кордиерита вблизи контактов гранитов с осадочными породами. Другая особенность гранитов - присутствие ксенолитов биотит-кварц-полевошпатовых роговиков, кварцитов, гранат-биотитовых и роговообманковых сланцев, молочно-белого и серого кварца. Как и среднезернистые граниты предшествующей фазы, мелкозернистые граниты отличаются повышенным содержанием глиноэма (см.табл.1), хорошо сопоставляются с гранитами хунгарийской серии /11/.

Принадлежность описанных интрузий и даек, представленных гипербазитами, габбро и гранитами, к хунгарийской интрузивной серии, раннемеловой (готеривский) возраст которой убедительно доказан в других районах Сихотэ-Алиня /9, 11, 44/, устанавливается не только по характерному составу, но и радиологическими определениями возраста пород: 138, 136, 129, 123 млн. лет - для габбро, 112, 103 млн. лет - для среднезернистых и 98, 96 млн. лет - мелкозернистых гранитов (см.табл.2).

#### ПОЗДНЕМЕЛОВЫЕ ИНТРУЗИИ

Г а б б р о м е л к о з е р н и с т ы е ( $1K_2$ ), д а й - к и г а б б р о ( $1K_2$ ) относятся к ранней фазе сектон - палеоценового интрузивного цикла. Интрузии габбро выделяются в со-

ставе двух небольших (2 и 4 км<sup>2</sup>) массивов на левобережье р.Поди и в бассейне р.Тухала, где закартированы и дайки габбро протяженностью 400-800 м и мощностью в первые метры. В обоих массивах габбро интрудированы диоритами или диоритовыми порфиритами последующей фазы. В отличие от раннемеловых интрузий, позднемеловые габбро являются магнитными породами. По данным наземной магнитометрии /28/, интрузия в бассейне р.Тухала имеет круто-падающие юго-восточный и северо-западный и более пологого пограничный под вмещающие отложения южный контакт. Интрузия на левобережье р.Поди располагается в пределах широкой (до 4 км), вытянутой в северо-восточном направлении на 13 км аэромагнитной аномальной зоны, фиксирующей, очевидно, эту интрузию на глубине. Ореолы контактового метаморфизма вокруг массивов имеют ширину около 1 км.

Габбро характеризуются неравномерным "сгустковым" распространением породообразующих минералов, что отразилось на результатах химических анализов пород, в одних случаях близких к среднему габбро балтийского комплекса, в других - к оливиновому габбро по Р.Дэли (см. табл. I). Состоит они из плагиоклаза-лабрадора (30-50%), пироксена-авгита (45%), частично замещенного хлоритом и эпидотом, или роговой обманки (50-70%), а также магнетита (4-7%) и апатита (1-5%).

**С у б у л к а н и ч е с к и е а в т о б р е к и и**  
**а н д е з и т о в (аK<sub>2</sub>)**, **д а й к и а н д е з и т о в (аK<sub>2</sub>)** представлены породами, аналогичными по петрографическому составу эфузивам самаргинской свиты, с которыми они пространственно тесно ассоциируют. Автобеккии андезитов слагают жерновины (от 0,02 до 0,1 км<sup>2</sup>) на левобережье р.Тормасу и водоразделе Тормасу - Джокеми, а также трещинное тело (300 м x 1,4 км) на правом берегу р.Мани. Это породы, состоящие из утюговых и слабо оплавленных обломков (40-50%) андезитов размером 0,5-5 см, спементированных лавой того же состава. Дайки андезитов установлены на водоразделе Аюю - Тормасу и в бассейне р.Джокеми. Они имеют северо-восточное направление, мощность от первых метров до 50 м и протяженность 400-600 м.

**Д и о р и ты, к в а р ц е в ы е д и о р и ты (δK<sub>2</sub>),**  
**д и о р и т о в ы е п о р ф и р и т ы (δptK<sub>2</sub>)**, **д а й к и**  
**с а р т и т о в и к е р с а н т и т о в (xK<sub>2</sub>)** распространены как в виде довольно крутых массивов, так и мелких штокобразных и трещинных тел. Наиболее крупная (около 30 км<sup>2</sup>) ин-

тузия, сложенная диоритовыми порфиритами, закартирована в междуречье Тормасу - Аюю в составе многофазного Тухалинского массива. Южный контакт интрузии круто (75°) падает на юго-восток. В северной части массива кровля интрузии полого (10-15°) погружается в северо-западном направлении, прикаручиваясь к подошве покровов самаргинской свиты. В результате междуастового внедрения лopolitoобразных интекций диоритовых порфиритов в андезиты на правобережье р.Моди образовалась своеобразная колыбельная структура. Ряд мелких (площадью до 8 км<sup>2</sup>) трещинных интрузий и штоков диоритовых порфиритов установлен по левобережью р.Тормасу, в бассейнах рек Тухала и Джокеми. В виде ксенолитов в палеоценовых гранитах ороговикованные диоритовые порфириты сохранились в составе Быструинского массива.

Диориты и кварцевые диориты слагают небольшие штокобразные интрузии (площадью 0,3-0,8 км<sup>2</sup> каждая) в верховых рек Со-оли, Томчи и на левобережье р.Поди.

Прорывая габбро предшествующей фазы, диоритовые порфириты в эндоконтакте имеют зону закалки шириной 1-1,5 см. Габбро же в экзоконтакте освещлены, эпилитизированы и сульфицированы.

Аналогичные изменения габбро наблюдаются и на контакте с диоритами. Кроме того, диоритовые порфириты содержат ксенолиты самаргинских андезитов. В свою очередь диоритовые порфириты и диориты интрудированы гранодиоритами последующей фазы.

Дайки диоритовых порфиритов расположаются преимущественно

вблизи интрузий, приурочиваясь в основном к зонам крупных разломов северо-восточного направления. Сплессартиты слагают дайки

на правом берегу р.Яро и в верховьях р.Поди, а дайки керранитов

выделены в бассейне р.Сиктай. Мощность дайк изменяется от 2-10 до 150 м, длина - от 200 м до 1 км.

Диориты представляют собой темно-серые среднезернистые породы с гипидиоморфозернистой или призматическойзернистой структурой. Состоит они из зонального плагиоклаза № 40-45 (55%), темноцветных минералов (30-35%), представленных чаще всего роговой обманкой и биотитом, реже пироксеном и биотитом, калиевого полевого шпата (5-10%) и кварца (5-7%). В кварцевых диоритах содержание кварца достигает 10-15%. Из акцессорных минералов встречаются апатит, пирокон, ильменит, иногда монацит. Диоритовые порфириты, по минеральному составу не отличаясь от диоритов, имеют мелкозернистую основную массу и 10-15% вкрашенников размером до 3-4 мм. Сплессартиты и керраниты - это мелкокристаллические породы призматическойзернистой структуры, в которых от-

существует калиевый полевой шпат, а темноцветные минералы составляют 35–50%. В спессаритах они представлены исключительно роговой обманкой, а в керсантитах – биотитом и редко пироксеном.

По результатам химического анализа (см. табл. I), диориты и дигоритовые порфириты хорошо сопоставляются со средним диоритом баплинского комплекса /44/.

Гранодиориты, редкограниты ( $\text{K}_2\text{Si}_3\text{O}_8$ ), гранодио- $\text{Ca}_2\text{Si}_2\text{O}_5$ –диориты-порфиры ( $\text{K}_2\text{Si}_3\text{O}_8$ ) слагают большую часть (40 км<sup>2</sup>) Тухалинского массива. Тормасинский массив (13 км<sup>2</sup>), три небольших интрузии (2–3 км<sup>2</sup> каждая) в верховьях рек Томчи, Соили и Аной, а также входят в состав Быстринского и Богословского массивов. В Тухалинском массиве контакт интрузии гранодиоритов с осадочными отложениями, судя по широкому (до 1 км) ореолу роговиковых и даекам наземно, магнитометрии, довольно полого погружаются в сторону земеческих отложений. Результаты магнитометрии позволяют судить о пологом погружении крыши интрузии в верховьях р. Быра на север. Контакт гранодиоритов с диоритами, покрытыми кальцитами, круто падает на северо-запад. Тормасинский массив отчетливо фиксируется по аномальным значениям магнитного поля и имеет круглогладкий восточный и более пологий западный контакты, погружающиеся на северо-запад. В составе Быстринского массива (в его южной части) гранодиориты слагают двухобразной формы тело шириной 0,3–1,2 км, протягивающееся в субширотном направлении на 8 км и подчеркивающее рельефное строение этого массива. Судя по положению гранитов в рельефе, тело имеет круглогладкие контакты с вмещающими отложениями и прорывами его палеоденовыми гранитами. В Быстриńskом массиве гранодиориты наблюдаются также в ксенолитах. В Богословском массиве гранодиориты отмечены лишь в виде двух небольших фрагментов тел на границе раннемеловых и палеоденовых гранитов. Остальные интрузии имеют изометричную или удлиненную в субмеридиональном направлении форму и представляют собой штоки с крутыми периклинальными падениями контактов.

В осадочных городах гранодиориты образуют широкие (до 1–2 км) зоны роговиков, а прорывая андезиты самаргинской свиты ороговиковывают их на ширину до 50–100 м. Диоритовые порфириты и диориты на контакте биотитизированы и включают инъекции гранодиоритов.

Дайки гранодиоритов и гранодиорит-порфириев входят в состав или располагаются вблизи интрузивных массивов. Мощность их варь-

ирует от первых метров до 100 м, протяженность изменяется от 200 до 700 м.

Гранодиориты Тухалинского массива, в зависимости от соотношения темноцветных минералов, представлены роговобманково-биотитовыми или биотит-рогообманковыми среднезернистыми разностями. К периферии массива они приобретают порфировидный облик, а непосредственно в эндоконтактовой зоне иногда переходят в гранодиорит-порфириты. Гранодиориты других массивов представлены одноблазанными среднезернистыми роговобманково-биотитовыми гранодиоритами, а в строении массивов в верховьях рек Томчи, Соили участвуют, кроме того, и рогообманково-биотитовые граниты, являющиеся фациальной разновидностью гранодиоритов. Гранодиориты имеют гиподиоморфозернистую структуру и состоят из плагиоклаза № 20–40 (50–55%), калиевого полевого шпата (5–20%), кварца (15–20%), буро-коричневого биотита (6–12%), бледно-зеленой роговой обманки (5–10%). Аксессорные минералы представлены апатитом, приконом, орбитом, монацитом, сференом, магнетитом, ильменитом. Граниты отличаются большим содержанием кварца (25–30%), калиевого полевого шпата (30–40%) и меньшим – плагиоклаза (20–25%) и темноцветных минералов (до 10%). В гранодиорит-порфирах, при идентичном составе с гранодиоритами, вкрашенники размером 1–7 мм составляют 10–20% (иногда до 45%), а основная масса обладает микропримзматической зернистой, микрографической или сферолитовой структурой. По результатам химического анализа гранодиориты близки к среднему гранодиориту баплинского комплекса, отличающиеся иногда повышенным содержанием щелочей и кремнезема (см. табл. I).

Позднемеловой возраст описанных интрузивных образований, сформировавшихся в гомодромной последовательности от габбро до гранодиоритов, устанавливается не только по сходству с породами баплинского интрузивного комплекса /44/, но и доказывается радиологическими определениями возраста: 70 и 81 млн. лет – для диоритовых порфиритов, 70, 74, 78, 83 млн. лет – для гранодиоритов. Позднемеловой возраст подтверждается также и генетической связью автобреекий андезитов и диоритовых порфиритов с покровами андезитов самаргинской свиты. По возрасту и петрологическим особенностям пород, описанный комплекс близок также к бачеластовой и мяо-чанской интрузивным сериям Сихотэ-Алиня и прилегающих районов /10/.

## ПАЛЕОЦЕНОВЫЕ ИНТРУЗЫ

Граниты биотитовые порфироиды с редкими зернами ( $\text{Г}_1\text{P}_1$ ) слагают основную часть Быстринского массива (140 км<sup>2</sup>), целый ряд интрузий площадью от 0,5 до 12 км<sup>2</sup> в бассейне среднего и верхнего течения р.Анды и в междууречье Сооли - Кадади, а также входят в состав Богбасинского массива.

Быстринский массив в плане имеет округлую форму. С запада он срезан Центральным Сихотэ-Алинским разломом, частично прорвавшимся к которому граниты образуют протяженные апофизы, выходящие на поверхность в виде цепочки небольших изолированных тел. Кровля массива неровная и полого погружается от его центра к периметру в сторону вмещающих отложений, имея более пологие ( $10-15^\circ$ ) южные контакты. В магнитном и гравитационном полях массив не выделяется. Отмечается лишь незначительное понижение напряженности магнитного поля над его центральной частью. Таким образом, можно предположить, что среднезернистые граниты формируют слабо зернизованный лакколит.

В Богбасинском массиве граниты слагают его краевые части, образуя вытянутые в субмеридиональном направлении тела с кругоподобными контактами.

Три сближенные интрузии на левобережье среднего течения р.Анды располагаются в пределах единого широкого ореола контактово-метаморфизованных пород, имеют пологие ( $5-20^\circ$ ) перекличательные падения контактов и, судя по всему, образуют на глубине единий массив площадью до 70 км<sup>2</sup>.

Серия интрузий междууречья Сооли - Кадади выходит на поверхность в пониженных частях рельефа и имеет пологопадающие в сторону вмещающих отложений контакты. По данным гравиметрии /49/, на глубине эти интрузии сливаются в единий массив шириной до 10 км, протягивающийся на 40 км в северо-восточном направлении от р.Сиктай до истоков р.Сооли. Наличие такого массива на глубине подтверждает и широкое развитие здесь в узехах водотоков ороговикованных пород.

В верхнем течении р.Анды интрузия гранитов представляет собой штокобразное тело с крутыми ( $50-60^\circ$ ) северными и более пологими (до  $40^\circ$ ) западными и юго-западными kontaktами.

Прорывая осадочные породы, граниты метаморфизуют их на ширину до 2 км. Андезиты самаргинской свиты на контакте превращаются в биотит-кавар-плагиоклавовые роговики, а гранодиориты позд-

него мела содержат ветвящиеся прожилки гранитов. В свою очередь граниты сами прорваны мелкозернистыми гранитами последующей фазы.

Сложены интрузии однообразными по составу биотитовыми гранитами, имеющими более отчетливо выраженную порфировую гранитовую структуру в кровле массивов, переходя иногда в узкой эндоконтактовой зоне в типичные гранит-порфиры. Составят они из олигоклаза (20-35%), микроперлитового калиевого полевого шпата (40-45%), кварца (30-40%), темно-коричневого биотита (1-3%, редко до 7%) и изредка единичных кристаллов роговой обманки. Аксессорные минералы представлены апатитом, цирконом, орбитом, монацитом, редко бериллом, ксенотитом, торитом, кассiterитом, характерными только для палеоценовых гранитов.

Граниты биотит-порфирь ( $\text{Г}_1\text{P}_1$ ), дайки гранит-порфир ( $\text{Г}_1\text{P}_1$ ), дайки гранит-порфир ( $\text{Г}_1\text{P}_1$ ) представляют вторую fazu палеоценовых интрузий. Наиболее распространены они в пределах Быстринского массива, реже картируются в бассейне р.Сооли, на левобережье р.Тормасу и в верховьях р.Мал.Лоди. Интрузии представляют собой изометрические или удлиненные в плане штокобразные тела площадью от 0,02 до 3 км<sup>2</sup>. Дайки имеют мощность до 2м, протяженность же их меняется от 100 м до 1,8 км. В пределах и вблизи Быстринского массива дайки приурочены к линзовидным разрывам, подчеркивая совместно с интрузиями мелкозернистых гранитов его кольцевое строение. В других частях района они контролируются разрывами преимущественно северо-восточного направления.

По минеральному составу породы полностью идентичны среднезернистым гранитам предшествующей фазы, на контакте с которыми мелкозернистые граниты имеют зоны закалки шириной около 1 см, отличающиеся микрозернистым сложением. В гранит-порфирах выращенники (10-30%) имеют размер 0,8-3 мм, основная масса микрозернистая или сферолитовая.

Дайки микропорфир ( $\text{З}\text{P}_1$ ), дюориты в палеоценовое время, наиболее широко распространены в пределах Быстринского массива и среди вмещающих его отложений. Прорывая стратифицированные образования, дайки имеют преимущественно северо-восточное направление, а внутри Быстринского массива ориентированы чаще всего субпараллельно его kontaktам, подчеркивая совместно с дайками гранитов кольцевое строение

массива. Протяженность даек изменяется от первых сотен метров до 1,3 км, мощность составляет 0,5-2,5 м, иногда достигая нескольких десятков метров. Изученные контакты даек с гранитами имеют крутые ( $55\text{--}85^\circ$ ) углы падения. В эндоконтакте наблюдаются маломощные (до 1 см) зоны закалки, отличающиеся слабой раскристаллизацией.

Микродиориты и диоритовые порфириты состоят из призматических кристаллов плагиоклаза-андезина (60-65%), роговой обманки (15-25%), биотита (10-20%) и ксеноморфного кварца, в зависимости от содержания которого различаются практически бескварцевые (1-3%) и кварцевые (7-10%) разности. Аксессорные минералы представлены ильменитом, магнетитом, апатитом, иногда орбитом, цирконом. Микродиориты имеют микропризматическую структуру, на фоне которой в диоритовых порфиритах выделяются вкрапленники (10-30%) плагиоклаза и роговой обманки размером 2-4 мм. От позднемеловых диоритовых порфиритов породы отличаются отсутствием пироксена и появлением аксессорного орбита.

Среднезернистые и мелкозернистые граниты, представляя единую гомодоренную серию с балтийским комплексом, близки в петрохимическом отношении к гранитам иолийского комплекса, выделенного в Бугу-Коплинском районе Северного Сихотэ-Алиня /44/, где доказан их позднемеловой-раннепалеогеновый возраст (см. табл. I). Хорошо сопоставляются они и с гранитами верхнеудоминской интрузивной серии раннепалеогенового возраста. Эти граниты, как и граниты иолийского комплекса, характеризуются отчетливо выраженной оловянной металлогенической специализацией. Определения радиологического возраста пород показали 81, 77, 72, 70, 68, 67 млн. лет - для гранитов первой фазы; 78, 73, 63 млн. лет - для гранит-порфириев и гранитов второй фазы и 83 млн. лет - для микродиоритов (см. табл. 2). Учитывая, что на сопредельной к вос-току площади листа /12/ этот комплекс прорывает позднемеловые (датские) кислые эфузивы, возраст его принимается палеоценовым.

### ЭОЦЕНОВЫЕ ИНТРУЗИИ

Субвуликанические базальты ( $\text{P}_2$ ), трахибазальты ( $\text{T}_2$ ) установлены на севере района в Межуречье Тормасу - Аюю. Субвуликанические базальты представлены трехцветным телом, приуроченным к контакту берриасских отложений с кузнецкой свитой. По данным наземной магнитометрии и прямым наблюдениям /28/, контакты интрузии полого (40°)

погружаются на северо-запад под покровы свиты. Алевролиты берриаса ороговикованы на расстояние до 3 м от контактов, а эндоконтактные зоны интрузии (ширина до 5 см) сложены автобрееками базальтов. Контакт с кузнецкой свитой представляет собой своеобразную брекчевую зону шириной до 10 м, состоящую из угловатых и полуоплавленных обломков как базальтов, так и вмещающих их андезитов, сцепленных полускристаллизованной лавой базальтового состава.

Базальты представляют собой скрытоクリсталические, реже порфировые породы зелено-серого цвета, обладающие огнестойкой структурой, иногда в сочетании с интэрсертальной. Составят они из лейст лабрадора длиной от 0,1 до 0,5-1,0 мм (60-70%), ксеноморфных зерен авитта (30-35%), часто замещенного хлоритом, и незначительного (до 3%) количества стекла. Редкие миндалины образованы кварцем, кальцитом, эпидотом. По химическому составу породы близки к кварцевым базальтам по Р.Дэли, отличаясь от них повышенной щелочностью (см. табл. I). Повышенное содержание кремнезема связано, вероятно, с присутствием кварца в миндалинах.

Субвуликанические интрузии трахибазальтов представлены несколькими изометричными в плане телами площадью не более 0,1 км<sup>2</sup> каждое, закартированными среди андезитов кузнецкой свиты. Контакт трахибазальтов с андезитами наблюдался в дельвиалиной глыбе, где он выражен в виде четкой прямой линии и подчеркнут упорядоченной, субпараллельной контакту ориентировкой лейст плагиоклаза в трахибазальтах. Характеризуются трахибазальты миндаликом строением и имеют интэрсертальную, иногда в комбинации с толеитовой, структуру. В отличие от базальтов, в трахибазальтах промежутки между лейстами лабрадора выполнены гематитизированным стеклом, нередко с вкраплением микролитов плагиоклаза, пироксена и рудного минерала. Миндалины составляют не более 5% объема породы и представлены хлоритом и кальцитом. По химическому составу породы хорошо сопоставляются со средним составом трахибазальта СССР (см. табл. I).

Габбро - габброродиориты ( $\text{U-UdP}_2$ ), дайки габброродиоритов - диоритов ( $\text{UdP}_2$ ) выделены среди андезитов самаргинской свиты на левобережье среднего течения р. Тормасу. Интрузия габброродиоритов имеет изометричную в плане форму и площадь около 0,05 км<sup>2</sup>. Ширина зоны контактов метаморфизованных андезитов вокруг интрузии не превышает первых десятков метров. По резуль-

татам наземной магнитометрии /28/ можно предположить, что габбро и габбро-диориты слагают штокобразную апофизу довольно крупного массива, не вскрытого эрозией. Габбро представляют собой среднезернистые породы, имеющие близкую к габбровой структуру, и состоят из лабрадора (60-70%) в аплотриоморфных и идиоморфных зернах, хлоритизированной роговой обманки (30-40%), кварца (до 1-2%) и незначительного количества мелкочешуйчатого биотита. Аксессорные минералы: магнетит, сфен, апатит, эпидот. Габбро-диориты, являясь фациальной разновидностью габбро, характеризуются меньшим содержанием роговой обманки (25%) и призматично-зернистой структурой.

Габбро-диоритовые порфиры, отличающиеся от габбро-диоритов лишь порфиритовой структурой, слагают единственную дайку мощностью 20 м и длиной 500-700 м. По химическому составу они занимают промежуточное положение между габбро и диоритами по Р.Дэли (см.табл. I).

**Кварцевые диориты, кварцевые монцодиориты, гранодиориты** ( $\text{q}\delta\text{P}_2$ ), **кварцевые диориты**, **диориты** ( $\text{q}\delta\text{P}_2$ ), **диориты** ( $\text{q}\delta\text{P}_2$ ), **даики диориты** ( $\text{q}\delta\text{P}_2$ ), **диориты** ( $\text{q}\delta\text{P}_2$ ), **диориты** ( $\text{q}\delta\text{P}_2$ ), как и все интрузии эоценового возраста, наиболее широко распространены к западу от Центрального Сихоте-Алинского шва. Выделены они также в Междуречье Мани - Ачной и в урезе р.Канады. Интрузии представляют собой небольшие (от 0,1 до 9 км<sup>2</sup>) изометричные или удлиненные в северо-восточном направлении преимущественно штокобразные тела с крутыми (60-80°) контактами. Ширина зон контакто-измененных осадочных пород достигает 0,5-1 км. Андезиты самаргинской и Кузнецковской свит ороговикованы на ширину 50-100 м. Установлен эруптивный контакт кварцевых диоритов с гранодиоритами позднего мела, которые в экзоконтакте значительно перекристаллизованы /28/.

Большинство интрузий сложено среднезернистыми кварцевыми диоритами или монцо-диоритами (междуречье Мади - Карантага), переходящими к kontaktам в мелкозернистые или порфиритовые разности. Кварцевые диориты обладают призматической зернистостью или гипидиоморфозернистой структурой и состоят из андезина (45-60%), калиевого полевого шпата (5%), биотита (0-15%), кварца (5-10%) и сфеен, циркон, магнетит. Кварцевые монцо-диориты отличаются монцитовой в комбинации с гипидиоморфозернистой структурой и

повышенным содержанием (25-30%) калиевого полевого шпата. Гранодиориты крайне ограниченно распространены и наблюдаются в центральных частях интрузий, образуя фациальную разновидность кварцевых диоритов. Кварцевые диоритовые порфиры, имеющие аналогичный с кварцевыми диоритами состав и отличающиеся порфиритовой структурой при мелкозернистой основной массе, представляют интрузию на правобережье р.Соболи, причем апофизы ее сложены существенно бескварцевыми разностями, идентичными дайкам. Дайки диоритов и диоритовых порфириотов немногочисленны и расположаются вблизи интрузивных массивов. Мощность их изменяется от 1 до 20 м, иногда достигая 70 м, длина редко превышает 500 м. Изученные контакты даек имеют крутые углы (70-80°) падения, а контактные воздействия выражены в слабом ороговиковании пород на ширину 5-10 см.

По химическому составу зеленоватые гранодиориты и кварцевые диоритовые порфиры от соответствующих пород позднего мела отличаются повышенной щелочностью (см.табл. I).

**Кварцевые сиениты** ( $\text{q}\delta\text{P}_2$ ), даики кварцевых сиенитов ( $\text{q}\delta\text{P}_2$ ) закартированы в нижнем течении р.Тормасу. Интрузии представлены тремя телами, имеющими в плане изометричную или удлиненную в северо-восточном направлении форму и площадь не более 0,5 км<sup>2</sup>. Они прорывают отложение свиты Кандахе и андезиты самаргинской свиты, ороговикованная их на ширину в первые десятки метров, и в свою очередь интрудируются зеленоватыми липаритами и гранитами последующих фаз /28/. Дайки имеют мощность до 70 м, протяженность до 1 км и северо-восточное простирание.

Кварцевые сиениты - это светло-серые с зеленоватыми и розоватыми оттенками среднезернистые породы с гипидиоморфозернистой структурой. Состоят они из плагиоклаза № 20-35 (40-50%), калиевого полевого шпата (20-30%), кварца (10-15%), роговой обманки (10-15%), частично или полностью замещенной хлоритом, баститом, лейкоксеном, и единичных зерен магнетита, иногда магнита. По химическому составу, отличается повышенной кислотностью, породы в целом близки к щелочноzemельному роговообманковому сиениту по Р.Дэли (см.табл. I).

Субвуликанические липариты, трапахилипараты ( $\text{q}\delta\text{P}_2$ ), даики липаратов, в центральном течении р.Тормасу, на левобережье нижнего течения р.Ачной и реже в бассейне р.Сооли, расположены либо в пределах свиты

Кандахэ, либо среди эоценовых, реже верхнемеловых андезитов.

Интузии выходят на поверхность в основном в виде вытянутых в северо-восточном направлении кругопадающих трещинных тел с дайкообразными апофизами. В бассейне р.Бира размещение липаритов контролируется дугообразными разрывами, оконтуривающими Тужалинский массив. Площади интузий изменяются от 0,1 до 3,7 км<sup>2</sup>. Дайки имеют мощность от первых метров до 20–30 м и протяженность не более 500–700 м. Интенсивное ороговиковование выемочных пород проявлено лишь в эндоконтактовой зоне шириной до 5 см.

Липариты и трахилипариты – это светло-серые с желтоватыми, розоватыми оттенками порфировые породы, которые в краевых частях интузий часто приобретают флюидальные текстуры и включают мелкие ксеномиты вмещающих пород. Фенограниты (от 5 до 30%) имеют размер 0,3–3 мм и образованы оплавленными зернами кварца, кристаллами плагиоклаза, реже калиевого полевого шпата, иногда мусковита. Основная масса обладает фельзитовой и микросферолитовой структурами. Аксессорные минералы представлены пиритом, пирокном, топазом, редко апатитом. Трахилипариты выделены по результатам химического анализа пород, отличаются от липаритов повышенным содержанием калиевого полевого шпата и меньшим – кварца в порфировых выделениях (см.табл.1).

Граниты лейкократовые мелкозернистые ( $\text{I}_{\text{P}}^{\text{2}}$ ), дайки гранитов ( $\text{I}_{\text{P}}^{\text{2}}$ ) обнаруживаются на левобережье р.Тормасу в виде двух сближенных тел общей площадью около 17 км<sup>2</sup>. Исходя из очертания границ в рельфе, формы тел в плане, а также принимая во внимание широкие (до 700 м) ореолы контактово-метаморфизованных пород, можно заключить, что выходы гранитов являются фрагментами частично вскрытого эрозией единого массива. Наличие такого массива, вытянутого в северо-восточном направлении более чем на 12 км, с корневыми частями, приуроченными к зоне Центрального Сихотэ-Алинского шва, подтверждают и гравиметрические данные /49/.

Сложены интузии равномерно-средизернистыми и сериально-порфировидными гранитами, постепенно переходящими в типичные гранит-порфиры с мелкозернистой основной массой. Порфировидные разности представлены основной объем интузий. Равномерно-зернистые граниты отмечаются в урезах ручьев и рек, а гранит-порфиры приурочены к наиболее высоким гипсометрическим уровням. Породы имеют розовый цвет и обладают гипидиоморфозернистой в сочетании с аматоритоморфозернистой структурами. Состав равномернозернистых гранитов характеризуется преобладанием калиевого

полевого шпата (65–70%) над плагиоклазом (5–10%) и очень низким содержанием биотита (до 1%). Количество кварца не превышает 25–30%. Для порфировидных гранитов и гранит-порфиры типично повышенное содержание кварца (до 40%), находящегося примерно в равных соотношениях с калиевым полевым шпатом (40–50%) при несколько большем количестве плагиоклаза (10–15%) и биотита (до 2%). Аксессорные минералы представлены магнетитом, апатитом, пирокном, эпидотом и сフェном. По химическому составу граниты практически не отличаются от аматоритов и гранитовых аplitов по Р.Дэли (см.табл.1).

Граниты лейкократовые мелкозернистые ( $\text{I}_{\text{P}}^{\text{2}}$ ), дайки гранитов ( $\text{I}_{\text{P}}^{\text{2}}$ ) установлены в краевых частях массива среднезернистых гранитов предшествующей фазы и выделены в составе Тужалинского массива. Интузии имеют изометричную площадь от 0,02 до 1,5 км<sup>2</sup>, а приурочиваясь к kontaktам гранодиоритов последнего мела или эоценовых порфировидных гранитов с покровами самаргинской свиты, удлиненную субпараллельно этим kontaktам форму. Ширина ореолов контактового метаморфизма в андезитах составляет 50–100 м. По настанивались прорывание мелкозернистыми гранитами кварцевых диоритов и порфировидных гранитов предшествующих фаз. Мелкозернистые граниты имеют розовый цвет, аллотриморфозернистую, гипидиоморфозернистую в сочетании с пойкилитовой и микрографическая структуры и по петрохимическим особенностям практически не отличаются от средизернистых порфировидных гранитов (см.табл.1). Дайки таких же мелкозернистых гранитов располагаются преимущественно вблизи интузий, имеют северо-восточное, реже северо-западное направление и крутые (60–80°) углы падения kontaktов. Протяженность их не превышает первых сотен, а мощность – первых метров.

Интузии описанной серии тесно связаны между собой пространственно и, несомненно, генетически; они характеризуются повышенной целочисленностью и в отличие от интузий других комплексов постоянным присутствием таких элементов-примесей как молибден, серебро, золото. Данные калий-аргоновых определений возраста пород следующие: 62 млн. лет – для базальтов, 56 млн. лет – для трахизабазальтов, 40 млн. лет – для габбро-диоритовых порфиров, 51, 58 и 60 млн. лет – соответственно для кварцевых диоритов, кварцевых диоритовых порфиров и гранодиоритов, 39 млн. лет – для кварцевых сиенитов, 39 и 60 млн. лет – для липаритов, 55,

60, 69 млн. лет – для среднезернистых и 53 млн. лет – мелкозернистых гранитов (см.табл.2). Многие характерные для этого комплекса свойства совпадают с диагностическими признаками, установленными Э.П.Изюхом /11/, для пород "прибрежной серии" (повышенная щелочность, преобладание роговой обманки над биотитом в меланократовых породах, развитие эпидота, металлогеническая специализация и др.). Таким образом, анализируя геологические данные с учетом радиологических датировок, возраст описанных интрузий принимается здравым.

#### МЮЦЕНОВЫЕ ИНТРУЗИИ

Субулканские базальты ( $\text{рН}_1$ ), габбро-дolerиты ( $\text{урН}_1$ ), даики и базальты ( $\text{рН}_1$ ) генетически и пространственно тесно связаны с пироксеными кизинской свиты. Интрузивные тела базальтов установлены на правобережье р.Соболи и представляют собой лерновины площадью 0,1–0,3 км<sup>2</sup>, отличающиеся от покровных базальтов лучшей раскаристализацией и наличием в апикальных частях тел пород типа автобреекий, состоящих из сваренных воедино псевдитовых обломков базальтов. Габбро-дolerитами сложены более крупные (0,5–1,4 км<sup>2</sup>) интрузии в верховье р.Бурга. Это темно-серые мелкокристаллические породы габро-официтовой структуры, состоящие из плагиоклаза № 50–55 (50–55%), пироксена-диопсида (30–40%) и биотита (10–15%). Даика базальтов закартирована на водоразделе Сиктай – Кадады и, судя по делювиальным развалам, имеет мощность не более 10 м.

Завершая описание интрузивных образований, следует отметить их геохимическую специализацию, характер рудоносности и контактовых изменений. Субвулканические диабазы позднего триаса характеризуются повышенными концентрациями таких элементов-примесей как цирконий, барий, скандий и фтор. Повышенные содержания ванадия обнаружены в гипербазитах, а бериллия – в габбро-раннего мела. Проявления же указанных элементов в связи с этими интрузиями не отмечены. Раннемеловые высокоглиноземистые граниты известны как вольфрамоносные интрузии. Признаки связи с ними вольфрамовой минерализации установлены по наличию шеелита и вольфрамита в штихах из аллювия водотоков их размывающих, кварцево-жильных вольфрамитоносных и гранат-кварцевых шеелит-содержащих метасоматитов вблизи соответствующих массивов гранитов, а также по повышенным (до 0,008–0,01%) концентрациям

вольфрама в самих гранитах. Кроме вольфрама, в них отмечаются повышенные содержания молибдена. Оловянная, бериллиевая, а также слабая висмутовая минерализация, по геохимическим данным и пространственной прокрученности проявлены, связанные с мессивами сезон – палеоценового интрузивного цикла. Наиболее четко эти связи проявлены с гранитами заключительных фаз (иолитский комплекс). В связи с этим комплексом известна и белая волфрамовая минерализация, установленная по присутствию в редких шлихах вольфрамита и шеелита.

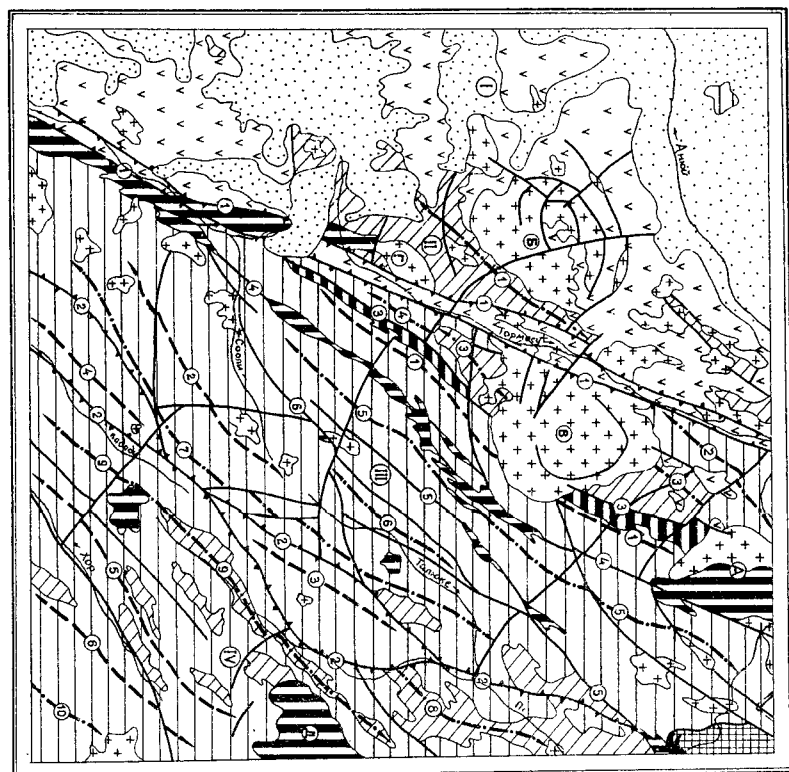
Гидротермальная деятельность выражалась в грейзенизации, метасоматическом и прожилковом окварцевании пород. Интрузии

элементов-примесей серебра и молибдена. В отличие от других комплексов в них практически не отмечается олово. В немалоизмененных кварцевых диоритах и кварцевых диоритовых порфиритах выявлено золото в количествах от 0,001 до 0,6 г/т, что и определяет металлогеническую специализацию этих интрузий. Рудообразование золота выявлено в кварц-турмалиновых, кварц-андезит-альбитовых метасоматитах, в кварцевых жилах и прожилках, а также в окварцованных и альбитизированных диоритах. В связи с миоценовыми интрузиями признаки рудной минерализации не обнаружены.

Состав контактовых роговиков целиком зависит от состава исходных пород и степени их метаморфизма. Так, независимо от состава и возраста интрузий, по алевролитам образуются биотит-кварцевые, кордиерит-биотит-кварцевые и кварц-биотитовые роговики, пестники превращены в биотит-кварцевые роговики, по кремнистым породам образуются микрокварциты, а роговики по эфузи-зовыми, биотит-кварц-плагиоклазовыми, биотит-амфибол-плагиоклазовыми, кварц-диорексен плагиоклазовыми разностями.

#### ТЕКОНИКА

Территория листа М-53-XXX расположена в пределах Центрально-Сихотэ-Алинского антиклинария, Восточно- и Западно-Сихотэ-Алинского синеклиниориев и Западно-Сихотэ-Алинской вулканической зоны /6/. На краине северо-востоке обнажается фрагмент Амурско-го выступа фундамента геосинклинально-складчатой области /39/. Главной разрывной структурой района является Центральный Сихотэ-Алинский разлом (шов), служащий границей между Западно-Сихотэ-Алинским синеклиниорием и Центрально-Сихотэ-Алинским антикли-



**Рис.2. Тектоническая схема территории листа М-53-XXX**

1 – структурно-формационные зоны; I – Западно-Сихотэ-Алинский вулканогенная зона, II – Западно-Сихотэ-Алинский III – Центрально-Сихотэ-Алинский антиклиниорий, IV – Восточно-Сихотэ-Алинский синклиниорий; 2 – Амурский выступ фундамента; 3 – нижний структурный ярус позднепалеозойского геосинклинального структурного яруса; 4 – верхний структурный ярус позднепалеозойского – мезозойского геосинклинального структурного яруса; 5 – мезозой-кайнозойский орогенный структурный этаж; 6 – кайнозойский посторогенный структурный этаж; 7 – раннепалеозойские интрузии Амурского выступа; 8 – позднегриасовые интрузии Дениссионской стадии геосинклинального этапа; 9 – ранненемировые интрузии инверсионной стадии геосинклинального этапа; 10 – поздненемировые, палеоценовые и эоценовые интрузии орогенного этапа; 11 – оси антиклиналей: 1 – Томчи-Маньской, 2 – Соодлинской, 3 – Межгуторной, 4 – Кададской; 5 – Хорской, 6 – Хор-Сагда-Бийской; 12 – оси синклиналей: 1 – Тухаминской, 2 – Джекемской, 3 – Про-Джекемской, 4 – Томчи-Юрской, 5 – Соодлинской, 6 – Талкинской, 7 – Соодли-Полинской, 8 – Полинской, 9 – Кадад-Полинской, 10 – Верхнеандийской; 13 – главнейшие зоны разломов; 14 – прочие зоны разломов; 15 – основные интрузивные массивы: А – Богоявленский, Б – Тухаминский, В – Быстрицкий, Г – Тормасинский, Д – Тардоки-Янинский

норием. Границей же антиклинория и Восточно-Сихотэ-Алинского синклинория служит другая крупная разрывная структура - Кадади-Подинская зона разломов. В зависимости от степени дислокированности в районе выделено четыре структурных этажа, отделенных друг от друга крупными структурными несогласиями (рис.2).

#### АНДИЙСКИЙ ВЫСТАУЛ ФУНДАМЕНТА (?)

Андийский выступ фундамента обнажен в тектоническом блоке и представляет собой купольную структуру, сложенную сплошными сланцами верхнего протерозоя или нижнего палеозоя (?), смытыми исключительно сложные изоклинальные и неправильные мелкие складки. Оси складок примерно параллельны контурам выступа. Сланцеватость в целом параллельна осевым плоскостям складок и падает в западном и юго-восточном направлениях под углами 15-45°, редко до 60°, затушевывая картину сложной складчатости. Наиболее сложные дислокации и наиболее сильный метаморфизм отмечается в Андийской зоне мигматизации /39/, в пределах которой залегает раннепалеозойская гранитная интрузия.

#### ПОЗДНЕПАЛЕОЗОЙСКИЙ - МЕЗОЗОЙСКИЙ ГЕОСИНЛИНАЛЬНЫЙ СТРУКТУРНЫЙ ЭТАЖ

Позднепалеозойский - мезозойский геосинклинальный структурный этаж представляет собой складчато-блоковое сооружение двухъярусного строения. С формированием этажа связаны субвулканические и гипабиссальные интрузии позднего триаса и раннего мела.

#### Нижний структурный ярус

Нижний структурный ярус этажа сложен образованиями верхнепермского (?), верхнетриасового, верхнетриасового - юрского и верхнемелового возраста, являющимися представителями вулканогенно-кремнисто-терригенной формации. В ярусе выделяется ряд структур второго порядка: в Центрально-Сихотэ-Алинском антиклинории - Томчи-Манинская, Соолийская, Междугорная, Кададинская антиклинали и Джокемийская, Томчи-Пронская, Сооли-Андреанская, Таликинская, Сооли-Подинская синклинали; в Восточно-Сихотэ-Алинском синклинории - Кадади-Подинская, Верхнеануйская синклинали и Хорская, Хор-Сагда-Биссинская антиклинали. Это, как правило, горст-антиклинальные или грабен-синклинальные

структуры ширины 4-9 км, протяженностью от 15 до 40, редко 60 км, ориентированные по азимуту 30-50°, осложненные попечеными и продольными разрывами и более мелкой складчатостью. Дюкемийский - Томчи-Яронская синклиналь, непосредственно примыкающие к Центральному Сихотэ-Алинскому шву, представляют собой симметричные структуры с крутыми (50-80°) углами падения крыльев. Осложненные складки имеют ширину от нескольких десятков до 400-700 м, причем наиболее мелкая складчатость наблюдается на крыльях синклиналей, близких ограничивающих их разрывов.

Между Тормасу-Манийской и Сооли-Яронской зонами разломов расположена Томчи-Манийская Горст-антиклиналь, включая в себя Томчи-Манийскую складчатость, испытывает наибольшие воздымания в долинах рек Томчи, Яро и истоках р.Дюкеми. Крылья имеют крутые (60-80°) падения и часто затронуты на северо-запад. Антиклиналь осложнена симметричными и асимметричными, часто изоклинальными складками шириной от первых десятков до 200-300, реже 1000-1500 м и углами падения крыльев от 40 до 85°.

Наиболее протяженной и отчетливо выраженной в районе является Сооли-Андийская синклиналь. Шарнир ее, полого (15-20°) ундулируя от р.Сооли до истоков р.Яро, круто (45-50°) погружается далее на северо-восток, несколько воздымаясь в долине р.Анди, с приближением к Алинскому выступу. Углы падения крыльев крутые - от 60° (редко 45°) до 85°.

Синклиналь асимметрична. Северо-западное крыло имеет ширину 1-3, редко до 4 км и оборвано Сооли-Яронской зоной разлома. Юго-восточное крыло более широкое - до 5-8 км. Осложненная складчатость представлена как прямыми нормальными складками, так и опрокинутыми, как правило, на восток. Протяженность этих складок достигает 5-6 км, а ширина изменяется от первых сотен метров до 1-1,5 км, достигая нередко 3,5 км. Мелкая складчатость более высоких порядков широко проявлена в юго-восточном крыле и на севере структуры.

Юго-восточное крыло Сооли-Андийской синклинали по Сооли-Таликинскому разлому надвинуто на Талкинскую синклиналь, которой полого погружается под зону надвига. Углы падения крыльев синклинали крутые (60-80°), причем северо-западное крыло задпрокинуто. Осложненная складчатость представлена изоклинальными круто запрокинутыми также на северо-запад складками шириной от 20-50 м до 1 км.

**С о о л и с к а я а н т и к л и н а л ь** разрывами

расщеплена на отдельные блоки, представляющие собой горст-антиклинальные и грабен-синклинальные структуры шириной до 2 км и углами падения крыльев от 30-45° до 75-80°. В целом антиклинально-круглое запрокинуто на юго-восток. Северо-западное крыло в бассейне р. Талыке срезано разрывами. Юго-восточное крыло антиклинали является одновременно северо-западным крылом Союз-Подинской синклиналии, также расщепленной разрывами и осложненной мелкими складками шириной до 200-500 м, редко до 1 км, часто изоклинальными с довольно пологими (40-50°) углами падения крыльев, подвернутых вблизи Кадади-Подинской зоны разломов на северо-запад.

**М е ж д у г о р н а я и К а д а д и н с к а я**  
г о р с т - а н т и к л и н а л ь, сложенные верхнепермскими (?) отложениями в зоне Кадади-Подинского разлома, наиболее интенсивно осложнены мелкой складчатостью. Осевые линии этих складок часто ориентированы веерообразно по отношению к оси основных структур. Крылья антиклиналей сжаты в изоклинальные симметричные и асимметричные складки шириной менее 200 м и с углами падения от 50 до 80°.

В Восточно-Сихотэ-Алинском синклиниории вдоль Кадади-Подинской зоны разломов прослеживается К а д а д и - П о д и н - с к а я с и н к л и н а л ь, на большем своем протяжении являющаяся грабен-синклиналью. Шарнир ее очень полого погружается в северо-восточном направлении и в северной части почти горизонтален. Северо-западное крыло синклиналии запрокинуто на юго-восток под углами 50-70°. Юго-восточное крыло имеет более пологие (40-60°) нормальные углы падения. Осложнение синклиналью складки имеют протяженность до 8 км и ширину около 1,5-2 км. Оси их ориентированы субпараллельно оси основной структуры, лишь вблизи Тардоки-Лининского массива несколько изгибаются подчиняются ориентировке его контактов. В синклинальных изгибах щита и юго-восточного крыла синклиналии с неизначительным угловым несогласием залегает верхний структурный ярус.

**Юго-восточное крыло Кадади-Подинской синклиналии** частично является северо-западным крылом Х о р с к о й а н т и к - л и н и к а л ь. Шарнир антиклиналии, резко ундулируя, имеет наибольшее воздымание в истоках р. Лев.Поди и в нижнем течении р.Хор, где образовались куполообразные складки. На фоне общей антиклинальной структуры наблюдается ряд часто опрокинутых изоклинальных веерообразных синклинальных и антиклинальных скла-

дов шириной от 200 м до 1-1,5 км. Углы падения их крыльев меняются от 45 до 70°. В наиболее глубоких синклинальных изгибах с угловым несогласием на антиклиналь налегают образования верхнего яруса.

Хорская антиклиналь по разрыву, проходящему по длине р.Хор, граничит с Х о р - С а г д ы - Б и а с и н с к о й а н - т и к л и н а л ь ю. Шарнир этой структуры испытывает наибольшее воздымание в истоках р.Хор. В местах наибольшего погружения шарнира наблюдается вытравка складки на 2-3 более мелкие. Оба крыла антиклинали кругло (50-70°) падают на северо-запад. Осложненные антиклиналь складки имеют ширину от 100-150 до 700-800 м, они часто запрокинуты.

В В е р х н е а м ю с к о й с и н к л и н а л ь шарнир полого воздымается с приближением к интрузии гранитов. Сама структура имеет более круглое (70-80°) северо-западное крыло. Юго-восточное же крыло в значительной степени осложнено мелкими складками с углами падения от 40 до 75°.

#### Верхний структурный ярус

Верхний структурный ярус представлен терригенной и вулканогенно-терригенной формацией береслава и валакшина. С угловым несогласием залегая на нижнем ярусе, верхний ярус также сжат в складки, но с более пологими углами падения крыльев. В нем виделены Яро-Джокемийская, Тухалинская, Подинская и ряд других более мелких синклиналей.

Я р о - Д ж о к е м и й с к а я с и н к л и н а л ь представляет собой наложенную структуру в зоне Центрально-Сихотэ-Алинского антиклинария, приурочивающуюся к осевой линии Томчи-Яронской синклиналии нижнего яруса. Шарнир синклиналии погружается в северо-восточном направлении и, слабо ундулируя, имеет наибольшее воздымание в северной экзоконтактовой зоне Быстро-скогого массива. В междууречье Яро - Тормасу юго-восточное крыло синклиналии имеет ширину 1-2 км и углы падения 20-35°. Северо-западное же крыло осложнено куполовидными складками шириной до 0,7 км и имеет более круглые (30-55°) углы падения, которые в мелких складках достигают иногда 70°. В междууречье Джокеми - Мани, напротив, мелкими складками осложнено юго-восточное крыло, а северо-западное - полностью срезано разрывами.

Т у х а л и н с к а я с и н к л и н а л ь - элемент Западно-Сихотэ-Алинского синклиниория. Шарнир синклиналии, зна-

чительно ундулируя, имеет наибольшее воздымание к северу от долины р. Тухама и плавно погружается в северо-восточном и юго-западном направлениях, испытывая, очевидно, наибольшие погружения под покровами эфузивов. Крылья синклинали осложнены серией мелких антиклинальных складок шириной от 0,7-1 км в северо-западном и до 3 км в юго-восточном крыльях, а также мелкими складками более высоких порядков. Углы падения крыльев варьируют от 30 до 60°, достигая иногда 75°.

В Восточно-Сихотэ-Алинском синклинарии наиболее крупной структурой верхнего структурного яруса является Подинская антиклиналь с почти горизонтальным шарниром. Ширина структуры изменяется от 1 до 3 км за счет осложнений ее мелкими складками шириной не более 500 м. Углы падения складок на крыльях не превышают 30-50°. Синклиналь вкладывается в ядро синклинальной структуры нижнего яруса, имеющей крутые (до 70°) углы падения крыльев. Аналогичное строение и структурное положение имеют и другие более мелкие синклинали верхнего яруса.

#### МЕЗОЗОЙ-КАЙНОЗОЙСКИЙ ОРОГЕННЫЙ СТРУКТУРНЫЙ ЭТАЖ

Мезозой-кайновый орогенный структурный этаж представлен верхнемеловыми и зоценовыми покровами эфузивов, а также датскими континентальными образованиями свиты Кандахэ, залегающими на размытой поверхности более древних образований и слабо подвергнутыми пликативным деформациям. В строении этажа участвуют также позднемеловые, палеоценовые и зоценовые интрузии.

Свита Кандахэ, благодаря положению в зоне Центрального Сихотэ-Алинского шва, подверглась более значительным в сравнении с другими образованиями этажа пликативным деформациям, слагаясь так называемую Тормасу-Грабен-Сихотэ-Алинскую. Структура имеет ширину 2-4 км и прослеживается через весь лист по бортам рек Тормасу и Сооли. Породы сложены в пологие складки шириной 0,8-1,5 км с углами падения от 0 до 40°, а вблизи разрывов нередко до 65°, иногда даже до 90°. Покровы верхнемеловых андезитов залегают субгоризонтально.

Складчатые деформации наблюдаются лишь вблизи разрывов, где углы падения потоков достигают 30°. Зоценовые покровы в целом полого наклонены в северо-западном направлении, причем с приближением к долине р. Аной углы наклона увеличиваются до 30-40°, что предопределено, очевидно, характером дловулканического рельфа.

#### КАЙНОЗОЙСКИЙ ПОСТОРОГЕННЫЙ СТРУКТУРНЫЙ ЭТАЖ

Кайнозойский посторогенный структурный этаж представлен практически не дисторцированными миоценовыми базальтами, олигоценовыми (?), глиоценовыми и четвертичными рыхлыми отложениями. Залегают они в основном субгоризонтально. Отмечается и наклонное залегание пластов, обусловленное неровностями палеорельефа.

#### Разрывные нарушения

Разрывные нарушения проявлены в районе очень широко. Главнейшей разрывной структурой является Центральная зона Сихотэ-Алинской структуры Ктузы и Шоба, выделенный Н.А. Белиевским /2/. Шов четко проявлен в виде двух (главных) субпараллельных разломов, прослеживающихся по обеим бортам долин рек Тормасу и Сооли. В зонах разломов тектонические глины и миониты мощностью 12-20 м сопровождаются мощными (200-500 м) зонами брекчированных и катагенезированных пород. Падение северо-западного из разломов вертикальное или кроткое (75°) на юго-восток, юго-западного - кроткое (70°) на северо-запад. Главные разломы сопровождаются серией ветвящихся разрывов различной протяженности. Совместно они составляют единую зону Центрального Сихотэ-Алинского шва шириной до 5-7 км. Морфологически шов представляет собой левосторонний сдвиг с амплитудой смещения от 120-140 до 200 км /7, 8/, превышающую 3 км.

К Центральному Сихотэ-Алинскому шву под острым углом подходит серия крутых складчатых разрывов северо-восточного направления. Они часто группируются в зоны сближенных разломов с интенсивно проявленными по ним лимонитизацией, катаклазом, рассланцеванием, будинажем пород, а нередко и интрузивным матризмом. Наиболее крупные из этих разрывов заложились в связи с подвижками по Центральному шву и в связи с левосторонними сдвиговыми движениями по нему представляли собой, очевидно, пологопадающие на северо-запад наивысши. При последующих дислокациях большинство плоскостей нарушений было переориентировано более круто или даже повернуто на юго-восток. Эти разрывы интерпретируются как сбросы или взбросы.

Среди разрывов северо-восточного направления наиболее крупной после Центрального Сихотэ-Алинского шва является Кадаинско-Подинская зона разломов. Она

представляет собой серию сближенных как кругопадающих (более  $70^{\circ}$ ), так и пологих ( $35-50^{\circ}$ ) погружающихся на северо-запад разломов, между глыбами из которых на поверхность выведены линейные блоки верхнепермских (?) образований. Общая ширина зоны изменяется от 3 до 6 км, сужаясь в нижнем течении р.Поли до нескольких сотен метров. Отдельные разломы в составе зоны представлены глинами тракки мощностью до 3 м и сопровождаются мощно брекчированными породами. Суммарная амплитуда вертикальных перемещений достигает 5-6 км.

От устья р.Акчи в бассейн р.Мами прослеживается Тор-Масу-Маниский разлом, который в позднем триасе контролировал излияния лав основного состава. Этот разлом круто ( $60-70^{\circ}$ ) падает на юго-восток, представив собой взброс с поднятием юго-восточным крылом и амплитудой перемещения 1500-1600 м.

Система сближенных разрывов, названная Соли-Яринской зоной, прослеживается от р.Мигула к долине р.Анды. Ширина ее варьирует от 1 до 3,5 км. К зоне приурочены трещинные интрузии раннекемового возраста, внедрение которых происходило одновременно с основными подвижками. Зона представлена интенсивно рассланцованными, катаклизированными, миллиметризованными породами и тектоническими брекчиями. Падение Яриновых, как правило, круто ( $70-80^{\circ}$ ) на северо-запад. Смещение по основному разрыву, залеченному интрузиями, достигает 1000 и более метров. По морфологии это взброс с поднятием северо-западным крылом. Подобная же зона — Томчи-Анды — склон — прослеживается от верхнего течения р.Томчи до р.Нал.Поли, где она сопрягается с Каади-Подинской зоной разлома.

От р.Соболи через верховье р.Томчи и далее по левому борту р.Салык более чем на 40 км прослеживается Соли-Тавильская зона разломов, установлен по мощным (до 80 м) зонам брекчирезаных, проскартированных лимонитизированных пород, лежащих на северо-запад под углами  $40-50^{\circ}$ . Грубообломочные породы горючинской тесьи по разрыву надвинуты на более молодые образования. Амплитуда смещения составляет около 3 км.

Кроме описанных, закартирован еще целый ряд более мелких разломов северо-восточного направления, в большинстве своем являющихся сплошными Центрального шва и других крупных тектонических зон. Это скоскладчатые или проявившиеся в связи с более

поздней магматической деятельностью разломы, представляющие собой взбросы, реже сбросы с амплитудами перемещений от нескольких десятков до первых сотен метров. В северо-западной части района они представляют единую тектонически ослабленную зону, которой и приурочены суббулкнические интурумы зоценового возраста.

В связи с становлением интурумных массивов орогенного этапа заложились дугобразные разрывы, наиболее широко распространенные в пределах, реже волни, Тужалинского и Быстринского массивов.

В Тужалинском массиве дугобразные разрывы подчеркивают колышевое строение вулкано-плутонической постройки в верховье р.Мади. Плоскости смещителей разломов падают к центру колышевой структуры под углами  $50-65^{\circ}$ . Амплитуда смещения по большинству разломов не превышает первых сотен метров, а по разлому, ограничивающему массив с севера и запада, она достигает 1 км.

В пределах Быстринского массива дугобразные разломы расположены субпараллельно его границам. Они представляют собой зоны сближенных трещин с приуроченными к ним дайками. Плоскости смещителей разрывов имеют крутые ( $70-75^{\circ}$ ) падения к центру массива. Амплитуды вертикальных перемещений их не превышают 100 м, причем ступенчато друг относительно друга приподняты крылья, расположенные ближе к периферии массива. Аналогичный по морфологии дугобразный сброс ограничен в целом полем ороговиковых пород в южной и юго-восточной экзоконтактовой зоне массива. Амплитуда смещения по сбросу в триасовых отложениях составила 1700-1800 м, а в берриасском ярусе — 400-500 м.

Ряд субширотных разрывов закартирован преимущественно в южной половине территории листа. Наиболее протяженный из них полутора, радиус которого начинается в районе Быстринского массива, прослеживается от р.Сичку до долины р.Поли, соединяясь с Каади-Подинской зоной разлома. Эти разрывы имеют крутые углы падения. Амплитуды смещения по ним варьируют от нескольких десятков до первых сотен метров. Все субширотные разрывы виделены на основании ленифирозации аэрофотоматериалов, устанавливается по смещению геологических границ, а некоторые из них сопровождаются гидротермально-измененными породами.

Разрывные нарушения меридионального направления наиболее отчетливо проявились в верховьях рек Соли, Поли, Каади, где они фиксируются зонами дробления, окварцевания, сульфидизации и лимонитизации пород. По характеру перемещения это сдвиги или

бросы. Так, по меридиональному разрыву в истоках рек Йоди и Талике установлены левосторонние сдвиговые пережечения с амплитудой до 3 км. Плоскость смещителя круто погружается на восток. К западу от этого сдвига разломы представляют собой почти вертикально падающие сбросы с поднятыми (на 500–600 м) восточными крыльями.

Разрывные нарушения северо-западного направления по времени заложения являются более поздними. Почти все они выделены при ленифиропании аэрофотоснимков и сопровождаются, как правило, маломощными (до первых метров, редко десятков метров) зонами брекчированных и гипотермально-измененных пород. По морфологии это обычно кругопадающие нарушения типа взбросов или сбросо-сливиков. Два таких разрыва образуют полулути вокруг Богбасинского интрузивного массива. По ним наблюдаются смещения северо-восточных крыльев на северо-запад, причем эти же крылья являются и опущенными. Амплитуды горизонтальных перемещений составляют 350–500 м, а вертикальных – от нескольких десятков до нескольких сотен метров. Горизонтальные смещения с амплитудой до 1,5 км наблюдаются по разрыву, прослеживающемуся от истоков р.Быра через среднее течение р.Тормасу. Значительные переключения установлены также по разрыву, прослеживающемуся по долинам рек Чухала и Яро. Здесь вертикальные амплитуды колеблются от 0,6 до 2 км, а горизонтальные составляют 250–300 м. Среди многочисленных разрывов северо-западного направления в южной и юго-восточной частях разлома можно выделить разрыв, прослеживающийся от долины р.Хор в верховья р.Сорли, горизонтальные перемещения по которому достигают 2 км.

Все крупные разрывные нарушения в районе являются лишь рудоподводящими структурами. Влияние же рудоподавления размешается в оперяющих их мелких разрывах или трещинах различного направления.

#### История геологического развития

Историю геологического развития района можно проследить для конца палеозоя и для мезозоя-кайнозоя, хотя некоторые события восстанавливаются и для эпохи формирования фундамента складчатой области. Формирование фундамента, по-видимому, завершилось в раннем палеозое и сопровождалось метаморфизмом отложений докембрийского возраста. Современное куполообразное строение Амурского выступа, признаки диафтореза в породах /39/, очевид-

но, связаны с угласлеванным развитием палеозойской структуры и в более позднее время.

В позднепермское время в условиях недифференцированного морского бассейна средних глубин при интенсивной консолидационной тектонической деятельности происходило накопление мощных алевритистых, в меньшей мере, песчаных осадков. В более глубоководных условиях формировались кремнистые и кремнистоглинистые илы. Осадконакопление сопровождалось вулканической деятельностью, выразившейся в основном в выбросах больших масс пеплового материала. В результате конседиментационной тектонической деятельности, сопровождавшейся землетрясениями, образовались мощные залежи подводно-оползневых брекций. В раннем триасе геосинклинальный режим, очевидно, был прерван. К началу позднетриасового времени следует отнести заложение в районе Центрального Сихотэ-Алинского шва и Кадаци-Подинского разлома, в зонах которых верхнепермские отложения в виде островных гряд были выведены на поверхность.

В позднем триасе наступил региональное прогибание территории, в результате дифференциации морского бассейна определились три структурно-фаунистические зоны, границами между которыми служили Центральный Сихотэ-Алинский и Кадаци-Подинский разломы.

В Центрально-Сихотэ-Алинской формационной зоне в карнийское и раннекорийское время в условиях глубоководного бассейна, при общем обмелении его, происходило накопление кремнистых, кремнисто-глинистых, а затем алевритистых и песчанистых осадков. В это время наиболее интенсивно проявилась вулканическая деятельность, сопровождавшаяся слабыми землетрясениями. Середина корийского века ознаменовалась трансгрессией моря, которая продолжалась до среднекорийского времени включительно. На фоне общего погружения территории возникали отдельные поднятия, присоединили расколы земной коры, сопровождавшиеся излияниями лав и извержениями масс пеплового материала. Вулканическая деятельность также сопровождалась землетрясениями, но более интенсивными, чем в карнийском веке. Интенсивность землетрясений и связанных с ними обвално-оползневых процессов достигла своего апогея к концу позднего кория. В этот же период более интенсивно проявились подвижки по Центральному Сихотэ-Алинскому шву, возникли новые оперяющие швы разрывы, в зонах которых формировались суббулканические интрузии диабазов. В поздней пре седиментации в Центрально-Сихотэ-Алинской зоне прекратилась, начавшая ее инверсия. Вслед за инверсией в начале берриаса в при-

брежных впадинах создались благоприятные условия для накопления грубообломочных, а затем существенно алевритовых и алевропелитовых осадков.

В Восточно-Сихотэ-Алинской формационной зоне, начиная с позднего триаса, седиментация в отличие от Центральной зоны продолжалась до берриаса включительно. Вплоть до поздней юры здесь существовал глубоководный слабо дифференцированный прорыв, осадконакопление в котором происходило в спокойной тектонической обстановке. Накопление существенно кремнистых и кремнисто-глинистых илов сопровождалось в пределах района слабой вулканической деятельностью. В предиттоонское время вся территория зоны испытала общее воздействие и до берриаса включительно продолжалось накопление существенно алевропелитовых осадков, сопровождавшееся незначительной вулканической деятельностью. На рубеже берриаса и валанжина территория Восточно-Сихотэ-Алинской зоны испытала резкое поднятие, большая ее часть была выведена на поверхность и претерпела некоторые деформации. В результате валанжинской трансгрессии моря в образовавшихся узких прогибах в условиях мелководных бассейнов формировались преимущественно песчанистые осадки.

Для Западно-Сихотэ-Алинской формационной зоны имеются лишь отрывочные данные, которые свидетельствуют о существовании

здесь глубоководного морского бассейна в конце позднего триаса и начале юры. В берриасском веке, очевидно, вслед за инверсией территории снова была покрыта морем. В результате трансгрессии началось накопление грубообломочных отложений, затем существенно злевропелитовых и алевропелитовых осадков. Вновь прошли значительные подвижки по Центральному Сихотэ-Алинскому шву, активизировалась вулканическая деятельность, выразившаяся в излиянии лав среднего состава, извержении пеплового материала и формировании субвулканических интрузий. С валанжинского века началось поднятие этой части района с накоплением песчанистых отложений, закончившееся регрессией морского бассейна.

Полная регрессия моря на всей территории листа наступила в последнаминское время в связи с готеривской фазой складчатости. Готеривскими движениями все осадочные породы были смыты в линейные складки северо-восточного простирания и разбиты многочисленными разрывами. В этот период формировались массивы габбро и высокоглиноземистых гранитов, с которыми связана вольфрамовая минерализация. По-видимому, готеривскими движениями в зоне Калади-Поднижного разлома завершилось "выдавливание" Амурского выступа дугиамента.

В позднем меtu район вступил в орогенный этап развития, ознаменовавшийся излиянием лав среднего состава, а затем формированием довольно крупных интрузивных массивов (Тухалский, Тормасинский) и мелких тел габбро, диоритов и гранодиоритов.

В позднее время в образовавшейся в зоне Центрального Сихотэ-Алинского шва впадине формировались грубообломочные отложения и продолжались извержения лав и пирокластического материала, давшие пластовые залежи андезитов и туфов в свите Кандаха. В позднем палеоцене сформировались самые крупные в районе интрузивные массивы (Бастринский и Багбасинский) и серия небольших интрузий гранитов, с которыми связана оловянная минерализация. В это время завершилось формирование основных складчатых структур, обновились старые и возникли новые, в том числе широтные и северо-западные разрывы. Вновь произошли подвижки по Центральному Сихотэ-Алинскому шву, дислоцировавшие свиту Кандаха. Эоценовый период ознаменовался проявлением магматической деятельности преимущественно на западе района. В результате здесь сформировались покровы андезитов и многочисленные субвулканические и гипабиссальные интрузии основного, среднего, субшелочного и кислого составов, обновились большинство разрывных нарушений. С этим этапом магматической активности связывается золотая минерализация.

К концу палеогена возникшие горные сооружения были значительно снивелированы. С последними вспышками вулканизма, давшими в миоцене обширные поля базальтов, район вступил в посторогенный этап развития. В это же время, очевидно, произошли и последние значительные подвижки по разломам. Последовавшее с лиценча сводовое поднятие привело к резкому усилению эрозии, денудации и созданию современного рельефа.

## ГЕОМОРФОЛОГИЯ

Рельеф района преимущественно среднегорный и лишь в северо-западной части низкогорный. В связи с неоднородностью субстрата, морфологические типы рельефа отличаются значительным разнообразием.

На крупных по площади интузивных массивах сложились массивные с уплощенным вершинами и выпуклыми склонами горные сооружения, расположенные относительно редкой сетью водотоков. При этом самые высокие, с абсолютными отметками 1300-1700 м, горные вершины с осыпями возникли в пределах Тардоки-Янинского

массива. На участках, сложенных осадочными породами и верхнеловыми андезитами, абсолютные отметки обычно не превышают 900–1100 м. На легко разрушающихся в мелкий щебень алевролитах речная сеть наиболее густая, склоны значительной крутизны (25–40°). Водораздельные пространства, сложенные песчаниками, обычно более широкие, заметно уплощенные. Наиболее простыми, стяжанными формами рельефа отличаются вулканические постройки эоценовых андезитов и миоценовых базальтов. Абсолютные отметки здесь редко превышают 600–700 м.

В зависимости от рельефообразующих процессов выделяются денудационно-эрозионные (наклон 6–40°), денудационные (0–6°), вулканические, ледниковые и аккумулятивные формы поверхности.

Денудационно-эрозионные (25–40°) почвенно-растительные процессы распространены преимущественно в восточной части района. Образуют они, как правило, нижние и частично средние части склонов. Основную роль в формировании крутых склонов сыграли процессы глубинной эрозии. Денудационно-эрозионные поверхности средней крутизны (15–25°) наиболее распространены в бассейнах рек Тормасу и Сооли. Наряду с эрозией в их формировании важную роль играет процесс медленного сползания материала под действием гравитационных сил. Скальные выходы пород и глыбовые остатки здесь встречаются значительно реже. Полосы (6–15°) эрозионно-денудационные поверхности имеют общий район распространения с поверхностью средней крутизны, образуя в основном приводораздельные части горных сооружений и, в меньшей мере, нижние части склонов вдоль бортов долин крупных водотоков. Главная роль в образовании этих поверхностей принадлежит плоскостному смызу. Денудационные почвы (0–6°) наблюдаются преимущественно вдоль бортов долин рек Тормасу, Сооли, реке Моди и Карагана. Главная роль в их формировании принадлежит плоскостному смызу. Отличаются денудационные поверхности замедленным удалением продуктов выветривания.

На базальтовых покровах, бронирующих поверхности доминантового пeneplена, сохранился в Улканогенном платообразный рельеф. Общий уклон когда-то единого базальтового плато на северо-запад подчеркивается уменьшением абсолютных отметок подошвы покровов с 550 м в бассейне р. Сооли до 150 м в бассейне р. Амтия.

Ледниковые почвенно-растительные процессы развиты в проторых долинах ручьев, размывающих Тардоки-Янинский интрузив-

ный массив, и представлены позднечетвертичными моренами. Наиболее крутые из них имеют протяженность около 2 км. В составе морен выделяются донные, боковые и конечные морены. Поверхности холмисто-грядовым микрорельефом. Высота отдельных холмов достигает 15 м.

Акумулятивные поверхности включают комплекс разновозрастных речных террас: олигоценовых (?) высотой 150–200 м, среднечетвертичных высотой 15–35 м, позднечетвертичных высотой 8–10 м. К этому генетическому типу поверхности принадлежат высокая и низкая поймы современных водотоков, а также плиоценовая поверхность, сформированная на аллювиально-озерных отложениях примурской свиты. Как правило, аккумулятивные поверхности слабо наклонены в сторону русел водотоков и ограничены хорошо выраженным уступами. Тыловые склоны среднечетвертичных террас местами перекрыты делювиально-троловыми плеяфами, иногда спускающимися непосредственно в пойму. Поверхности плеяфов наклонены под углом до 15°. В бассейне р. Поди делювиально-троловые отложения выполняют также эрозионные котловинообразные понижения.

#### История формирования рельефа

Формирование рельефа района началось с позднего мела, когда территория была выведена из-под уровня моря. Теплый и влажный климат способствовал энергичному выветриванию и образованию древних поверхностей выравнивания. К концу палеогена территория была пeneplенизована. Начал формироваться горный рельеф. В олигоцене заложилась основа современной гидросети. Со второй половины неогена происходит воздымание территории. Оживившиеся при этом процессы эрозии и денудации привели к интенсивному расчленению района, выносу и накоплению обломочного материала в окраинных частях Средне-Амурской впадины. Очевидно, в этот период произошло окончательное заложение современной гидросети, ориентировка которой во многом определяется тектоническим строением района. В раннечетвертичную эпоху происходило дальнейшее поднятие горной области, что обусловило повсеместное уничтожение выровненных поверхностей. В средне- и позднечетвертичную эпоху рельеф формировался при относительно спокойном тектоническом режиме. Интенсивная донная эрозия сменилась боковой, что привело к образованию поверхностей аллювиальных террас. Клима-

тические условия в позднечетвертичную эпоху характеризовались чередованием периодов потепления и похолодаия, что способствовало возникновению небольших ледников в наиболее возвышенных частях рельефа. В настоящее время район продолжает испытывать поднятие, причем более интенсивное в восточной части территории, о чем свидетельствуют висячие долины ключей и глубокий врез водотоков.

Геоморфологические условия, сложившиеся в долинах рек, особенно благоприятны для формирования россыпей на западе района. Гидросеть в этой части территории заложилась в условиях умеренных тектонических поднятий, вследствие чего долины водотоков имеют хорошо выраженные продольный и поперечный профили и значительную мощность аллювиальных отложений. В частности, по руч. Болотистый можно ожидать россыпное месторождение золота.

## ПОЛЕЗНЫЕ ИСКОПАЕМЫЕ

### МЕТАЛЛИЧЕСКИЕ ИСКОПАЕМЫЕ

#### Ч е р н ы е м е т а л л ы

##### Марганец

На левобережье нижнего течения р. Ингула в кремнистых породах подинской толщи обнаружены гнезда до 15-20 см в поперечнике гидроэзит-псиломелан-родонитовых руд (ГУ-2-7), содержание марганца в которых не превышает 1-3%. Это проявление связано, очевидно, с перестяжением марганца в тектонически ослабленной зоне, рассекающей кремнистые толщи обычно с повышенной марганцевистостью и относится к малоперспективному типу.

#### Ц в е т н ы е м е т а л л ы

##### Свинец

Небольшие по площади (6-8 км<sup>2</sup>) геохимические ореолы свинца в донных осадках гидросети (I-2-3; III-3-3,8,9; ГУ-4-2) с концентрацией металла до 0,003-0,05% тяготеют в основном к оловоносным или вольфрамоносным узлам. При изучении последних установлено, что свинец в большинстве случаев проявляется в завершающие стадии гидротермального процесса. Присутствует он в виде галенита в кварцевых и кварц-карбонатных прожилках на периферии минералов.

лизованных зон и из-за низких концентраций (первые десятие доли процента) самостоятельного значения не имеет.

##### Цинк

Повышенные концентрации цинка (до 0,04%) довольно часто наблюдаются в донных осадках гидросети (I-2-1; III-2-1; III-3-5; ГУ-Г-1,2) и приурочиваются обычно к передгорным частям рудноносных (олово, вольфрам, золото) узлов, иногда подчеркивая зональное строение металлогенических зон. В минерализованных породах присутствует обычно железистый сфалерит. Максимальное содержание цинка (0,6%) выявлено в шеелитоносных гранат-кварцевых мессасматитах на участке Талык (III-4-1). Как и свинец, цинк самостоятельного значения не имеет.

##### Олово

Олово является одним из ведущих полезных искоопаемых района. В пределах 7 шлиховых и 5 геохимических ореолов установлено 17 проявлений и точек минерализации олова. Все проявления с разной степенью детальности изучены лишь с поверхности.

Рудооплавльческая Купурка (I-4-1,2) находится на правобережье р. Ани, в бассейне одинакового ручья. Здесь в ороговикованных, окварцованных и хлоритизированных алевролитах верхнетриасового и верхнегерского - нижнемелового возраста и редко метаморфических породах вскрыты минерализованные зоны трещиноватости северо-восточного направления и штокверки (площадью до 0,2-0,3 км<sup>2</sup>) маломощных (0,5-1 см) мусковит-кварцевых прожилков с арсенопиритом, халькопиритом, пиритом, реже кассiterитом, вольфрамитом и бериллом. Прожилки ориентированы в основном по азимуту 140-160°. Количество их на отдельных участках достигает несколько десятков на один метр. Содержание олова в штуфных пробах обычно не превышает 0,08-0,1%. Кроме олова, минерализованные породы содержат вольфрам (до 0,1%), медь и цинк (0,04-0,06%), мышьяк (0,6%), висмут, бериллий и литий (до 0,04%). Из-за низких содержаний олова рудопроявления самостоятельного значения не имеют. Учитывая же сходство минерализации и геологической обстановки участка с периферическими зонами бериллиевого месторождения Совиное (I-4,5), где грейзены гипсометрически выше сменяются густой сетью мусковит-кварцевых прожилков, участок рассматривается как перспектив-

ный для поисков на глубине месторождения берилля с сопутствующей оловянной и вольфрамовой минерализацией.

Рудопроявления участка Хребето-Выи (Ш-2-3, 4), расположенные в среднем течении р.Сосли, приурочены к северному эндо- и экзоконтакту интрузии палеоно-вых гранитов, прорывающих алевролиты, песчаники, реже кремнистые породы тормасинской толщи. К разрывам северо-западного направления приурочен ряд субпараллельных зон грейзенизации мощностью 0,5-1,6 м, круто ( $50$ - $80^{\circ}$ ) падающих на юго-запад, реже северо-восток. Минерализация представлена рассеянной вкрапленностью халькопирита, пирита, арсенопирита, кассiterита, иногда вольфрамита. Содержание олова составляет 0,2-0,3% на 1 м мощности зоны грейзенов, достигая в отдельных случаях 0,63-1,34%. Вместе с оловом в повышенных концентрациях (0,01-0,05%) присутствуют вольфрам, молибден, висмут, медь, иногда отмечается мышьяк (до 1-3%).

Рудопроявление участка Стречинский (ГУ-2-1, 3) находится юго-восточнее участка Хребтовый в аналогичной с ним геологической обстановке. Мощность отдельных грейзеновых зон здесь колеблется от нескольких сантиметров до 35 м. В северной части интрузии они группируются в полосу субмеридионального направления шириной до 250 м. Протяженность зон не установлена. Содержание олова в грейзенах лишь в единичных пробах достигает 0,2% (в одной зандирковой пробе - 6,98%). Однако находки обломков грейзенов в нижнем течении р.Ингула с повышенным (до 0,1%) содержанием олова (ГУ-2-5) расширяют перспективы участка.

Рудопроявление участка Кадалинское расположено на правобережье одноименной реки. Гидротермальная деятельность проявилась в образовании кварц-мусковитовых и кварцевых жил и прожилков, образующих штокверковое тело площадью около 0,4 км<sup>2</sup> в южной экзоконтактовой зоне интрузии палеогеновых гранитов. Плотность жил и прожилков низкая, однако встречаются интервалы сближенных жил. Простижение их северо-восточное, падение крутое ( $60$ - $80^{\circ}$ ) на северо-запад или юго-восток. Мощность жил 5-15 см, в раздувах достигает 40 см, протяженность - более 100 м. Касситерит, а также вольфрамат фиксируются в жилах визуально. Кроме того, наблюдаются гнейза арсенопирита, халькопирита, пирита. В пересечениях на востоке мощность жилы содержит до 1,27% олова. Содержание вольфрама достигает 0,3%. В таких же концентрациях встречаются свинец и

цинк. В некоторых пересечениях установлен молибденит (содержание молибдена не определялось).

Другие рудопроявления (ГУ-3, 1; Ш-2, 5; Ш-3, 4, 11, 13; Ш-4, 5; ГУ-2, 6; ГУ-4, 1, 3) из-за низких содержаний олова и сопутствующих элементов или из-за небольших параметров рудных тел получили отрицательную оценку с поверхности. Рудную минерализацию несут в основном тонкие (1-2 мм, редко до 5-15 см) кварцевые прожилки, сопровождающиеся слабой хлоритизацией и сульфидизацией имеющихся пород. На участке Адродита (Ш-4, 5) такие прожилки группируются в линзовую зону протяженностью до 900 м и шириной 100-250 м при частоте 4-5 прожилков на один метр. На участке Томчи (Ш-3, 4) помимо окварцевания наблюдается турмалинизация, представленная гнездами и прожилками турмалина мощностью до 1-3 см, иногда зонами кварц-турмалиновых пород мощностью 15-20 см. На участках Березовый (П-3, 1) и Буждания (ГУ-2, 6) оловянную минерализацию несут зоны интенсивно катаклизированных и брекчированых пород. Содержания олова на всех этих проявлениях составляют не более 0,01-0,05% и лишь в единичных штуцерных пробах на участке Длинный (ГУ-4, 1) и в верховых р.Сосли (Ш-3, 13) достигают 0,2-0,5%.

Шлиховые ореолы рассеяния касситерита (Г-4, 8; П-3, 2; Ш-3, 7; Ш-4, 4; ГУ-2, 8; ГУ-3, 2; ГУ-4, 4) занимают около 800 км<sup>2</sup> площади листа. Повышенные концентрации касситерита в шлихах (до 3-4 г/м<sup>3</sup>, редко 30 г/м<sup>3</sup>) отмечаются преимущественно вблизи выявленных рудопроявлений. Вероятность выявления промышленных россыпей очень мала из-за мелких размеров (менее 0,1 мм) зерен касситерита в аллювии.

Металлические ореолы рассеяния олова (Г-4, 6; П-3, 3; Ш-2, 6; Ш-3, 12; Ш-4, 2) с содержанием металла в пробах лонных осадков 0,0005-0,05%, расположены, как правило, в пределах шлиховых ореолов касситерита, сконцентрированных и выявлены описанные выше рудопроявления.

#### Мышьяк

Мышьяк обычно сопровождает вольфрамовую и оловянную минерализацию и установлен в единичных штуцерных пробах на участках Културук, Березовый, Хребтовый, Томчи, Талыке в количестве до 0,3-1%, редко 3%. В верховых р.Анды выявлен металлометрический ореол рассеяния мышьяка (ГУ-4, 2) с содержанием металла в пробах

донах осадков 0,005–0,01%. Из-за низких содержаний и рассеянного характера минерализации мышьяк практического значения не имеет.

## Редкие металлы и рассеянные элементы

### Молибден

На участке Хребтовый в кварцевом прожилке содержится 0,1% молибдена (Ш-3,2). Металлометрические ореолы рассеяния молибдена с повышенными (до 0,002%) содержаниями металла в пробах донных осадков объединяются с металлометрическими ореолами цинка (Ш-2,1), свинца (Ш-3,3) или олова (Ш-3,12). Гидротермально-измененные породы в пределах ореолов содержат до 0,001–0,05% молибдена.

Молибден выступает в роли сопутствующего элемента и самостоятельного значения не имеет.

### Вольфрам

Вольфрам часто ассоциирует с оловом и относится к числу ведущих элементов в районе. Шлиховые ореолы шеелита (I-3,4; I-4,4; IУ-2,8), а также шеелита и вольфрамита (Ш-4,3,6; IУ-3,2; IУ-3,3) приурочены к выходам как палеоденновых, так и раннеполовых гранитов. Наиболее же контрастные ореолы шеелита с содержанием минерала до нескольких граммов на 1 м<sup>3</sup> концентрируются вблизи интрузий раннегранитовых гранитов. Причем в этих случаях касситерит имеет подчиненное значение. Практический интерес представляют ореолы в бассейнах рек Талык (Ш-4,3) и Хор (IУ-3,3). В бассейне р. Талык шлиховой ореол шеелита и вольфрамита сопровождается металлометрическим ореолом (Ш-4,2) олова (0,003–0,006%) и вольфрама (0,01–0,02%). В его пределах выявлены рудообразования вольфрама участка Талык. Ореол в бассейне р.Хор не изучался.

Рулоны в лени участка Талык (П-4,1; Ш-4,1) расположены среди ороговикованных кремнисто-терригенных отложений тормасинской и подинской толп, в различной степени насыщенных пластовыми телами вулканитов основного состава и прорваных током раннегранитовых гранитов, а также многочисленными разновозрастными дайками. Разрывы представлены сбро-

сами северо-западного, северо-восточного и субмеридионального направлений и сопровождаются тектоническими брекчиями и окварцеванием пород. Практически повсеместно в ореолах контактово-согревиковых пород наблюдается метасоматическое окварцевание и рассеянная сульфидизация. Вольфрамовая минерализация приурочена к кварцевым жилам и гранат-кварцевым метасоматитам.

Кварцевые жилы и прожилки с вольфрамитом и шеелитом локализованы в зонах разломов северо-западного направления (П-4,1), вдоль которых они располагаются кулисобразно, простирясь по azimuthу 120–200° и полого (15–50°) погружаясь на запад и юго-запад. Мощность жил 5–20 см, редко достигает 60 см, протяженность не превышает первых десятков метров. Плотность в среднем составляет 2–3 жилы на 5 м. Наблюдаются также зоны тонкотрещинковой минерализации. Вольфрамит сосредоточен в висячем боку жил. Шеелит распространен неравномерно, а крупные его зерна (1–3 мм, редко до 5 мм) располагаются у зальбандов жил. Содержание вольфрама в жилах достигает 0,2%, редко 1–3%. В некоторых жилах наблюдаются оторочки грейзенизированных пород, содержащие до 1% вольфрама, представленного шеелитом.

Гранат-кварцевые метасоматиты обнажаются среди песчаников в виде тела округлой формы около 4 м в поперечнике (Ш-4,1). Контуры тела довольно полого (50°) падают в сторону имеющих отложения. Метасоматиты состоят из розового граната (40%), серого кварца (20%), кальцита (20%), клинопироксена (5–10%), клинохлора (1–2%), эпидота (5–10%) и переменного количества рудных минералов (до 5%) – пирротина, халькопирита, шеелита. Содержание вольфрама при равномерном распределении его в породах составляет 0,2–0,4%. Тело метасоматитов заслуживает изучения на глубину. Перспективы участка Талык могут быть расширены также за счет обнаруженных в делювии юго-западной части шлихового ореола окварцированных и сульфидизированных пород (Ш-3,1,2) с содержанием вольфрама 0,3%.

### Бериллий

Бериллий образует геохимический ореол в среднем течении р.Мани (I-3,3) с содержанием металла в пробах донных осадков от 0,0004 до 0,001%, установлен в грейзенизированных гранитах в бассейне р.Ингула (IУ-2,4) в количестве 0,05%, а также образует совместно с оловом обширный (12 км<sup>2</sup>) металлометрический ореол (I-4,6) с содержанием 0,001–0,06% на левобережье среднего

течения р.Ануй, где выявлено и изучено с поверхности месторождение Собиное.

**Месторождение бериллия Собиное** (I-4,5) приурочено к интрузии палеоценовых биотитовых гранитов, прорвавших и интенсивно контактирующих метаморфизующих осадочные породы верхнего триаса. В эндо- и экзоконтактах интрузии развиты зоны кварц-мусковитовых грейзенов с бериллом, жильи и прожилки кварца с рассеянной вкрапленностью сульфидов. Зоны грейзенов обнаружены в виде двух полос шириной 20-80 м (до 120 м), прослеженных согласно контактам интрузии на 1650 и 850 м и имеющих азимуты падения соответственно  $310^{\circ}$  и  $115^{\circ}$  под углом 40° и 30°. В пределах этих зон выделено три рудных тела мощностью 0,5-8 м с содержанием окиси бериллия от 0,05 до 1,62% (средние содержания 0,12-0,26%). Кроме бериллия, в грейзенах установлен молибден (0,006%), вольфрам (до 0,3%), олово (до 0,02%), лтитий (до 0,1%) и висмут (до 0,1%). В кварцевых жилах мощностью до 30 см наблюдались крупные кристаллы мориона и берилля, содержание которого не определялось. По запасам бериллия месторождение относится к категории средних. После изучения рудной точки в бассейне руч. Културук (I-4,3), где в грейзенах наблюдались кристаллы берилла, возможно расширение перспектив месторождения Собиное.

#### Ниобий

В бассейне среднего течения р.Мами в штучных пробах избректированных окварцованных песчаников верхнетриасового возраста установлены повышенные (до 0,01%) содержания ниobia (I-3,2). В этом же районе ниобий отнесен в несколько пробах до садков гидросети в количестве 0,003%. Практического значения выявленные проявления ниobia не имеют.

#### Ртуть

Ртуть обнаружена в отдельных шлихах в количестве 1-2 зерен и имеет единичные площади распространения с проявлениями золота. В связи с рассеянным характером ртутной минерализации перспективы выявления месторождений ртути оцениваются отрицательно.

#### Висмут

Висмут обнаружен в единичных шлихах в виде базобисмутита. Последний образует небольшой (9 км<sup>2</sup>) шлиховой ореол с редкими зернами минерала в шлихах лишь в верховых р.Томи (Ш-3,6). Штучным отработанием гидротермально-измененных пород висмут установлен в количествах 0,002-0,05%, редко (месторождение Собинное) до 0,1%. Как видно из результатов отработания, практически интересных проявлений висмута не обнаружено.

#### Благородные металлы

##### Золото

Проявления золота сконцентрированы в основном в Западно-Сихотэ-Алинской вулканогенной зоне и в однотипном синклиниории в полосе шириной 7-8 км, примыкающей к Центральному Сихотэ-Алинскому шву. Изучено несколько проявлений, среди которых наибольший интерес представляют рудопроявления участков Джуди, Кварцевый и Болотистый.

**Рудопроявление участка Джуди** (I-2,2) расположено на левобережье нижнего течения р.Томасу, в бассейне одноименной реки. На участке развиты верхнемеловые андезиты, прорванные зоненовыми интрузиями габбро, габбро-диоритов, кварцевых диоритов, гранитов. Вдоль разломов северо-восточного направления проявлены пиритизация и эпилитизация андезитов, наблюдаются тонкие прожилки кварца, часто отмечаются кварц-андезит-альбитовые метасоматиты с густой вкрапленностью сульфидов. В урезе долины р.Джули такие породы образуют поле протяженностью около 800-900 м и шириной до 250 м. Через биотит-каварц-плагиоклавовые, кварц-мусковит-плагиоклавовые и биотит-актинолит-эпилит-плагиоклавовые метасоматиты они постепенно переходят в неизмененные андезиты. В метасоматитах установлены убогие содержания золота (0,01-0,5 г/т), а также молибдена (до 0,003%), меди и свинца (до 0,01%), цинка (до 0,03%) и серебра (до 0,001%). К полям метасоматически измененных пород и включенным зоненовым интрузиям кварцевых диоритов тяготят малоконтактные металлогеометрические аномалии золота. Учитывая результаты работ на участке Болотистый, можно предположить, что золотая минерализация здесь также связана с телами кварцевых диоритов.

Выходы метасоматитов, очевидно, указывают на наличие подобных

интрузий под этими породами. То есть для окончательной оценки рудопроявления необходимо изучение его на глубину.

**Рудопроявление участка Кварце-Вый (I-2,4)** находится на левобережье р.Тормасу, в ее среднем течении. Золото в количестве до 1 г/т сконцентрировано здесь в кварцевых прожилках мощностью до 20 см, распространенных среди валанжинских песчаников в тектонически ослабленных зонах преимущественно субширотного направления. В повышенных концентрациях отмечается также свинец (до 0,4%), цинк (до 0,06%), молибден (0,01%, иногда до 0,1%), сурьма и олово (до 0,01%). В делювии боргов долины тучи, размывающего андезиты самаргинской свиты, установлено до 21 мг золота на 0,02 м<sup>3</sup> промывной породы. Размер золотин 0,1-0,5 мм, достигает иногда 1 мм (одно зерно - 2,5x2,9 мм). Коренные источники золота не установлены. Участок подлежит дальнейшему изучению с применением на первой стадии поверхностных работ.

**Рудопроявления участка Болотистый** расположены в верховых одноименного ручья, являющегося правым притоком р.Сооми в ее среднем течении. На участке в эрозионном овале среди базальтов кизильской свиты обнажаются терригенные отложения берриаса и валанжина, прорваные интрузиями кварцевых диоритов зоценового возраста и частично перекрыты андезитами кузнецковской свиты. Широко распространены дайки диоритовых порфиритов, выполняющие трещины преимущественно северо-западного направления. Гидротермальная деятельность проявлена в виде метасоматического окварцевания и турмалинизации. Развита также сульфидизация дайковых пород и в незначительной степени диоритов, которые участками альбитизированы. Контрастный металлогеометрический ореол золота площадью около 2 км<sup>2</sup> (Ш-1,3) с содержанием металла от 0,01 до 1-3 г/т приурочен к выходу интрузии кварцевых диоритов и ее юго-восточному экзоконтакту.

В шлиховых пробах из делювия установлено от 1-2 до 50 знаков золота на шлих (0,02 м<sup>3</sup>). Обычно количество золотин, приходящихся на 1 мг, не превышает 20-25, и лишь иногда 2-3 золотины имеют вес 1-3 мг. Выявленное рудопроявление в пределах интрузии (Ш-1,1) представлено двумя обособленными зонами дробленых, интенсивно альбитизированных и метасоматически окварцеванных диоритов мощностью 0,3 и 0,7 м, падающими под углом 45-50° на северо-запад. Содержание золота в зонах достигает 10 г/т. Здесь же отмечается до 5 г/т серебра и повышенное количество меди (до 0,1%). Слабо окварцованные диориты вне зон содержат 0,4-0,6 г/т

золота. В осадочных породах промышленные концентрации золота (до 11 г/т) приурочены к кварц-турмалиновым метасоматитам (Ш-1,2), часто встречающимся в делювии. Кроме золота, в них отмечаются повышенные концентрации серебра (до 4,2 г/т) и меди (до 0,06%). Вскрыта в коренном залегании зона кварц-турмалиновых метасоматитов с содержанием золота 1,4 г/т имеет мощность 10-15 см и круто (60-70°) падает на юго-запад. В количествах от 0,01 до 0,4 г/т, реже более, золото постоянно присутствует в слабо турмалинизованных алевролитах и сульфидизированных дайковых породах. Образованный за счет разрушения коренных источников шлиховой ореол рассеяния золота в бассейне руч.Болотистый (Ш-1,4) имеет площадь 35 км<sup>2</sup>. Окончурен он по 36 шлихам (из 43 последних в ореол), содержащим золото от единичных до нескольких десятков зерен на шлих. Полученные результаты позволяют считать участок Болотистый первостепенным объектом для постановки поисковых работ как на коренное, так и на россыпное золото.

Кроме описанных выше проявлений, золото в количестве до 0,5 г/т установлено в кварц-сульфидных прожилках среди катаклазированных гранодиоритов позднего мела на левобережье верхнего течения р.Тормасу (П-2,2) и в лимонитизированных и окварцеванных песчаниках свиты Кандаха на левобережье среднего течения р.Тормасу (П-2,1). В междууречье Тормасу - Аний, на севере района, в 12 шлиховых пробах из делювия установлено от 2 до 6 знаков золота на шлих (Л-3,1). Коренные источники этого золота не выявлены.

#### Серебро

**Геохимический ореол серебра** площадью 14 км<sup>2</sup> с содержанием металла в пробах лонных осадков 0,0003-0,0001% выявлен в верхнем течении р.Айы (ГУ-4,4) в комплексе с мыльником и свинцом. По результатам спектрального анализа штуфных проб, содержание его не превышает 0,001%. Рудопроявление серебра, представленное рассеянными тонкими прожилками кварца, сгруппированными в зону субширотного направления мощностью до 8 м, установлено в верхнем течении р.Сооми (ГУ-2,2). Содержание металла в отдельных штуфных пробах достигает здесь 0,01%. Повышенные концентрации серебра (0,005%) выявлены также в окварцеванных песчаниках в верховье р.Лоди (Ш-2,10).

Полученные данные не определяют однозначно перспективы района на выявление месторождений серебра.

## СТРОИТЕЛЬНЫЕ МАТЕРИАЛЫ

Район располагает практически неисчерпаемыми запасами гравийников, пригодных для приготовления бетона и дорожного строительства. В качестве бутового камня могут быть использованы все магматические породы. Объемный вес гранитов и андезитов 2,50–2,61 г/см<sup>3</sup>, водопоглощение – 0,44–0,56%, плотность – 2,65–2,80 г/см<sup>3</sup>. Значительные запасы глин сосредоточены в междууречье Амур – Манома в отложениях примамурской свиты. Горизонты глин мощностью от 1 до 2 м выявлены также в четвертичных отложениях долины верхнего течения р. Тормасу и в устье р. Яки. На левобережье нижнего течения р. Союли в подошве покрова илювиальных базальтов встречены элювиальные глины коры выветривания андезитов кузнецкой свиты мощностью более 2 м. Эти глины содержат не более 0,5% крупнозернистых включений и около 25% песчаных частиц. Пластичность их характеризуется следующими цифрами: верхний предел – 33,38, нижний – 21,81, число пластичности – 11,57.

Хорошо сортированные пески имеют незначительное распространение. Необходимые объемы их можно получить путем отсева гравийно-галечного материала.

Распространенные на левобережье р. Тормасу розовые зоны граний пригодны для монументального строительства. Базальты кизинской свиты могут быть использованы как петрографическое сырье.

## ПОДЗЕМНЫЕ ВОДЫ

Гидрогеологические особенности района предопределены интенсивной расщепленностью рельефа, наличием мощных зон трещиноватости, развитием островной многолетней мерзлоты и неравномерным выпадением атмосферных осадков. По условиям залегания и характеру циркуляции среди подземных вод выделяются пластово-горовые и трещинные.

Пластовые воды можно разделить на верховодку, воды элювиально-делювиальных и аллювиальных отложений.

Верховодка отмечается на поверхности террас и пологих склонов. Ее появление связано с наличием на небольшой глубине водоупорных прослоев суглинков, глины, а также листа многолетнего и сезонного льда. Режим верховодки в целом зависит от количества атмосферных осадков. Не имея подземного стока, верховодка выходит на поверхность, образуя заболоченные участки. Воды этого типа непригодны для питья из-за повышенного содержания гуминовых кислот и железа.

Воды элювиально-делювиальных отложений безнапорные, приурочены к раковым образованиям, почти сплошным чехлом покрывают водораздельные пространства района. Водоупором этих вод служат коренные породы. Притокие их происходят за счет атмосферных осадков и подгруженных вод. Воды имеют ограниченные выходы на поверхность и наблюдаются в виде слабых (дебит от 0,03 до 0,4 л/с) потоков под крупнотековыми материалом делювия. По химическому составу они гидрокарбонат-сульфатные или хлоридные кальциево-натриевые с общей жесткостью 0,35–0,40 мг·экв/л. Реакция среды слабокислая ( $\text{pH}=6,2\text{--}8$ ). По физическим свойствам воды прозрачные, без запаха, пригодны для питья, но иногда содержат глинистый осадок.

Воды аллювиальных отложений значительны по запасам и распространены в речных долинах. Водоупором для них также служат коренные породы. Наиболее водообильны отложения почвы. Глубина залегания вод в зависимости от количества выпадаемых осадков и уровня воды в реках колеблется в пределах 0,2–3 м. Дебит вод достигает 1 л/с. Питание водоносных горизонтов происходит за счет инфильтрации атмосферных осадков, речной сети, а также за счет подпора трещинных вод. Дренирование осуществляется речной сетью и за счет родников в уступах террас. По химическому составу воды гидрокарбонатные кальциево-натриевые с общей жесткостью 0,10–0,44 мг·экв/л. Реакция среды слабокислая ( $\text{pH}=5,7\text{--}9$ ). По физическим свойствам воды пресные, прозрачные, без запаха и цвета, пригодные для хозяйственных нужд и питья. Минерализация их незначительна (26–56 мг/л).

Трещинные воды в районе связаны с верхней частью зон тектонического дробления и трещиноватости в осадочных и магматических образованиях. Режим трещинных вод зависит от сезонных колебаний количества атмосферных осадков. Разгрузка вод обычно происходит в долинах водотоков, реже на склонах в виде родников. Дебит родников не превышает 0,5–1,0 л/с, температура воды – 5–7°C. Водоносность горизонтов зависит от характера и интенсивности трещиноватости коренных пород. Наиболее водообильны интузивные породы, отличающиеся хорошо развитой системой протяженных трещин. Дренирующие их ручьи характеризуются устойчивым расходом и не пересыхают даже в засушливое время года. Воды зон трещиноватости в осадочных образованиях имеют

минерализаций 30–50 мг/л, по составу являются гидрокарбонатными кальциево-натриевыми с общей жесткостью до 0,55 мг-экв/л. Реакции среди слабокислых ( $\text{pH}=6,5-6,8$ ). Химический состав водмагматических образований зависит от локальных условий циркуляции вод и химического состава водоимещающих пород. Чаще они гидрокарбонатно-нитратно-хлоридные с преобладанием катионов  $\text{Ca}$ ,  $\text{Na}$ ,  $\text{Mg}$ . Общая жесткость вод колеблется от 0,15 до 52 мг-экв/л, реакция среды слабокислая ( $\text{pH}=6,2-6,8$ ), минерализация составляет 25–57 мг/л. По физическим свойствам трещинные воды без запаха и цвета, приятные на вкус.

Все типы подземных вод, кроме верховодки, отвечают требованиям, предъявляемым к водам для питьевых и технических целей. Наиболее значительные ресурсы их приурочены к речным долинам, где возможно использование вод аллювиальных отложений совместно с грунтовыми.

## ОЦЕНКА ПЕРСПЕКТИВ РАЙОНА

В пределах территории листа можно выделить две крупные металлогенические зоны, границей между которыми является Центральный Сихотэ-Алинский щов, – западную и восточную.

Западная зона отличается от восточной положительной напряженностью поля силы тяжести, более интенсивным и разкоординированным магнитным полем, широким распространением покровов вулканитов позднего мела, эоценена, миоценена и проявлением эоценового интрузивного магматизма. Характеризуется эта зона наличием ее пределах в основном проявлений золота.

Восточная же зона представлена широким спектром проявлений различных рудных элементов, из которых определяющими являются олово, вольфрам и бериллий. Проявления этих металлов как простираются, так и генетически связаны с различными по составу и возрасту интрузиями. Так, кварцевые широкие диориты эоценового возраста специализированы на золото. С палеоценовыми биотитовыми гранитами связаны наиболее перспективные проявления олова и месторождение бериллия, а также слабая вольфрамовая, висмутовая и молибденовая минерализация. Перспективные проявления вольфрама обнаруживают связи с раннемеловыми высокоглиноземистыми гранитами. Для локализации различного оруднения благоприятна и вмещающая среда. Так, для образования месторождений типа вольфрамовых скарнов благоприятными являются стиллиты и известняки, в наибольшей степени насыщающие пермские и триасовые толщи.

Наиболее перспективные проявления золота концентрируются в алевролитах нижнего мела. Толщи алевролитового состава являются благоприятной средой и для локализации оловянной и другой минерализации в районе. В крупных и трещиноватых кремнистых породах и в мощных пластах песчаников минерализация носит рассеянный характер.

Степень поисковой изученности района довольно высокая. Чуть меньше половины территории листа охвачено поисково-съемочными работами масштаба 1:50 000. Подавляющее большинство перспективных площадей уже опрошаны в различной степени детальности, в том числе близкой к масштабу 1:10 000. В связи с этим вероятность обнаружения новых рудопроявлений, более перспективных с поверхности чем известные, очень низка. Для окончательной же оценки известных участков необходимо проведение дополнительных как поверхностных, преимущественно горнопроходочных работ, так и работ по оценке проявлений на глубину.

Полезными ископаемыми, представляющими практический ценность в районе, являются золото, олово, вольфрам и бериллий. На изучение проявлений этих металлов и должны быть направлены дальнейшие поисковые и поисково-разведочные работы. Опереженность изучения отражена на рис. 3.

К объектам первой очереди отнесены рудопроявления золота участка Болотистый, где рекомендуется установка поисково-оценочных работ с применением поверхностных горных выработок в большом объеме, а также бурения как в пределах участка, так и на его флангах. Работы должны быть направлены не только на заверку металлометрических ореолов и изучение коренных проявлений золота, но и на оценку аллювиальных и дельвиальных россыпей в верховье руч. Болотистый. Одновременно с целью наращивания перспектив золотого оруднения участка, рекомендуется провести геологосъемочные и поисковые работы масштаба 1:50 000 в западной части района на площади 1020 км<sup>2</sup> (три листа масштаба 1:50 000), где работы данного масштаба не проводились. Одной из основных предпосылок для постановки этих работ (кроме прямых признаков золотой минерализации) является распространение интузий эоценовых кварцевых диоритов и кварцевых диоритовых порфиритов, с которыми установлена генетическая связь золотого оруднения. Организационно работы в этом районе облегчается наличием автомобильных лесовозных дорог. К плодородиям работ первой очереди отнесен также шлиховой ореол рассеяния шеелита и вольфрамита в бассейне р.Хор, где рекомендуется проведение поиско-

вых работ на вольфрам масштаба 1:10 000 с полным комплексом современных поисковых методов, в том числе металлометрической съемки и поверхностных горных работ.

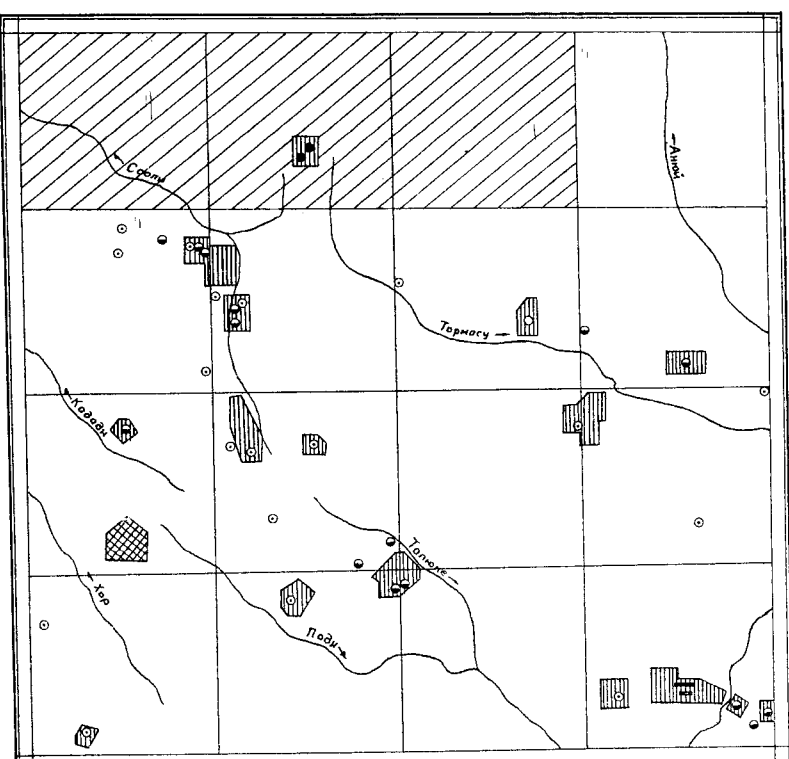


Рис.3. Карта оценки перспектив территории листа М-53-XXX

1 - участки, изученные с применением геохимических методов поисков масштаба 1:10 000; 2 - рудные месторождения; 3 - площади, рекомендемые для постановки поисково-съемочных работ масштаба 1:50 000 в первую очередь; 4 - площасти, рекомендуемые для постановки поисковых работ с металлометрической съемкой масштаба 1:10 000 в первую очередь; 5 - проявления полезных ископаемых, рекомендуемые для постановки горных и буровых работ в первую очередь; 6 - то же, во вторую очередь; 7 - рудопроявления, получившие отрицательную оценку с поверхности; 8 - площасти малоперспективные

к объектам второй очереди отнесены участки, в пределах которых установлены рудопроявления, требующие продолжения поисковых работ, но в силу географических и экономических причин превенение поисков на этих объектах в настоящее время затруднительно и нецелесообразно. Так, такие рудопроявления золота как Джули и Кварцевый в случае выявления промышленного месторождения на участке Болотистый, будут служить объектами для дальнейшего расширения перспектив золотоносности всего района. Изучение точек минерализации в среднем течении р.Ануй и глубоких горизонтов на рудопроявлениях участка Културку позволяет увеличить перспективы месторождения бериллия Солиное. Для установления промышленной ценности перспективных рудопроявлений участков Талжек (вольфрам) и Кадади (олово, вольфрам) необходимо продолжить доказательство их на глубину. Таких же работ, а также прослеживания рудных тел с поверхности требуют рудопроявления олова на участках Встречный и Хребтовый. На остальных рудопроявлениях, получивших отрицательную оценку с поверхности, нельзя отрицать наличие промышленных концентраций полезных элементов на глубине. Эти площади должны служить объектами для расширения перспектив района при получении положительных результатов на второочередных рудопроявлениях.

Остальная площадь листа в настоящее время не представляет практического интереса. Тем не менее, в ее пределах установлены проявления олова, вольфрама, золота, свинца, цинка, меди и других полезных ископаемых, зафиксированные в разобщенных проявлениях или в виде ореолов и потоков малой интенсивности, что может свидетельствовать о глубоком залегании рудных полей.

## Л И Т Е Р А Т У Р А

### О ПУБЛИКОВАННАЯ

1. Б е л ь т е н е в Е.Б. Геологическая карта Хабаровского края и сопредельных площадей Амурской области, Приморского края и Якутской АССР в масштабе 1:500 000. Объяснительная записка. 1969.

2. Б е л я е в с к и й Н.А. Центральный Сихотэ-Алинский структурный шов. Докл. АН СССР, т.103, № 1, 1955.

3. Бячков Д.М. Норильские сириены Северо-Востока ССР и вопросы систематики трахиллератид. Палеонтологический журнал № 4. Недра, 1975.
4. Воронцов Н.Н., Абрамсон Б.Я. Геологическая карта ССР масштаба 1:200 000, серия Сихотэ-Алинская, лист М-54-ХIX, 1955.
5. Ганешин Г.С. Четвертичное оледенение Северного Сихотэ-Алиня. — Маг-ли по четверг. геол. и геоморф. СССР, вып. 2, 1959.
6. Геология ССР. Т.ХIX. Хабаровский край и Амурская область. М., Недра, 1966.
7. Иванов Б.А. Центральный Сихотэ-Алинский разлом (сдвиг). Докл. АН ССР, т.138, № 4, 1961.
8. Иванов Б.А. Центральный Сихотэ-Алинский разлом. Владивосток, 1972.
9. Изюх Э.П. Схема расчленения интрузий Северного Сихотэ-Алиня и ближайших районов левобережья р.Амур. Докл. АН ССР, т.134, № 1, 1960.
10. Изюх Э.П., Кунавин И.В., Руцес В.В. Металлогеническая карта Северного Сихотэ-Алиня и левобережья Амура масштаба 1:500 000. Недра, 1964.
11. Изюх Э.П., Руцес В.В., Кунавин И.В. Интрузивные серии Северного Сихотэ-Алиня и Нижнего Приамурья, их рудоносность и происхождение. М., Наука, 1967.
12. Мартынук М.В. Государственная геологическая карта ССР масштаба 1:200 000, серия Сихотэ-Алинская, лист М-54-ХХV. 1975.
13. Потапов С.В., Спирин Е.Е. и др. Результаты глубинного сейсмозондирования в Хабаровском крае. Советская геология, 1979, № 3.
14. Степанов Г.И. Геологическая карта ССР масштаба 1:200 000, серия Сихотэ-Алинская, лист М-53-ХХХ. 1963.
15. Харитончев Г.И. Геологическая карта ССР масштаба 1:200 000, серия Сихотэ-Алинская, лист М-53-ХХХ. 1963.

#### Фондовая /

16. Аникин В.И., Гофман Н.Г. и др. Геологическое строение и полезные ископаемые бассейне среднего течения

---

х/ Работы находятся в фондах ПГО "Дальгеология".

р.Хор. Отчет о результатах геологического дозучения масштаба 1:200 000, проведенного Гваслинской партией в 1975-1977 гг. на площади листа I-53-У). 1979, № 016632.

17. Белогуров В.Н. Результаты гравиметрической съемки масштаба 1:1 000 000 на Северном Сихотэ-Алине и междууречье Амур - Амтунь - Уда. 1966, № 017213.

18. Бельтев Е.Б. История геологического разведания Дальнего Востока в палеозое и мезозое (в пределах Хабаровского края). 1960, № 13632.

19. Брудницкая Е.П., Третьякова Л.Д. Палеонтологическое обоснование расчленения морских триасовых, юрских и меловых отложений Северного Сихотэ-Алиня и Нижнего Примурия. 1977, № 18121.

20. Боларович Г.П. Геологические исследования в Северном Сихотэ-Алине. 1934, № 03475.

21. Глушков А.П. Геологическое строение и рудоносность бассейна верхнего течения р.Амур. 1950, № 02573.

22. Глушков А.П., Варфоломеев Э.Н. Геологическое строение и полезные ископаемые бассейнов рек Тор-масу, Бобгасу, Соломи. 1954, № 04418.

23. Глушков Б.А. Отчет о результатах работ Амурской геофизической партии за 1961 г., 1962, № 09396.

24. Головко С.В. Отчет о результатах работ Примурской аэрогеофизической партии за 1970-1971 гг. 1972, № 015113.

25. Демин А.В. Рудопроявления редких металлов в бассейне среднего течения р.Амур. 1959, № 07711.

26. Демин А.В. и др. Геологическое строение и полезные ископаемые бассейна среднего течения р.Амур. 1960, № 08401.

27. Дорож С.Ф. Отчет о геологических исследованиях в бассейнах рек Хор, Чуи и Тормасу. 1941, № 03484.

28. Димитров В.А. и др. Отчет о результатах геологосъемочных и полисовых работ масштаба 1:50 000 в бассейне р.Тормасу. 1976, № 017699.

29. Димитров В.А. и др. Геологическое строение и полезные ископаемые площади листа М-53-ХХХ. Отчет о результатах геологического изучения масштаба 1:200 000, проведенного Солийской партией в 1977-1978 гг.), 1979, № 018828.

30. Ельсева В.К. и др. Отчет о геологических исследованиях в бассейнах рек Чукин и Кафа. 1949, № 025113.

31. Ельсева В.К., Дорож И.К. Отчет о геологических съемочных работах в масштабе 1:200 000 в бассейне среднего течения р.Амур. 1951, № 03608.

32. И сполинов В.А. и др. Отчет о результатах геологосъемочных и поисковых работ масштаба 1:50 000 в бассейнах верхнего течения рек Аний, Хор и Поди. 1970, № 013912.
33. И сполинов В.А., Киршев Ф.Н., Сереин Б.Ф. Отчет о результатах геологосъемочных и поисковых работ масштаба 1:50 000 в бассейнах рек Томчи, Сооли, Поди. 1973, № 015718.
34. Караков О.Н. Рудопроявления олова, вольфрама и молибдена в бассейне среднего течения р.Аний. 1955, № 04791.
35. Килькю К.Ф., Змievский Ю.П. и др. Отчет о результатах геологосъемочных и поисковых работ масштаба 1:50 000 в бассейнах рек Бол.Эргукули, Мал.Эргукули, Гадага, Манома. 1974, № 016663.
36. Кончико Л.И., Демин А.В. Отчет о поисковых работах в бассейнах рек Калади, Томчи и Яро. 1958, № 06728.
37. Кузьменко С.П. и др. Геологическое строение, полезные ископаемые, гидрогеологические и инженерно-геологические условия листов №53-ХIII, ХIII, ХГУ. 1979, № 016688.
38. Лапидус С.Я. Результаты поисковых работ в Верховье р.Хор. 1957, № 01149.
39. Мартынук М.В. Государственная геологическая карта СССР масштаба 1:200 000, серия Сихотэ-Алманская, лист М-54-ХХУ. Объяснительная записка. 1972, № 015212.
40. Матвеев Е.Г. и др. Отчет о результатах геологосъемочных и поисковых работ масштаба 1:50 000 в бассейне среднего течения р.Дымни. 1969, № 013423.
41. Метелева Л.С., Шапочкина И.И. Карта аномального магнитного поля СССР масштаба 1:200 000. 1967, № 013747.
42. Мотора А.И. и др. Отчет о результатах работ, проведенных Анийской геофизической партией № 7 в бассейне среднего течения р.Аний. 1958, № 07000.
43. Осипов Н.Г. и др. Отчет о результатах геологосъемочных и поисковых работ масштаба 1:50 000 в бассейнах рек Дурмина, Сидими и верховьев Обора. 1975, № 017137.
44. Палагин А.В., Мартынук М.В. и др. Геология и металлогенические особенности Буга-Коплинского рудного района. 1967, № 012657.
45. Плотников И.А., Суслова А.М. и др. Анийское месторождение берилля. 1960, № 008359.
46. Плотников И.А., Мариненко Э.О. Отчет по теме № 105: Выявление перспективрудоносности Западного

логосъемочных и поисковых работ масштаба 1:50 000 в бассейнах верхнего течения рек Аний, Хор и Поди. 1970, № 013912.

33. И сполинов В.А., Киршев Ф.Н., Сереин Б.Ф. Отчет о результатах геологосъемочных и поисковых работ масштаба 1:50 000 в бассейнах рек Томчи, Сооли, Поди. 1973, № 015718.

34. Караков О.Н. Рудопроявления олова, вольфрама и молибдена в бассейне среднего течения р.Аний. 1955, № 04791.

35. Килькю К.Ф., Змievский Ю.П. и др. Отчет о результатах геологосъемочных и поисковых работ масштаба 1:50 000 в бассейнах рек Бол.Эргукули, Мал.Эргукули, Гадага, Манома. 1974, № 016663.

36. Кончико Л.И., Демин А.В. Отчет о поисковых работах в бассейнах рек Калади, Томчи и Яро. 1958, № 06728.

37. Кузьменко С.П. и др. Геологическое строение, полезные ископаемые, гидрогеологические и инженерно-геологические условия листов №53-ХIII, ХIII, ХГУ. 1979, № 016688.

38. Лапидус С.Я. Результаты поисковых работ в Верховье р.Хор. 1957, № 01149.

39. Мартынук М.В. Государственная геологическая карта СССР масштаба 1:200 000, серия Сихотэ-Алманская, лист М-54-ХХУ. Объяснительная записка. 1972, № 015212.

40. Матвеев Е.Г. и др. Отчет о результатах геологосъемочных и поисковых работ масштаба 1:50 000 в бассейне среднего течения р.Дымни. 1969, № 013423.

41. Метелева Л.С., Шапочкина И.И. Карта аномального магнитного поля СССР масштаба 1:200 000. 1967, № 013747.

42. Мотора А.И. и др. Отчет о результатах работ, проведенных Анийской геофизической партией № 7 в бассейне среднего течения р.Аний. 1958, № 07000.

43. Осипов Н.Г. и др. Отчет о результатах геологосъемочных и поисковых работ масштаба 1:50 000 в бассейнах рек Дурмина, Сидими и верховьев Обора. 1975, № 017137.

44. Палагин А.В., Мартынук М.В. и др. Геология и металлогенические особенности Буга-Коплинского рудного района. 1967, № 012657.

45. Плотников И.А., Суслова А.М. и др. Анийское месторождение берилля. 1960, № 008359.

46. Плотников И.А., Мариненко Э.О. Отчет по теме № 105: Выявление перспективрудоносности Западного

Сихотэ-Алмия и составление прогнозной металлогенической карты масштаба 1:200 000. 1972, № 015155.

47. Половин А.И. и др. Отчет о геологической съемке и поисках в масштабе 1:200 000, проведенных партией № 2 в верховьях бассейна р.Хор. 1954, № 04415.

48. Покурин В.Е. Рудопроявления в верховьях р.Хор (реки Надали, Сооли, Ингула, Сиктай, Томчи). 1955, № 04790.

49. Ренниль Э.А. Отчет о результатах гравиметрической съемки масштаба 1:200 000, проведенной Анийской партией. 1973, № 015865.

50. Риваш Л.И. Отчет Дальневосточной аэромагнитной партии. 1958, № 06859.

51. Савченко А.И. Геологическая карта Северного Сихотэ-Алмия и прилегающего к нему левобережья р.Амур масштаба 1:500 000. 1961, № 09950.

52. Серебряков Л.Н., Зыков Ю.Н., Савицкий В.А. и др. Отчет о результатах геологосъемочных и поисковых работ масштаба 1:50 000 в бассейнах среднего течения рек Аний и Поди. 1971, № 014504.

53. Шапочкина И.И. Отчет о результатах аэрогеофизических работ Приморской партии. 1958, № 07557.

54. Широкая А.Н. Рудопроявления олова и вольфрама в бассейнах рек Кутурук и Томчи. 1956, № 05023.

55. Штейнберг С.Л. Литологическое изучение разреза мезозойских вулканогенно-кремнистых и терригенных отложений Северного Сихотэ-Алмия. 1970, № 13981.

Приложение 1

СИСТОМКА ПРОМЫШЛЕННЫХ МЕСТОРОЖДЕНИЙ ПОЛЕЗНЫХ ИСКОПАЕМЫХ, ПОКАЗАННЫХ НА ЛИСТЕ М-53-XXX КАРТЫ ПОЛЕЗНЫХ ИСКОПАЕМЫХ МАСШТАБА 1:200 000

Индекс клетки на карте	№ на карте	Вид полезного ископа- емого и назначение месторождения	Ссылка на ли- тературу (но- мер по списку)	Приме- чание
<b>МЕТАЛЛИЧЕСКИЕ ИСКОПАЕМЫЕ</b>				
I-4	5	Редкие металлы и рассеченные элементы		
		Бериллий		
		Совиное	25,34,45	

Приложение 2

СИСТОМКА ПРОМЫШЛЕННЫХ ПОЛЕЗНЫХ ИСКОПАЕМЫХ, ПОКАЗАННЫХ  
НА ЛИСТЕ М-53-XXX КАРТЫ ПОЛЕЗНЫХ ИСКОПАЕМЫХ  
МАСШТАБА 1:200 000

Индекс клетки на карте	№ на карте	Вид полезного ископа- емого и назначение (местонахождение) проявления	Ссылка на литературу (номер по списку)	Примечание
I	2		3	4
I-4	7	Левобережье р. Ингута	29	5
		Марганец		
		Олово		
I-4	1	Участок Кунтуку	29,37,54	
	2	Там же	29,37,54	В коренном зале- тании
II-3	1	Участок Березовый	28	То же
III-2	3	Участок Хребтовый	33	"
III-2	4	Там же	33	"
III-2	5	Участок Восточный	33	"
III-3	4	Участок Томчи	33,36,54	"
III-3	5	Участок Верховая Сосны	33,38	"
III-3	13	Верховья р. Сооли	33	В делювии
III-4	5	Участок Афродита	52	В коренном зале- тании
IV-2	1	Участок Восточный	33,38	То же
IV-2	3	Там же	33,38	"
IV-2	5	Левоберегье р. Ингута	29	В делювии
IV-2	6	Участок Блуждания	29	В коренном зале- тании

Приложение 3

Список пунктов минерализации, минералогических и геохимических аномалий, показанных на листе М-53-ХХ карты полезных ископаемых масштаба 1:200 000

I	2	3	4	5
И-4	1	Участок Длинный Олово, вольфрам	32	В коренном залегании
ГУ-4	3	Участок Иэубриний Участок Кадами	32	В деловом
ГУ-3	1	Молибден	38	В коренном залегании
III-2	2	Участок Хребтовый Больфрам	33	В коренном залегании
II-4	1	Участок Талык	29,52	В коренном залегании
III-3	1	Правобережье р.Талык	33	В деловом
III-3	2	Левобережье р.Поди	33	В деловом
III-4	1	Участок Талык	29	В коренном залегании
<b>Благородные металлы</b>				
		Золото		
I-2	2	Участок Джумли	28	В коренном залегании
I-2	4	Участок Кварцевый Участок Болотистый	28,29	То же
III-1	1	Там же	29	"
IV-2	2	Серебро	33	"
ГУ-2	1	Участок Крайний	33	"
<b>Металлические ископаемые</b>				
		Синец		
I-2	3	Левобережье среднего течения р.Тормасу	28	Металлометриче- ский ореол в лонных осадках
III-3	8	Верхнее течение р.Талык	33	То же
III-3	9	Верхнее течение р.Поди	33	"
		Цинк		
I-2	1	Междуречье Амой - Тормасу	28	"
		Берхнее течение р.Томчи	33	"
ГУ-4	1	Правобережье р.Союза	29	"
ГУ-1	2	Там же	29	"
III-2	1	Цинк, молибден Сичку	33	"
I-4	7	Река Мал.Поди	42	Геохимическая аномалия

I	2	3	4	5	I	2	3	4	5
I-4	8	Среднее течение р.Ануй, р.Мал.Поди	25,26	Шлиховой ореол касситерита	Р е д к и е м е т а л лы и р а с с е я н н ы е э л е м е н ты				
II-3	2	Правобережье р.Тормасу	28	Металлометрический ореол в донных осадках	To же				
II-3	3	Там же	28						
III-3	7	Верховья рек Сосмы, Томчи	33	Шлиховой ореол касситерита	III-3	3	Верховья рек Талыке, Томчи	33	Молибден, свинец
IV-4	4	Верхнее течение р.Поди	52	To же	I-4	4	Река Мани	29	Металлометриче- ский ореол в дон- ных осадках
IV-4	4	Верхнее течение р.Ануй	32	"	III-4	3	Межуречье Мани - Ануй Поди	29	Шлиховой ореол шеелита
III-3	12	Верховья рек Союли, Томчи	33	Металлометриче- ский ореол в дон- ных осадках	I-4	4	Межуречье Мани - Ануй Поди	29	To же
III-4	2	Среднее течение р.Талыке	29,52	Металлометриче- ский ореол в де- ловии	III-4	3	Межуречье Ануй - Поди	29,33,52	Шлиховой ореол шеелита и воль- фрамита
IV-2	8	Реки Союли, Ингула, Сиктай	29,33, 38	Шлиховой ореол касситерита и шпелита	IV-3	3	Правобережье р.Хор Бериллий	52	To же
IV-3	2	Верхнее течение р.Кадади	38	Шлиховой ореол касситерита и вольфрамита	I-3	3	Река Мани	29	Металлометриче- ский ореол в дон- ных осадках
		Олово, серебро			I-4	3	Руч.Културуку	25	Минералогическая аномалия берилла
					IV-2	4	Правобережье р.Ингула	29	Пункт минерали- зации
							Бериллий, олово		
III-2	6	Реки Союли, Ингула	29,33	Металлометриче- ский ореол в дон- ных осадках	I-4	6	Межуречье Ануй - Мал.Поди	25,42,46	Металлометриче- ский ореол в де- ловии
					I-3	2	Река Мани	29	Пункт минерали- зации

1	2	3	4	5
			Висмут	
III-3	6	Берковья р.Томчи	33	Шлиховой ореол базо- бисмутита
		Благородные металлы		
		Золото		
I-3	1	Участок Сигбий	28	Шлиховая аномалия в дельвии
II-2	1	Участок Солнечный	28	Пункт минерализации
	2	Верхнее течение р.Тормасу	28	То же
III-1	3	Участок Болотистый	29	Металлометрический ореол в дельвии
	4	Руч.Болотистый	29	Металлометрический ореол в дельвии
		Серебро		Шлиховой ореол
III-3	10	Истоки р.Поди	33	Пункт минерализации
		Серебро, мышьяк, свинец		
IV-4	2	Верхнее течение р.Анды	32	Металлометрический ореол в донных осадках

В сюжете прокумировано III стр.

Редактор Г.Н.Логашова  
Технический редактор С.К.Леонова  
Корректор Л.П.Сеникова

Сдано в печать 22.03.85.

Подписано к печати 17.03.87.

Тираж 148 экз. Формат 60x90/16 Печ.л.7,0 Заказ 4290

Центральное специализированное  
производственное хзрасчетное предприятие  
объединения "СоюзгеоМонд"